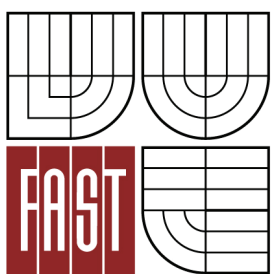


VYSOKÉ UČENÍ TECHNICKÉ V BRNĚ

BRNO UNIVERSITY OF TECHNOLOGY



FAKULTA STAVEBNÍ ÚSTAV TECHNICKÝCH ZAŘÍZENÍ BUDOV

FACULTY OF CIVIL ENGINEERING INSTITUTE OF BUILDING SERVICES

ENERGETICKÉ HODNOCENÍ SYSTÉMŮ VRF

ENERGY EVALUATION OF SYSTEMS VRF

DIPLOMOVÁ PRÁCE

MASTER'S THESIS

AUTOR PRÁCE AUTHOR

Bc. JURAJ GAŠPÁR

VEDOUCÍ PRÁCE SUPERVISOR

doc. Ing. ALEŠ RUBINA, Ph.D.

BRNO 2013



VYSOKÉ UČENÍ TECHNICKÉ V BRNĚ FAKULTA STAVEBNÍ

Studijní program

N3607 Stavební inženýrství

Typ studijního programu

Navazující magisterský studijní program s prezenční formou studia

Studijní obor

3608T001 Pozemní stavby

Pracoviště

Ústav technických zařízení budov

ZADÁNÍ DIPLOMOVÉ PRÁCE

Diplomant

Bc. Juraj Gašpár

Název

Energetické hodnocení systémů VRF

Vedoucí diplomové práce

doc. Ing. Aleš Rubina, Ph.D.

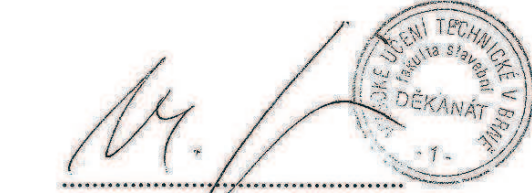
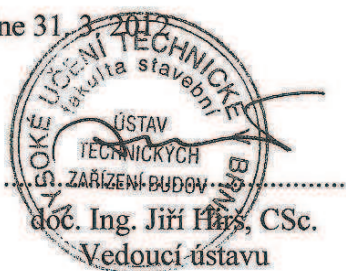
**Datum zadání
diplomové práce**

31. 3. 2012

**Datum odevzdání
diplomové práce**

11. 1. 2013

V Brně dne 31. 3. 2012



prof. Ing. Rostislav Drochytka, CSc.
Děkan Fakulty stavební VUT

Podklady a literatura

Podklady a literatura

1. Stavební dokumentace zadané budovy
2. Aktuální legislativa ČR
3. České i zahraniční technické normy
4. Odborná literatura
5. Zdroje na internetu

Zásady pro vypracování (zadání, cíle práce, požadované výstupy)

A. Analýza tématu, cíle a metody řešení

Analýza zadaného tématu, normové a legislativní podklady

Cíl práce, zvolené metody řešení

Aktuální technická řešení v praxi

B. Aplikace tématu na zadané budově - koncepční řešení

Návrh technického řešení ve 2 až 3 variantách v zadané specializaci (včetně doložených výpočtů) v rozsahu studie projektu: půdorysy v měřítku 1:100, stručná technická zpráva Ideové řešení navazujících profesi TZB (ZTI, UT, silnoproud, MaR) v zadané budově Hodnocení navržených variant řešení z hlediska vnitřního prostředí, uživatelského komfortu, prostorových nároků, ekonomiky provozu, dopadu na životní prostředí apod.

C. Teoretické řešení (s využitím fyzikální podstaty dějů)

Řešení využívající výpočetní techniku a statistiku

Struktura bakalářské/diplomové práce

VŠKP vypracujte a rozčleňte podle dále uvedené struktury:

1. Textová část VŠKP zpracovaná podle Směrnice rektora "Úprava, odevzdávání, zveřejňování a uchovávání vysokoškolských kvalifikačních prací" a Směrnice děkana "Úprava, odevzdávání, zveřejňování a uchovávání vysokoškolských kvalifikačních prací na FAST VUT" (povinná součást VŠKP).
2. Přílohy textové části VŠKP zpracované podle Směrnice rektora "Úprava, odevzdávání, zveřejňování a uchovávání vysokoškolských kvalifikačních prací" a Směrnice děkana "Úprava, odevzdávání, zveřejňování a uchovávání vysokoškolských kvalifikačních prací na FAST VUT" (nepovinná část VŠKP v případě, že přílohy nejsou součástí textové části VŠKP, ale textovou část doplňují).



.....

doc. Ing. Aleš Rubina, Ph.D.
Vedoucí diplomové práce

Abstrakt

Diplomová práce se věnuje VRF systémům, které se používají pro rozsáhlé komerční a administrativní budovy nebo objekty, kde je více zón s různými požadovanými parametry. Cílem je vysvětlení funkce systému a jejich hodnocení a řazení do energetických tříd dle nové legislativy. Praktická část se zabývá aplikací VRF systému a jeho různými varianty v budově pobočky banky. Porovnání počátečních nákladů a následných nákladů na provoz systému. V experimentu jde o porovnání změrených hodnot VRF systému a porovnání s údaji od výrobce.

Klíčová slova

VRF systém, topný faktor, chladící faktor, chladivo, chladicí okruh, klimatizace,

Abstract

This master thesis deals with VRF systems, which are used for extensive commercial and office buildings, or for buildings where there are multiple zones with different required parameters. The aim of the thesis is to explain the functions of the system and their evaluation and inclusion into energy classes according to the new legislation. The practical part deals with an application of the VRF system and its variants in the building of bank branch. The comparison of initials costs and resultant costs to operate the system. The experiment focuses on comparison of the measured values of VRF system and their comparison with data from the manufacturer.

Keywords

VRF system, heating factor (COP), cooler factor (EER), refrigerant, cooling circuit, air-conditioning

Bibliografická citace VŠKP

GAŠPÁR, Juraj. *Energetické hodnocení systémů VRF*. Brno, 2013. 83 s., 18 s. příl. Diplomová práce. Vysoké učení technické v Brně, Fakulta stavební, Ústav technických zařízení budov. Vedoucí práce doc. Ing. Aleš Rubina, Ph.D..

Prohlášení:

Prohlašuji, že jsem diplomovou práci zpracoval(a) samostatně a že jsem uvedl(a) všechny použité informační zdroje.

V Brně dne 10.1.2013

.....
podpis autora

Bc. Juraj Gašpár

Poděkování:

Chtěl bych touto cestou poděkovat doc. Ing. Aleši Rubinovi, Ph.D. za velice obětavou pomoc při řešení a vypracování diplomové práce.

Obsah

Úvod - 3 -

ANALÝZA TÉMATU

| | |
|--|--------|
| 1. Úvod do VRF systémů | - 5 - |
| 2. Tepelná čerpadla | - 6 - |
| 2.1 Princip tepelného čerpadla | - 6 - |
| 2.2 Tepelné čerpadlo – režim topení a režim chlazení..... | - 7 - |
| 2.3 Rozdělení tepelných čerpadel..... | - 8 - |
| a) tepelné čerpadlo vzduch – voda | - 8 - |
| b) tepelné čerpadlo zem – voda..... | - 8 - |
| c) tepelné čerpadlo voda – voda | - 10 - |
| d) tepelné čerpadlo vzduch - vzduch..... | - 10 - |
| 2.4 Stupně tepelného cyklu | - 11 - |
| 2.5 Komponenty tepelného čerpadla..... | - 12 - |
| 3. Tepelné oběhy pro přečerpávání tepla..... | - 14 - |
| 3.1 Základní oběhy pro tepelné čerpadla jsou:..... | - 14 - |
| a) sorpční oběh..... | - 14 - |
| b) carnotův oběh | - 16 - |
| c) parní oběh | - 17 - |
| d) rankinův oběh..... | - 18 - |
| e) skutečný oběh | - 18 - |
| 4. Chladící faktor chladícího zařízení..... | - 20 - |
| 5. Sezónní chladicí faktor SEER a topný faktor SCOP..... | - 21 - |
| 5.1 Porovnání původního způsobu výpočtu a nového výpočtu faktorů | - 23 - |

APLIKACE

| | |
|--|--------|
| 1. Aplikace tématu na objektu..... | - 27 - |
| 1.1 Analýza objektu..... | - 27 - |
| 1.2 Popis variant pro řešení dané pobočky banky | - 28 - |
| 2. Rozdělení objektu..... | - 41 - |
| 3. Použité systémy..... | - 47 - |
| 4. Modely | - 51 - |
| 5. Přibližné rozpočty pro jednotlivé varianty řešení pobočky banky | - 53 - |
| 6. Závěr..... | - 57 - |

EXPERIMENT

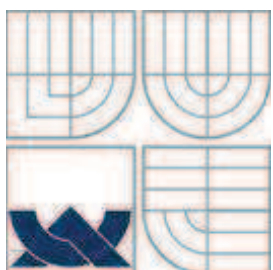
| | |
|--|--------|
| 1. Úvod do experimentu | - 60 - |
| 2. Analýza objektu..... | - 61 - |
| 3. Skladba obvodových a vnitřních konstrukcí: | - 62 - |
| 4. Analýza použitého systému VRF | - 63 - |
| 5. Popis funkce systému | - 65 - |
| 6. Data | - 66 - |
| 7. Model | - 67 - |
| 8. Vybrané údaje venkovní jednotky – podklady výrobce | - 68 - |
| 9. Schéma chladivového okruhu PUHY-EP250-YHM-A..... | - 69 - |
| 10. Vybrané údaje o vnitřních jednotkách PLFY – podklady výrobce | - 69 - |
| 11. Průběh experimentu a naměřená data..... | - 71 - |
| 12. Změřená data | - 74 - |
| 13. Vyhodnocení dat | - 78 - |
| | |
| Seznam použitých zdrojů | - 79 - |
| seznam použitých zkratek a symbolů..... | - 81 - |
| Seznam příloh..... | - 83 - |

Úvod

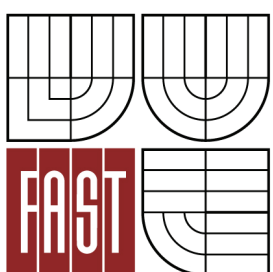
Tématem mé diplomové práce je energetické hodnocení systémů VRF. Jde především o popis jejích funkce a popis jednotlivých součástí systému. V teoretické části se zabývám hodnocením klimatizačních systému, které se mění od 1. 1. 2013 a související legislativou.

V praktické části co představuje použití VRF systému v konkrétní budově navazuji na svou bakalářskou práci „Klimatizace pobočky banky“. Navrhnul jsem další 2 možnosti aplikace VRF systému s využitím nuceného větrání. Doloženy jsou výpočty tepelných ztrát a zátěží objektu. Systematicky jsou znázorněny další 2 varianty systému s popisem jednotlivých součástí.

Experimentální část se zabývá měřením VRF systému na konkrétní budově. Cílem bylo porovnat údaje výrobce a naměřené hodnoty chladícího faktoru. Součástí je výpočet tepelných zátěží a model systému.



VYSOKÉ UČENÍ TECHNICKÉ V BRNĚ
BRNO UNIVERSITY OF TECHNOLOGY



FAKULTA STAVEBNÍ
ÚSTAV TECHNICKÝCH ZAŘÍZENÍ BUDOV
FACULTY OF CIVIL ENGINEERING
INSTITUTE OF BUILDING SERVICES

ENERGETICKÉ HODNOCENÍ SYSTÉMŮ VRF ČÁST A – ANALÝZA TÉMATU

DIPLOMOVÁ PRÁCE
MASTER'S THESIS

AUTOR PRÁCE
AUTHOR

Bc. JURAJ GAŠPÁR

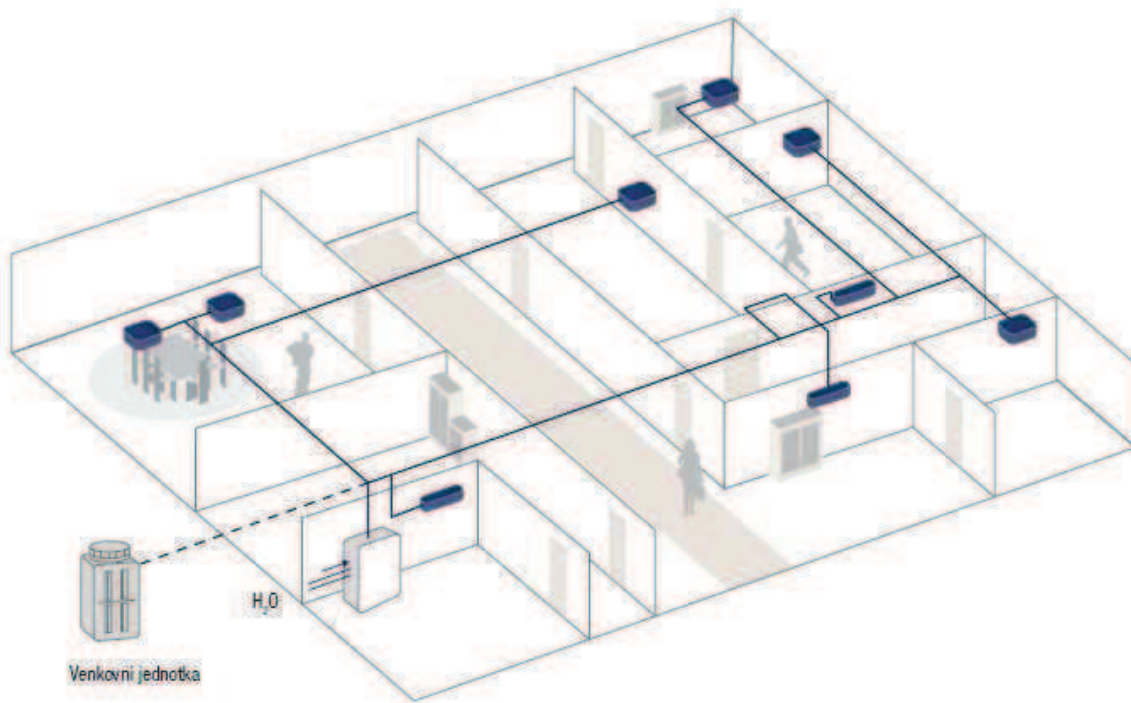
VEDOUCÍ PRÁCE
SUPERVISOR

doc. Ing. ALEŠ RUBINA, Ph.D.

BRNO 2013

1. Úvod do VRF systémů

VRF systém pracuje na konfiguraci jedné venkovní kondenzační jednotce a více vnitřních jednotek. Pojem VRF je označení pro „Variable refrigerant flow“, co v překladu znamená „proměnný průtok chladiva“. VRF systémy patří do kategorie systému přímého chlazení pro centrální klimatizace. V praxi se také setkáváme s označením VRV, DVM, MDV a GMV. V roce 1982 byl představen první systém tohoto druhu. Uplatnění našel především v rozsáhlých objektech s více podlažími a množstvím místností. Převážně administrativní budovy, výškové budovy, výrobní haly a především objekty s množstvím nezávislých klimatizovaných prostorů. Na rozdíl od typického asijského stylu klimatizace, kde se v převážné míře využívají mini split systémy. Každý systém je používán pro konkrétní místnost a pracuje pouze v režimu zapnuto a vypnuto podle potřeb. Klíčové je, že průtok chladiva je buď v plném toku nebo v žádném.



Obr. 1 VRF systém a příklad použití v administrativní budově

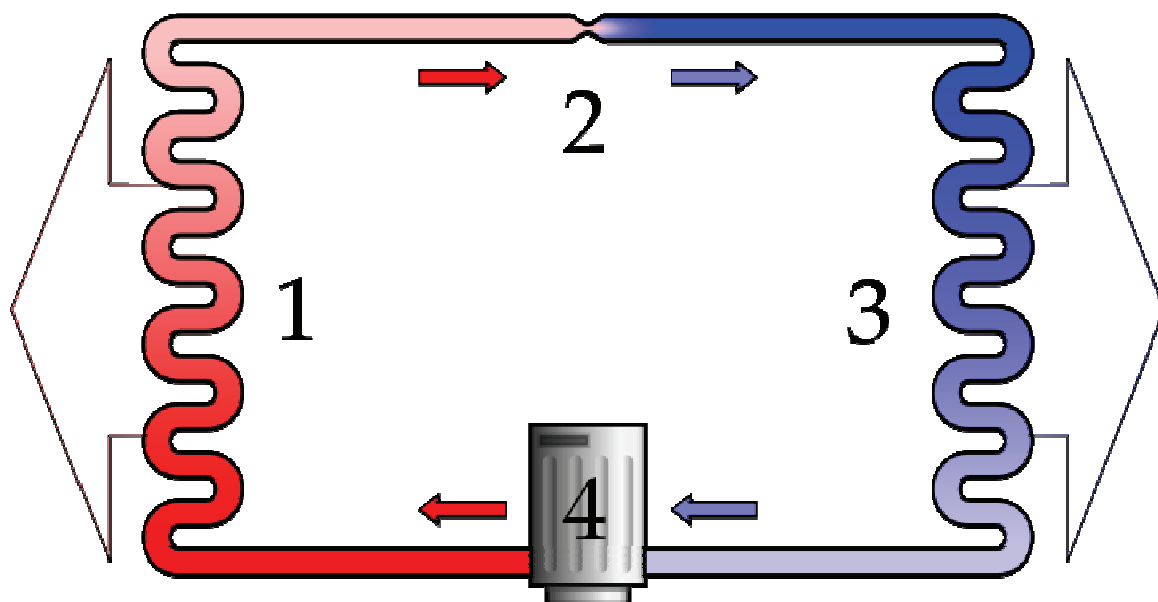
VRF systémy pracují právě na úpravě průtoku chladiva. Více chladiva (vyšší průtok chladiva) zajistí větší chladící/topný výkon a naopak. Pokud je prostorové zatížení vysoké, je větší množství chladiva dodáváno do vnitřní jednotky, co zajistí více chlazení (v chladném období topení) a naopak, když je zatížení v místnosti nízké, je k dispozici menší průtok chladiva. Provoz VRF systému je i ekonomicky méně náročný než klasické split systémy. Během celé doby má k dispozici 100% velikosti vnějšího kondenzátoru, co znamená, že za určitých

podmínek při nízkém zatížení vnější jednotky dokáže pracovat s energetickou účinností až 1:6 a víc. Poměr 1:6 znamená, že z 1 kW elektrické energie vyprodukuje klimatizace typu VRF až 6 kW chladu nebo tepla. Všechno je závislé ale od vhodného systému regulace systému. Zmíněný poměr se u výrobků udává jako COP faktor (topný faktor), respektive EER faktor (chladící faktor).

2. Tepelná čerpadla

2.1 Princip tepelného čerpadla

VRF systémy pracují na principu tepelného čerpadla. Přenášejí teplo z jednoho prostředí do druhého prostřednictvím chladiva. Tepelné čerpadlo je obrácené chladící zařízení. Už ze samotného názvu je zřejmé že se využívá na topení a chladící zařízení na chlazení. V režimu chlazení pracují tepelná čerpadla tak, že odvádějí teplo z místnosti nebo vnitřního prostoru do venkovního vzduchu, čímž ochlazují vnitřní prostor. V zimním období umí extrahouvat latentní teplo z vnějšího vzduchu (i když je venkovní teplota -20°C) a vhánět jej dovnitř pro vytápění vnitřního prostoru.



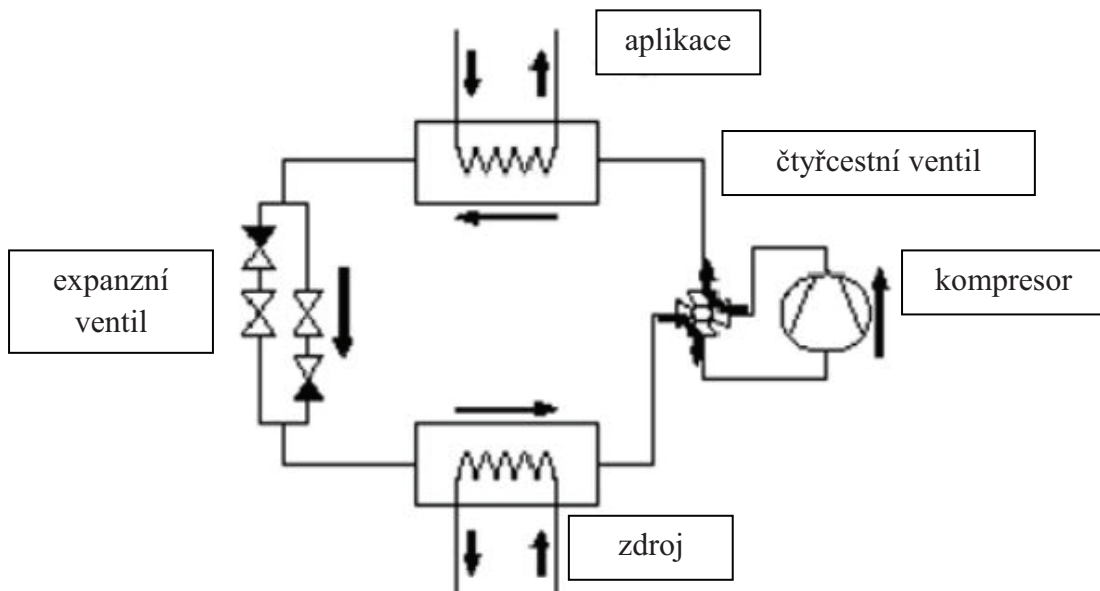
Obr. 2 Princip tepelného čerpadla (1 - kondenzátor, 2 - tryska, 3- výparník, 4 - kompresor)

Nejčastějším typem je kompresorové tepelné čerpadlo, které pracuje na obráceném Carnotovem cyklu. Jako teplonosná látka v oběhu se využívá chladivo. V plynném stavu je

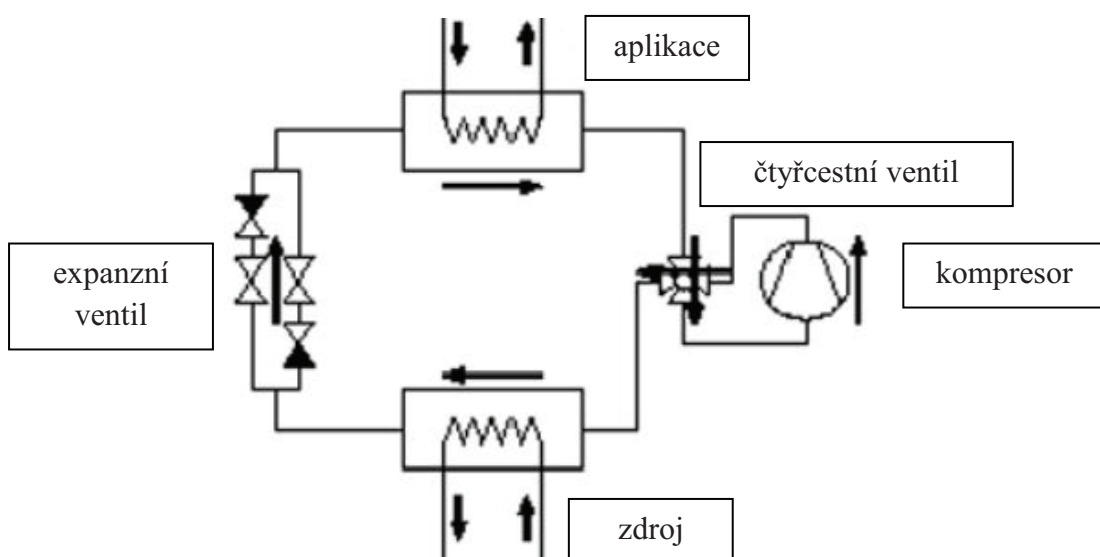
stlačeno kompresorem a poté vpuštěno do kondenzátoru, kde odevzdá své skupenské teplo. Následně je prohnáno přes expanzní trysku do výparníku. Skupenské teplo přijme a odpaří se.

2.2 Tepelné čerpadlo – režim topení a režim chlazení

Výhodou tepelných čerpadel je, že mohou být použity jak pro chlazení tak pro vytápění. Změny režimu tepelných čerpadel jde zabezpečit použitím čtyřcestných ventilů, které mění směr toku chladiva, jak je znázorněno na obrázcích dole.



Obr.3 Princip tepelného čerpadla v režime pro topení



Obr.4 Princip tepelného čerpadla v režime pro chlazení

2.3 Rozdělení tepelných čerpadel

Tepelné čerpadla se dělí podle druhu ochlazované a ohřívané látky, proto je rozdělení následující:

a) tepelné čerpadlo vzduch – voda



Obr. 5 Tepelné čerpadlo vzduch - voda

Tepelné čerpadlo vzduch – voda získává teplo ze vzduchu a odevzdává ho vodě nebo opačně. Mezi hlavní výhody systému patří dostupnost vzduchu jako zdroje energie, je možné použít téměř ve všech případech, instalace nevyžaduje žádné zásahy do okolního prostředí. Nevýhodou je vyšší pořizovací cena samostatného tepelného čerpadla. Nejsou zde ale další náklady (výkopové práce, vrty...). V případě vyšší hlučnosti jednotky může být její osazení problematické, abychom vyhověli hlukovým požadavkům. Výkon čerpadla klesá s venkovní teplotou. Pokles je v daném systému mnohem výraznější než při jiných provedeních.

b) tepelné čerpadlo zem – voda

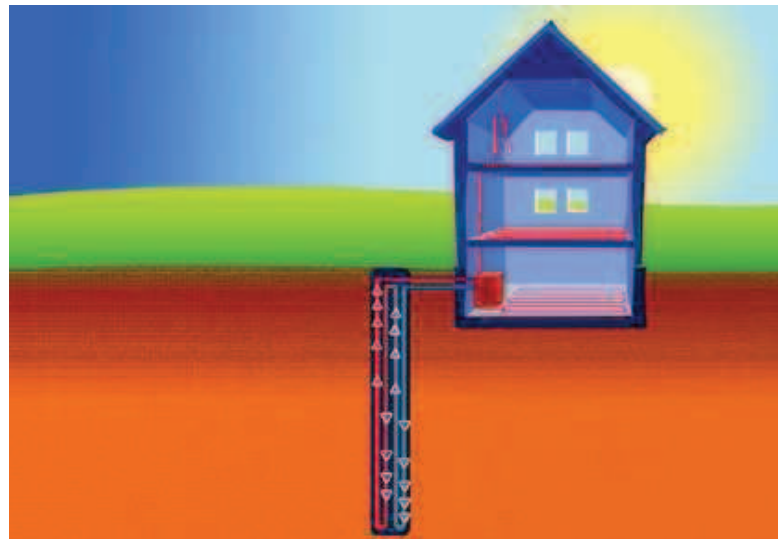
Tepelné čerpadla zem – voda využívají energii, která se dostává na povrch z vnitřku země a taky energii, která je naakumulovaná v povrchových vrstvách slunečným zářením. Využívají k tomu plošné kolektory nebo hloubkové vrty.

Zemní plošný kolektor – odebírá teplo z půdy. V hloubce přibližně 1 m a roztečí také kolem 1m je položena plastová trubka (kolektor). V kolektoru proudí nemrznoucí kapalina. Pro položení zemního kolektoru je potřeba dostatečně velká plocha. Pro příklad velikosti plochy pozemku pro 10 kW výkon čerpadla je nutno 250 – 350 m². Pořizovací náklady kolektoru jsou nižší než vrty. Nevýhodou je již zmíněná velká plocha pozemku a na ploše se zemním kolektorem není možné stavět. V zimním období, kdy se zem neustále ochlazuje kolektorem, dochází k její promrzání a následně k snížení výkonu.



Obr. 6 Tepelné čerpadlo zem – voda v provedení s plošným zemním kolektorem

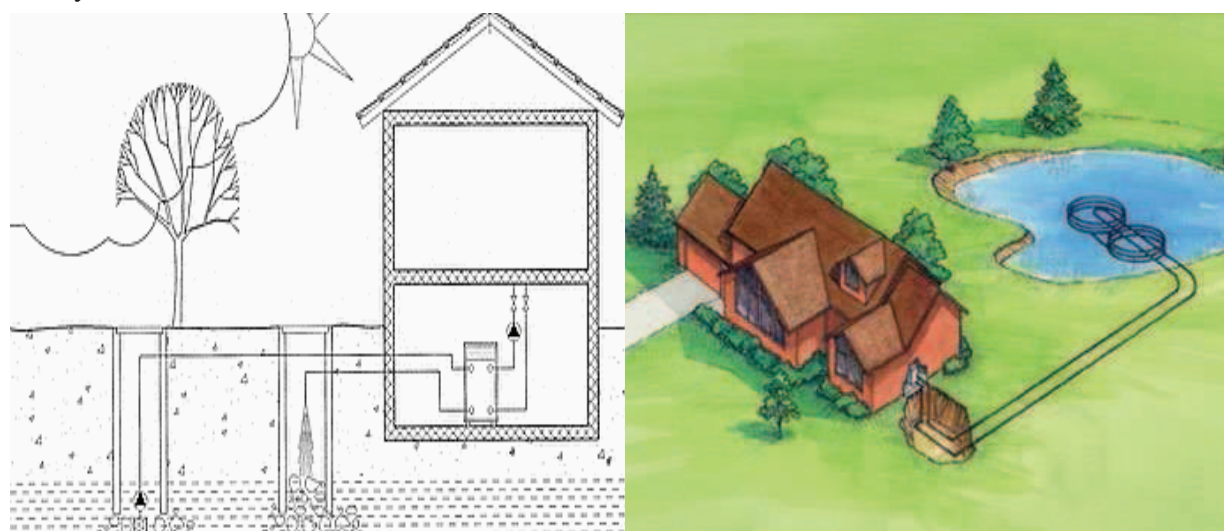
Tepelné čerpadla s hloubkovým vrtem na rozdíl od plošných kolektorů mají stabilní zdroj z vrtu (celý rok se teplota nemění) a tím je provoz s nízkými náklady. Venkovní teplota neovlivňuje spotřebu elektrické energie. Vrty mohou být hluboké až do 150m a umístěny nejméně 10m od sebe. Pro názornost na výkon 10 kW je potřeba 120 – 180 m vrtů. Mezi minusy patří určitě vysoké pořizovací náklady, co se týče hlavně zhotovení vrtů. Neustálým ochlazováním vrta dochází k jeho postupnému promrzání a tím se dlouhodobě snižuje výkon tepelného čerpadla.



Obr. 7 Tepelné čerpadlo zem – voda v provedení s hloubkovým vrtem

c) tepelné čerpadlo voda – voda

Tepelné čerpadlo voda – voda, využívající studniční vodu, vyžaduje celoročně dostatek vody. Pomocí čerpací zkoušky se ověří vydatnost studny. Mezi zásadní kriterium založení studny je složení vody, aby nedocházelo k zanášení výměníku. Voda je čerpaná ze studny ve většině případu ponorným čerpadlem, v tepelném čerpadle je ochlazena a vrací se zpět do vsakovací studny. Vsakovací studnu je nutno zhotovit v dostatečné vzdálenosti, aby voda neprosakovala zpět do sací studny. Hloubky vrtů jsou 10–30 m. Podmínkou pro provoz je dostatečně vysoká teplota vody v studni, aby ji bylo možno ochlazovat bez nebezpečí zamrznutí. Oproti vrtu jsou pořizovací náklady nižší. Venkovní část vyžaduje pravidelnou údržbu a je náchylná na poruchy.



Obr. 8 Vlevo tepelné čerpadlo voda – voda (studny) a napravo tepelné čerpadlo voda – voda (pozemní zdroj)

Tepelné čerpadlo se zdrojem povrchové vody se používá při vodních toků, z přírodních i umělých vodních nádrží, průsaků přes hráze přehrad apod. V těchto vodních zdrojů je od čerpadla vyveden výměník z polyetylénových trubek, ve které je cirkulována ekologická nemrznoucí směs. Na rozdíl od systému se studniční vodou má více nevýhod. Ve většině lokalit není dostupný zdroj, následně je složitá legislativa pro povolení o zapuštění do vody. Hrozí nebezpečí poškození výměníku a také velká délka. Teplota vody je kolísavá (závislá na počasí), proto tato varianta nepatří mezi stabilní zdroje. Velmi se v praxi s danou variantou nesetkáváme pouze ve specifických případech.

d) tepelné čerpadlo vzduch - vzduch

V současnosti jsou tepelné čerpadla vzduch – vzduch považovány za nejekonomičtější investici s nejkratší návratností. Vzduch je k dispozici v neomezeném množství, ale má

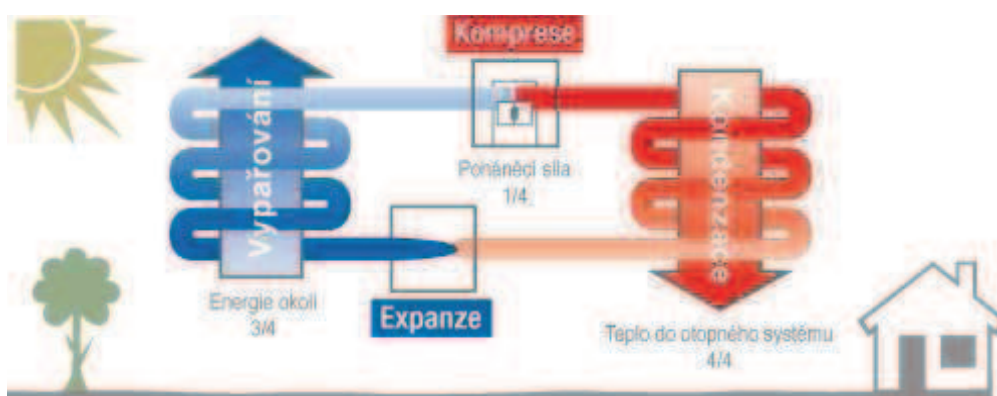
proměnlivou teplotu. Ekonomický a efektivní je provoz do cca -5°C (pokryto 90% sezóny pro vytápění). Výhodou je, že jako tepelné čerpadlo vzduch – vzduch můžeme použít jednoduchou klimatizaci v reverzním režime optimalizovanou na vytápění.



Obr. 9 Tepelné čerpadlo vzduch – vzduch (multisplit systém)

2.4 Stupně tepelného cyklu

1. Vypařování – chladivo je vyparováno při nízkém tlaku a teplotě pomocí tepelné energie transformované z vnějšího zdroje tepla.
2. Komprese – chladivo je komprimované na vyšší tlak použitím kompresoru, výsledkem je současně růst jeho teploty.
3. Kondenzace – vysokotlaká pára chladiva je kondenzována při vysoké teplotě.
4. Expanze – kapalné chladivo je expandované z vysokého tlaku v kondenzátore na nízký tlak ve výparníku. Výsledkem je prudké snížení teploty a proces se může znova opakovat.



Obr. 10 Princip činnosti oběhu tepelného čerpadla

2.5 Komponenty tepelného čerpadla

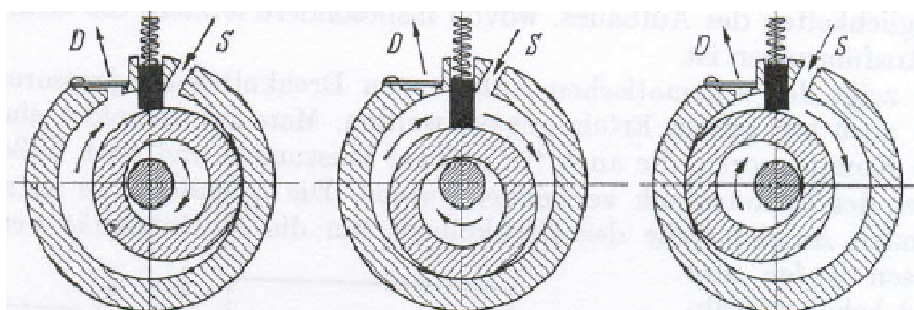
1. Chladivo – proudí v chladícím okruhu a je nuceno se vypařovat při nízkém tlaku a teplotě a kondenzovat při vysokém tlaku a teplotě. Typickým chladivem pro tepelné čerpadla je R 407c a R 410a.

2. Výparník – je to výměník tepla, v kterém chladivo absorbuje teplo z vnějšího nízkoteplotního zdroje (vzduch, voda, půda a jiné) nebo z teplonosného média, jako je například solanka. Teplota a tlak ve výparníku zůstávají při procesu vypařování konstantní. Pro tepelná čerpadla se zemskou kúrou jako zdroj tepla jsou rozvody pokládány horizontálně do země, nebo vertikálně do vrtů. Jestli je zdrojem tepla vzduch nebo voda (spodní, povrchová), tak tyto médiá protékají přímo skrz výparník.

3. Kompresor – vypařované chladivo je nasáváno z výparníku do kompresoru a potom stlačeno na vyšší tlak a teplotu. Ve většině případů je kompresor poháněn elektromotorem.

Pro tepelné čerpadla v rodinných domech a průmyslových budovách jsou užívány tři druhy kompresorů. Kompresory s valivým pístem, pístové kompresory a scroll kompresory. Ve většina tepelných čerpadel pro domácí aplikace se užívají tzv. hermetické kompresory, kde pohonný elektromotor a kompresor je umístěn spolu v hermeticky uzavřeném pláště. Tímto způsobem je zabráněno úniku chladiva do atmosféry přes spojovací těsnění. Přes skřín procházejí jen dva nebo tři elektrické vedení.

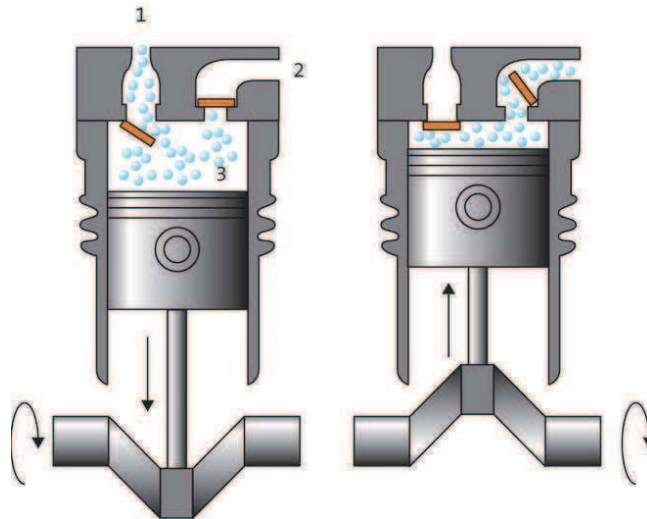
Kompresory s valivým pístem jsou často používány v tepelných čerpadlech vzduch – vzduch. Excentrický píst s radiálně pohybující se lamelou v skříni kompresoru stláčí plyn, jak je znázorněno na obrázku dole.



Obr. 11 Princip činnosti kompresoru s valivým pístem

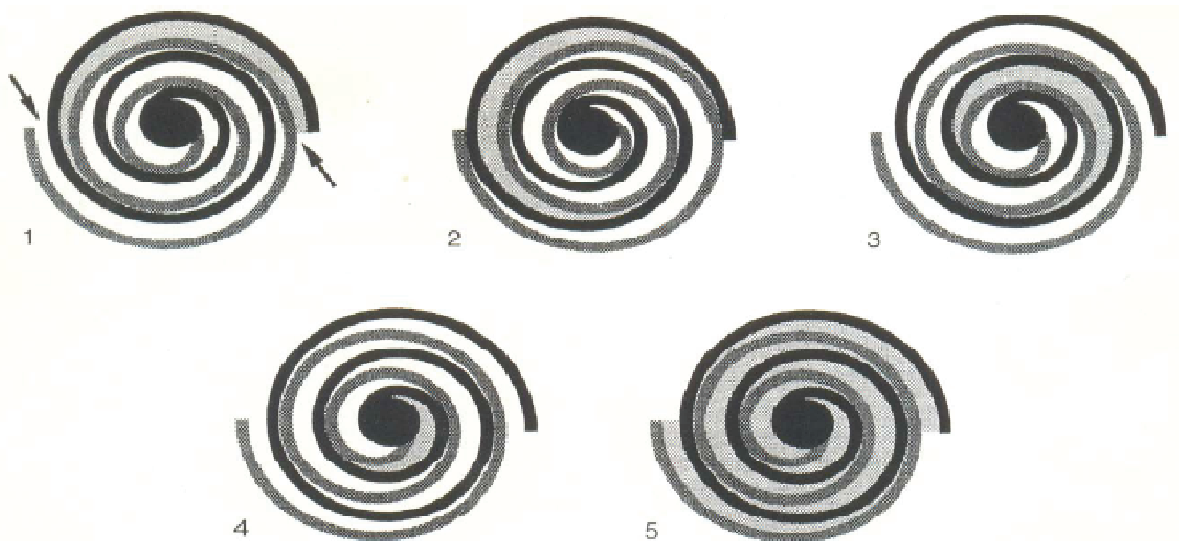
Pístové kompresory jsou nejstarší typy kompresorů. Reciproční píst nasává plyn přes sací ventil, stláčí ho ve válcu a vytláčí skrz výtlační ventil. Sací i výtlační ventil jsou zavřeny

během komprese a výtlacní ventil se otevře, když tlak ve válci dosáhne potřebný výtlacní tlak. Vývoj pístových kompresorů stále pokračuje a je předpoklad jejich dalšího užívání v tepelných čerpadlech. V pístových kompresorech je vinutí elektromotoru často chlazeno nasávaným plynem chladiva.



Obr. 12 Princip činnosti pístového kompresoru

Scroll kompresory stláčejí páry chladiva mezi dvěma spirálami (scrolls), z kterých je jedna nepohyblivá, tzv. pevná spirála, a druhá, pohyblivá, se odvaluje na ni (spirála s orbitálním pohybem). Při tomto pohybu vznikají prostory mezi spirálami, v kterých se nachází parné chladivo. Jejich objem se neustále zmenšuje, chladivo se stláčí a pohybuje se k středu spirál. Uprostřed je výtokový otvor a chladivo se přibližně při kondenzačním tlaku vytláčí kompresoru.



Obr. 13 Princip činnosti scroll kompresoru

4. Kondenzátor – teplý zkomprimovaný plyn chladiva vchází do kondenzátoru – tepelného výměníku, z kterého je teplo transformováno do teplonosného média (ve většině případu vzduch nebo voda). Pro dosažení tohoto toku tepla musí být kondenzační teplota vždy vyšší jako teplota chladícího média. Množství tepla, které je nutno dovést z kondenzátoru do chladícího média, je součtem tepla dodávaného do výparníku mechanické energie dodávané kompresoru. Ve většině tepelných čerpadel jsou jako kondenzátory užívány pájené nebo svařované deskové výměníky tepla. Teplota a tlak chladiva během kondenzace zůstává konstantní.

5. Expanzní ventil – pracuje jako různé škrticí klapky, udržují tlakový rozdíl mezi vysoko a nízkotlakou stranou chladícího oběhu a regulují tok chladiva z kondenzátoru do výparníku. Při přechodě chladiva expanzním ventilem se při poklesu tlaku část chladiva okamžitě vypaří. Chladivo se na základě odebraného výparného tepla ochladí a vstupuje jako směs páry a kapaliny do výparníku při výparné teplotě.

3. Tepelné oběhy pro přečerpávání tepla

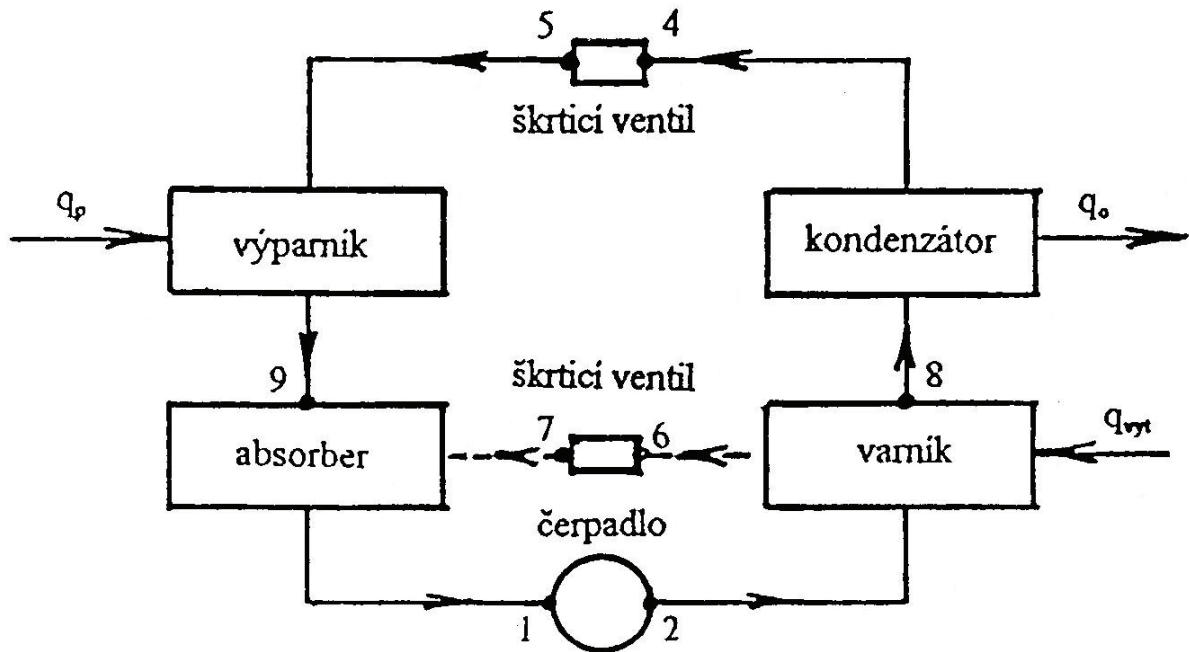
Zařízení které je určeno na přenos tepla je možno popsat tepelnými oběhy. Látky které pracují v těchto zařízeních procházejí skupenskými změnami. Tento jev je možné popsat v diagramech pro konkrétní pracovní látky.

3.1 Základní oběhy pro tepelné čerpadla jsou:

- a) sorpční oběh
- b) parní oběh
- c) proudový oběh

Sorpční oběh

Sorpční chladící zařízení funguje na fyzikálně-chemickém principu, výměně tepla v tepelném oběhu spojené s pohlcováním a vypuzováním par chladiva absorbentem. V chladícím zařízení se sorpčním oběhem nejsou kompresory, ale místo nich je absorbér (pohlcovač) a varník (vypuzovač).

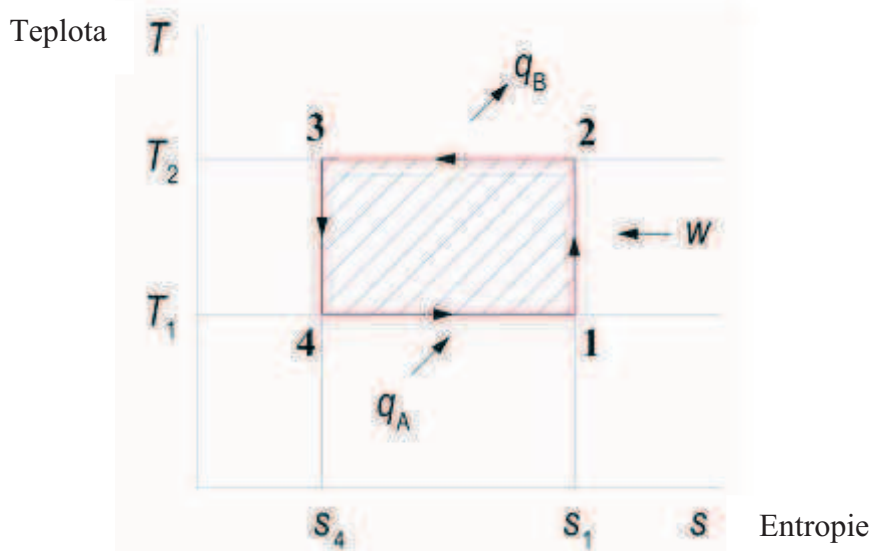


Obr. 14 Sorpční chladící oběh

V bodě 1 na obr. 14 čerpadlo nasaje absorbent s vysokým obsahem par chladiva a následně ho tlačí do varníku, který je vytápěn teplem q_{vyt} přivedené z jiného zdroje. V bodě 8 vystupují z varníku uvolněné páry do kondenzátoru a zkapalňují. Mezi body 4 a 5 je škrtící ventil kde se snižuje tlak syté kapaliny chladiva. Ve výparníku dochází k prudkému varu chladiva a mění se mokrá pára na sytu. V bodě 9 je sytá pára pohlcována absorbentem a nasávaná následně s čerpadlem. Absorbent ochuzený o chladivo po uvolnění jeho par ve varníku prochází škrtícím ventilem (mezi body 6 a 7), kde se jeho tlak snižuje, aby byl schopen pohltit páry chladiva, které přicházejí z výparníku. U sorpčního chlazení se používá také varianta bez čerpadla. Tlak ve výparníku se upravuje přítomností třetí látky v plynném skupenství co je ve většině případu vodík.

Carnotův oběh

Je to ideální tepelný oběh, který pozůstává z vratných změn (2 adiabaty a 2 izotermy). Carnotův oběh má nejvyšší termickou účinnost. I když se nedá prakticky realizovat, ukazuje nejvyšší teoreticky dosažitelnou účinnost oběhu. Na základě tohoto cyklu se dají dále zdokonalovat tepelné oběhy. Jsou zde dva druhy cyklů: izoentropický ($s=\text{konstanta}$) a izotermický ($T=\text{konstanta}$).



Obr. 15 Carnotův oběh v diagramu T-s

Práce plynu, daná rozdílem expanzní a kompresní práce, se v p-v diagramu zobrazí plochou 1-2-3-4-1. Rozdíl tepel $q_B - q_A$ se mění na užitečnou práci.

Platí vztahy:

$$q_A = q_{41} = T_1 \cdot (s_1 - s_4)$$

$$q_B = q_{23} = T_2 \cdot (s_1 - s_4)$$

$$W = q_B - q_A = (T_2 - T_1) \cdot (s_1 - s_4)$$

Účinnost Carnotova cyklu je možné vyjádřit jako poměr výkonu a příkonu. V případě že se jedná o topný režim počítáme COP faktor. V režimu chlazení EER faktor.

a) COP faktor pro Carnotův cyklus

b) EER faktor pro Carnotův cyklus

$$COP_c = \frac{q_B}{W} = \frac{T_2}{T_2 - T_1}$$

$$EER_c = \frac{q_A}{W} = \frac{T_1}{T_2 - T_1} = COP_c - 1$$

Carnotův cyklus nezohledňuje reálné vlastnosti pracovních látek (chladič), velikost teplonosných ploch, skutečnou účinnost zdroje pohonné energie, tepelné ztráty cyklu do okolí a potřebu další energii pro pomocná zařízení.

Parní oběh

Na obr. 16 je znázorněna schéma parního kompresorového oběhu, v kterém se daný oběh uskutečňuje. Přívod tepelného toku Q_o chlazenou látkou do výparníku se chladivo vypařuje a nasává ho kompresor s příkonem P_{iz} . Po stlačení na kondenzační tlak se v kondenzátore pāře chladiva odebírá tepelný tok Q_k , přičemž kondenzují. Kapalné chladivo prochází z kondenzátoru do škrťicího ventilu, kde se jeho tlak sníží z kondenzačního tlaku p_k na výparný tlak p_o . Kapalina se změní na páru přívodem tepelného toku z ochlazované látky a okruh je uzavřený.

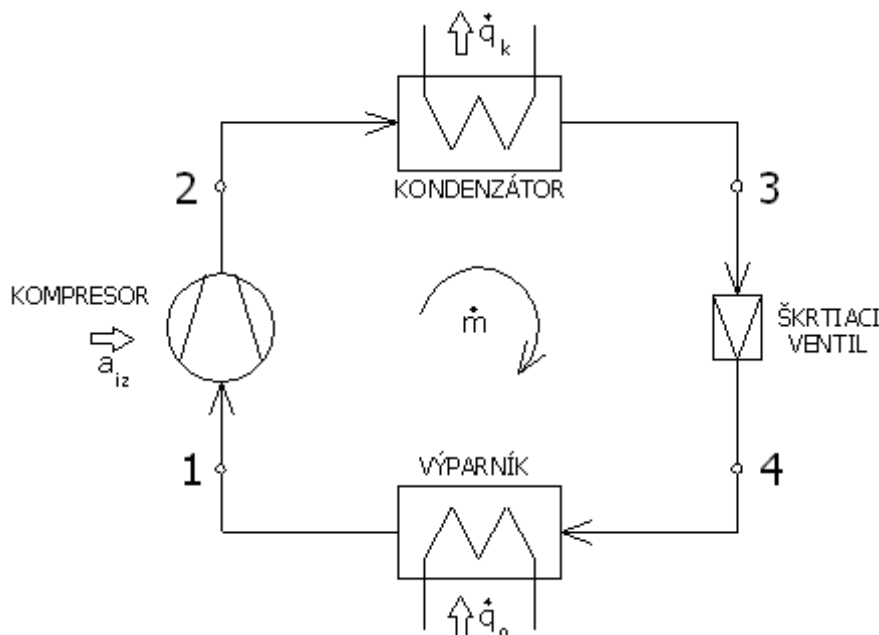
Základná tepelná bilance chladícího oběhu při uvažování ideálního oběhu a zanedbáním výměny tepla s okolím je následovná:

$$Q_o + P_{iz} = Q_k$$

Q_o – chladící výkon (W)

P_{iz} – izoentropický příkon kompresoru (W)

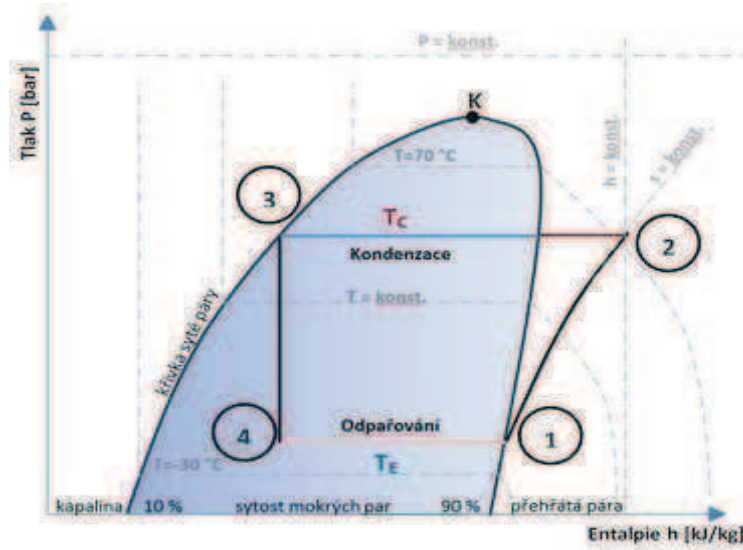
Q_k – kondenzační výkon (W)



Obr. 16 Parní oběh

Rankinův oběh

Parní oběh s reálnou pracovní látkou (chladičem) – idealizovaný Rankinův oběh



Obr. 17 Ideální Rankinův oběh

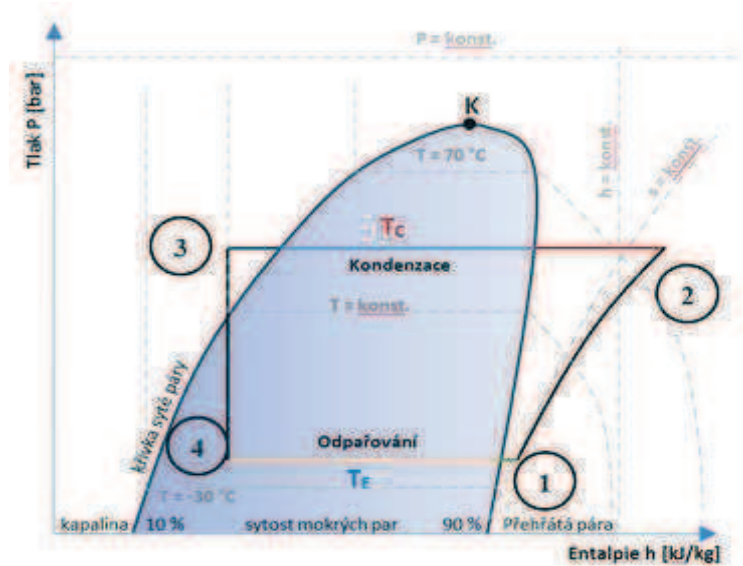
4–1: izobarické vypařování na mez syté páry

1–2: izoentropická komprese syté páry na přehřátou páru

2–3: izobarické ochlazení přehřátých par na mez sytosti a následná kondenzace na mez syté kapaliny

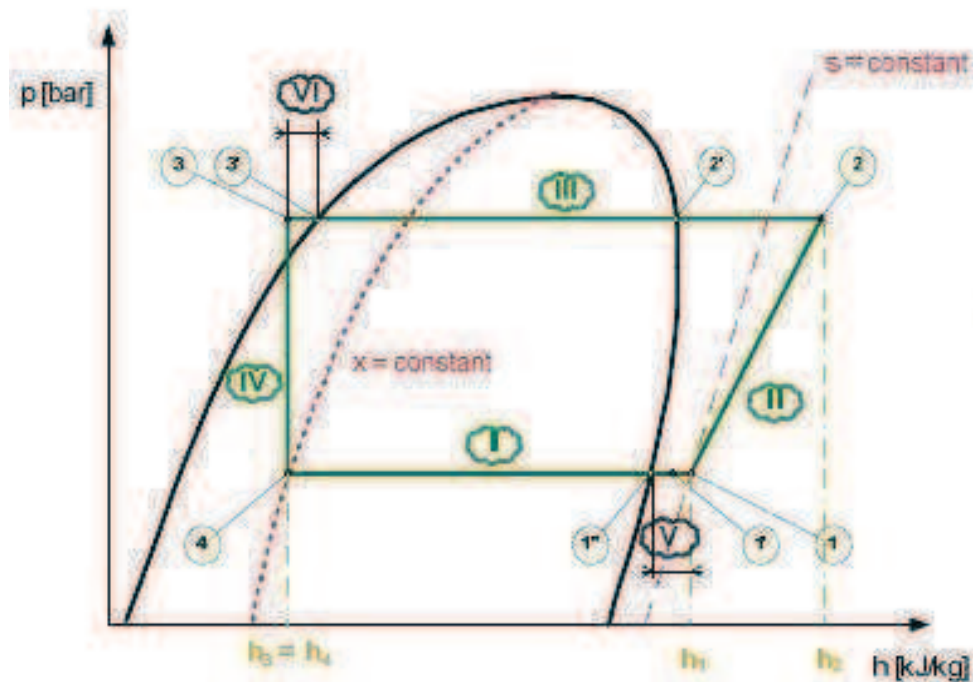
3–4: izoentalpicke škrcení na mokrou páru, snížení tlaku škrcením, nekoná se práce, nepřivádí se teplo = nemění se entalpie (adiabatické škrcení)

Skutečný oběh



Obr. 18 Skutečný (reálný) oběh

Hlavní rozdíl mezi skutečným oběhem a Rankinovým cyklem je v přehřívání par chladiva, podchlazení kapalného chladiva a kompresi par chladiva.



Obr. 19 Skutečný oběh – naznačení rozdílů mezi skutečným a Rankinovým cyklem

Legenda k obr. I – vypařování , II – komprese, III – kondenzace, IV – expanze, V – přehřátí, VI – podchlazení, 1 – vstup do kompresoru, 1' - výstup z výparníku, 1'' - 100% chladiva je vypařeno – začátek přehřívání, 2 – výstup z kompresoru, 2' - chladivo dosáhlo teplotu kondenzace – začátek kondenzace, 3 – vstup do expanzního ventilu, 3' - 100% chladiva je zkondenzované – začátek podchlazení, 4 – vstup do výparníku

Přehřátí je rozdíl mezi sáním (vstupem) do kompresoru a výparnou teplotou (teplotní rozdíl mezi body 1 a 1' na obrázku). Výparná teplota může být často odčítaná na teplotní stupnici manometru, případně z tabulek teplot nasycení jednotlivých chladiv.

Přehřátí určuje o kolik je teplejší nasávaný plyn v porovnání s výparní teplotou. Obvykle hodnoty leží v rozmezí 4 až 8 °C. Nedostatečné přehřátí může vést k vstupu kapaliny do kompresoru, co má za následek snížení COP faktoru nebo i poškození kompresoru. Příliš velké přehřátí ukazuje na neefektivní využití výparníku, co taktéž způsobuje snížení COP.

Podchlazení určuje, o kolik bylo zkondenzované chladivo ochlazeno pod kondenzační teplotou. Normální hodnoty jsou v rozmezí 2 až 5 °C. Příliš malé podchlazení ukazuje na nedostatek chladiva, co vede k snížení efektivnosti oběhu (COP). Příliš velké podchlazení ukazuje, že tepelné čerpadlo je přeplněné chladivem a potom pracuje taktéž s menším výkonovým číslem COP, protože plocha kondenzátoru nemůže být využita v plném rozsahu (velikosti). Současně

vzniká riziko vypnutí provozu vysokotlakým presostatem nebo se vysokotlaký pojistný ventil otevře, když vysoko stoupne kondenzační teplota. Přibližné zhodnocení podchlazení můžeme dosáhnout porovnáním kondenzační teploty (odečtena přímo z manometru nebo tabulek chladiv) s teplotou měřenou na povrchu rourky odvodu chladiva z kondenzátoru.

4. Chladící faktor chladícího zařízení

Pod pojmem chladící faktor rozumíme poměr mezi chladícím výkonem zařízení a příkonem (poměr získané energie k energii dodané). Kdybychom použili tuto obecnou definici pro celé klimatizační zařízení v režimu chlazení, pak bychom definovali COPAC jako poměr tepelné zátěže odvedené z klimatizovaného prostoru (přivedeného chladicího výkonu) k příkonu celého klimatizačního zařízení.

$$COP = \frac{\text{Chladicí výkon}}{\text{Příkon}}$$

Při výrobě a distribuci chladu po budově lze vysledovat více po sobě navazujících kroků. Zdroj chladu je základní bod. Ve většině zdrojů chladu pro klimatizaci pracuje systém na principu parního oběhu označovaným jako kompresorový. Pro porovnání a studium základních zákonitostí kompresorového oběhu se využívá již zmíněný Carnotův oběh. V praxi se k účinnosti Carnotova cyklu nikdy nedostaneme. Skutečné děje se od teoretických liší nevratností dějů. Porovnání skutečného oběhu a Carnotového lze vyjádřit účinností oběhu η_R . Chladící faktor je pak výrazně odlišný od Carnotova.

$$COP_C = \frac{T_o}{T_k - T_o}$$

T_o – vypařovací teplota, T_k – kondenzační teplota

$$COP_R = COP_C \cdot \eta_R = \frac{T_o}{T_k - T_o} \cdot \eta_R$$

V současnosti se pro chladící faktor používá EER (Energy Efficiency Ratio) místo dříve používaného COP faktoru. Jedná se jen o nové značení, které tak rozlišuje chladící faktor od topného faktoru. Celkový EER faktor reálného oběhu pro zdroj chladu je poměr chladícího výkonu Q_1 na výparníku vůči elektrickému příkonu kompresoru a kondenzátoru, přičemž se musí zohlednit i účinnost kompresoru η_C a jeho pohonu η_E .

$$COP_1 = COP_R \cdot \eta_C \cdot \eta_E = \frac{Q_1}{P_1} = EER_1$$

Zahraniční literatura někdy uvádí EER v jednotkách Btu/Wh (British thermal unit/ Watt hours). Vydelením koeficientem 3,413 lze danou jednotku převést na bezrozměrnou hodnotu používanou v EU. V případě kompaktního zdroje s vzduchem chlazeným kondenzátorem jsou součástí zdroje chladu i ventilátory pro odvod kondenzačního tepla a jejich příkon je nutno zohlednit v chladícím faktoru zdroje.

$$COP_1' = \frac{Q_1}{P_1 + P_2} = EER_1'$$

5. Sezónní chladicí faktor SEER a topný faktor SCOP

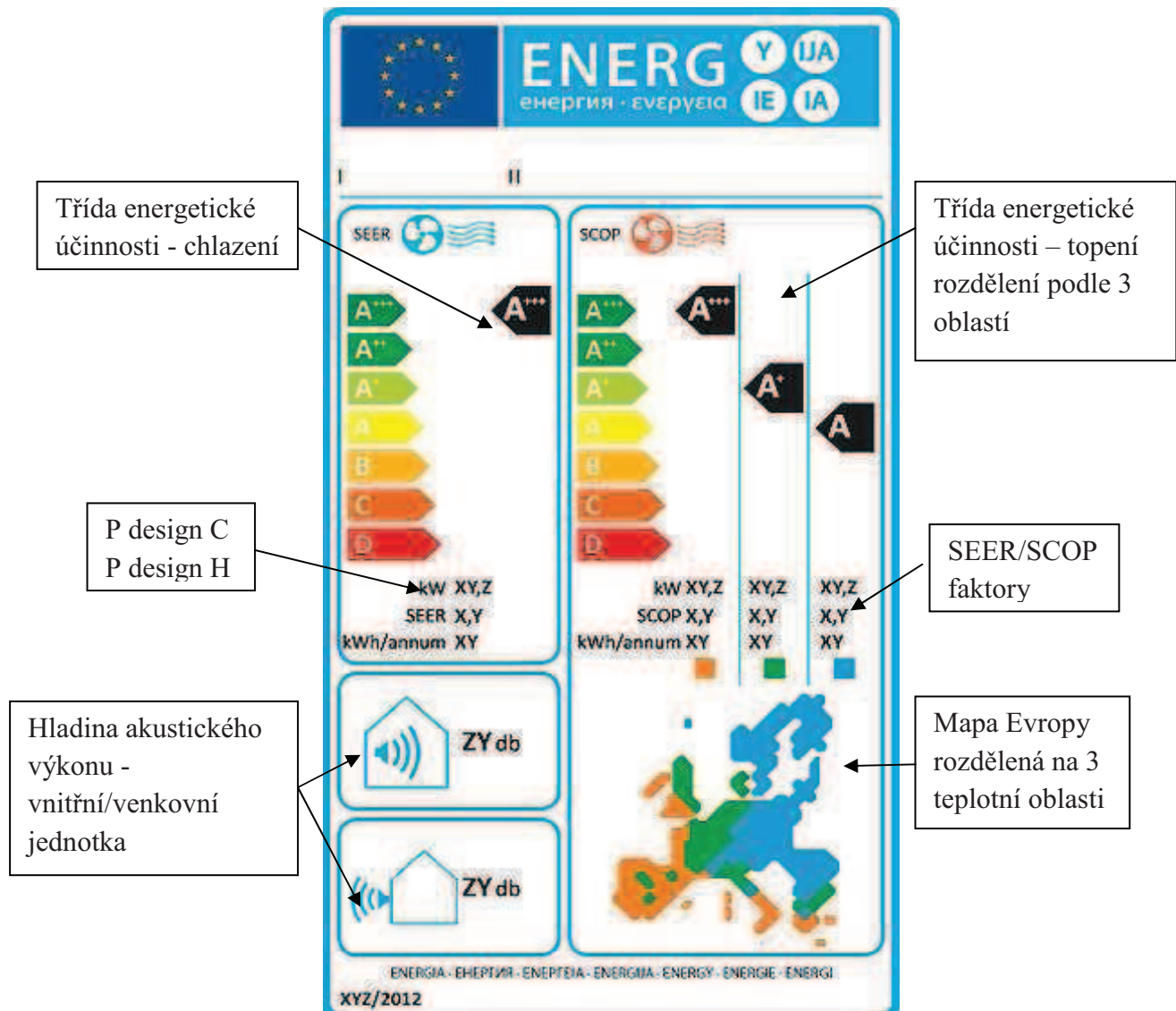
SEER = Seasonal Energy efficiency Ratio (Sezónní energetický faktor). Ve srovnání k jednoduchému EER, je stanoven jako kombinace různých provozních podmínek definovaných nejnověji podle EUROVENT/CEN tak, aby faktor odrážel co nejlépe provoz stroje v normálních sezónních provozních podmínkách mimo projektované maximální parametry. ESEER se vypočítá kombinací na plný i částečný zatížení provozního ukazatele energetické účinnosti (EER) pro různé teploty vzduchu, vody a to včetně vhodných váhových faktorů. SCOP = Seasonal Coefficient of Performance (režim topení)

Evropská unie si stanovila do roku 2020 cíl 20/20/20. Výsledkem je i zavedení SEER a SCOP faktorů. Cíl 20/20/20 znamená, že se sníží v porovnání s rokem 1990 o 20% použití primární energie, o 20% snížení emisí CO₂ a o 20% se více budou využívat obnovitelné zdroje energie. Od 1. 1. 2013 musí klimatizační jednotka do výkonu 12 kW být v nejhorším případě v třídě D podle nových štítků. Od 1. 1. 2014 musí daná klimatizační jednotka být zařazena minimálně v třídě B. Pro klimatizační zařízení nad 12 kW výkonu ještě není určen přesný datum, od kdy se budou muset řídit podle nových požadavků. Předpokládaný je rok 2014 nebo 2015. Od 1. 1. 2013 pro vytápění, jednotky do 12 kW výkonu musí splňovat minimálně třídu A. Následně od 1. 1. 2014 minimálně třídu A⁺.

Evropa je podle nové legislativy rozdělena na 3 regiony, co je znázorněno na energetickém štítku. Teplý, který je na mapě znázorněn oranžovou barvou, střední region zelenou a studený modrou. V energetickém štítku přibyla položka pro hladinu akustického výkonu vnitřní a venkovní jednotky. Na rozdíl od akustického tlaku akustický výkon není ovlivněn umístěním zdroje a přijímače. V tabulce jsou maximální hodnoty akustického výkonu pro vnitřní a venkovní jednotky.

| Chladící výkon jednotky $\leq 6 \text{ kW}$ | | Chladící výkon jednotky $> 6 \text{ kW} \leq 12 \text{ kW}$ | |
|---|-------------------|---|-------------------|
| Vnitřní jednotka | Venkovní jednotka | Vnitřní jednotka | Venkovní jednotka |
| 60 dB(A) | 65 dB(A) | 65 dB(A) | 70 dB(A) |

Značení dle nových energetických štítků je možné od roku 2012. Jejich povinnost na výrobcích bude od roku 2013. Na daném energetickém štítku jsou kategorie pro SEER a SCOP faktory. Dělí se do 7 tříd, kde zařazení do třídy D je nejhorší a do třídy A⁺⁺⁺ nejlepší. Dále jsou zde hodnoty P design C a P design H. P design C se rovná výkonu jednotky při 100% chladící zátěži (tento bod byl stanoven na 35°C). P design H je obdobný předešlému ale jde o 100% topné zátěži. Problém ale nastává při určení P design H, protože není určen přesný bod (teplota) pro kterou se má počítat. Závisí na bodu bivalence, který se volí z intervalu T design a T bivalent podle klimatické oblasti.



Obr. 20 Energetický štítek dle nařízení komise v převedené pravomoci (EU) č.
626/2011

5.1 Porovnání původního způsobu výpočtu a nového výpočtu faktorů

V původní legislativě a výpočtu se při faktore EER používala pouze jedna teplota, která se ale v průběhu roku vyskytovala pouze pár hodin. Proto se zavádí nová legislativa, která upravuje výpočet pro 4 různé teploty. Podobné opatření se dělá i při COP faktore. Nepočítá se pouze pro 1 teplotu, ale také pro 4 různé, který lépe vyjádří chod jednotky. Pro vzduchem chlazené jednotky jsou výpočtové teploty pro SEER 35°C, 30°C, 25°C a 20°C (znázorněno na grafu). Pro jednotlivé teploty jsou přirazeny váhové koeficienty, které zohledňují, jak dlouho pracuje zařízení při konkrétních podmínkách. Pro přehled jsem vložil údaje do tabulky (hodnoty záťaze pro chlazení jsem čerpal od výrobce Mitsubishi Electric, v závorce v tabulce jsou hodnoty udávané v EUROVENT/CEN).

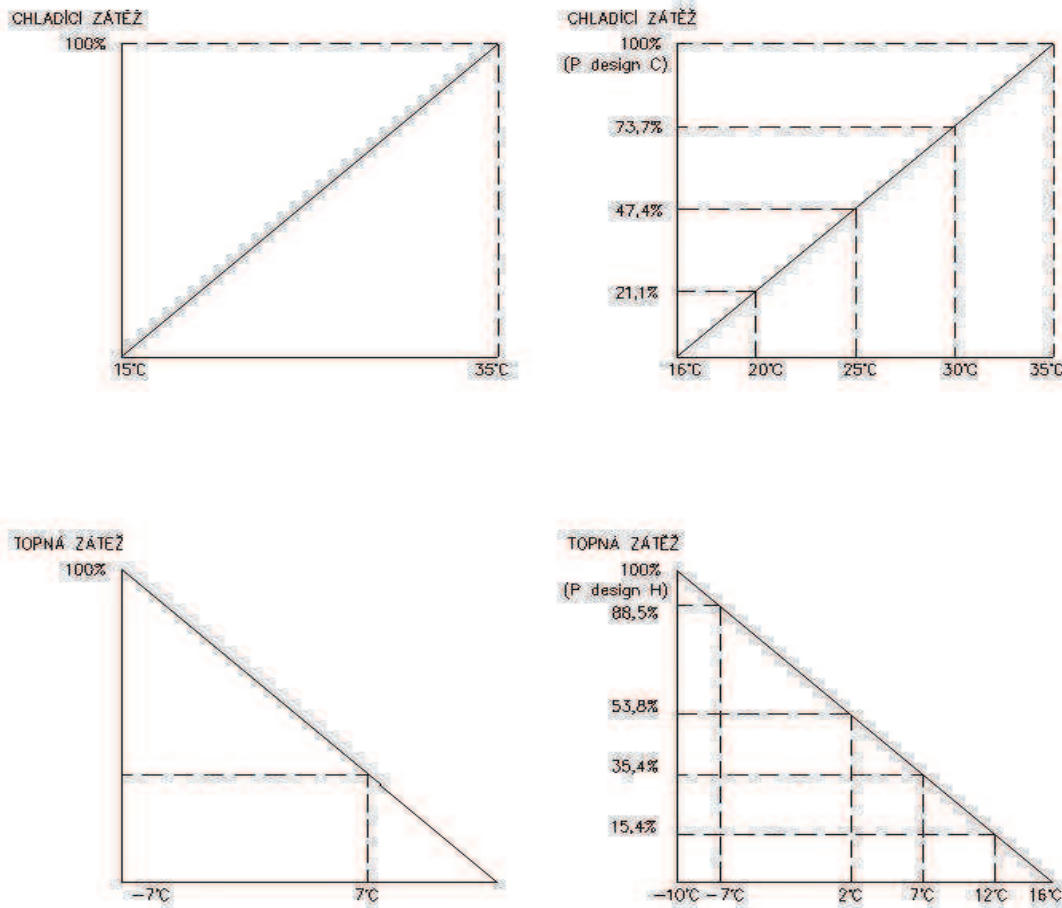
| Zátěž pro chlazení | Teplota vzduchu °C | Váhový koeficient |
|--------------------|--------------------|-------------------|
| 100% | 35 | 0,03 (A) |
| 73,7% (75%) | 30 | 0,33 (B) |
| 47,4% (50%) | 25 | 0,41 (C) |
| 21,1% (25%) | 20 | 0,23 (D) |

Vztah pro výpočet SEER je pak následující:

$$\text{SEER} = A \cdot \text{EER}_{100\%} + B \cdot \text{EER}_{75\%} + C \cdot \text{EER}_{50\%} + D \cdot \text{EER}_{25\%}$$

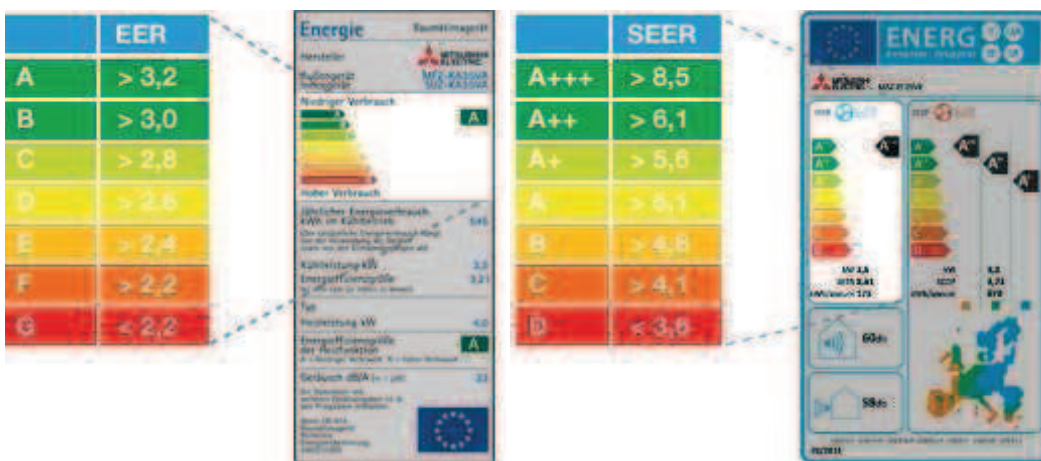
Pro výpočet SCOP je Evropa rozdělena do již zmíněných 3 klimatických zón. V tabulce je přehled výpočtových teplot a hodnoty zatížení pro jednotlivé teploty (hodnoty v tabulce jsou od Mitsubishi Electric).

| Teplá zóna | | | Střední zóna | | | Studená zóna | | | | |
|----------------|-------------------|------|----------------|-------------------|------|----------------|-------------------|-----|--|--|
| Částečná zátěž | Teplotní podmínky | | Částečná zátěž | Teplotní podmínky | | Částečná zátěž | Teplotní podmínky | | | |
| | Venkovní | | | Vnitřní | | | Venkovní | | | |
| | ST | MT | | ST | MT | | ST | MT | | |
| - | - | - | 20°C | 88% | -7°C | -8°C | 20°C | 61% | | |
| 100% | 2°C | 1°C | 20°C | 54% | 2°C | 1°C | 20°C | 37% | | |
| 64% | 7°C | 6°C | 20°C | 35% | 7°C | 6°C | 20°C | 24% | | |
| 29% | 12°C | 11°C | 20°C | 15% | 12°C | 11°C | 20°C | 11% | | |



Obr. 21 Grafy znázorňující okrajové podmínky pro výpočet EER, SEER, COP a SCOP

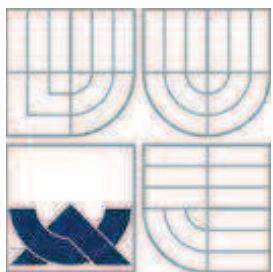
Rozdíl v nových energetických štítcích není pouze v okrajových podmínkách pro výpočet SEER a SCOP, ale také v již zmíněných třídách pro zatřídění. Počet tříd zůstal 7, ale jejich označení se změnilo. Místo tříd A až G je v novém štítku použité značení A⁺⁺⁺, A⁺⁺, A⁺, A, B, C, a D. Hodnoty pro jednotlivé třídy jsou taky změněny, protože je metodika výpočtu jiná a dosahujeme odlišné hodnoty. Snaha EU je podporovat inverterové jednotky. Na rozdíl od neinverterových jednotek jsou energeticky méně náročné a z toho mají menší nepříznivý dopad na životné prostředí.



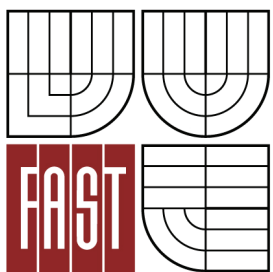
Obr. 22 Porovnání původních hodnot a tříd pro režim chlazení (EER a SEER)



Obr. 23 Porovnání původních hodnot a tříd pro režim topení (COP a SCOP)



VYSOKÉ UČENÍ TECHNICKÉ V BRNĚ
BRNO UNIVERSITY OF TECHNOLOGY



FAKULTA STAVEBNÍ
ÚSTAV TECHNICKÝCH ZAŘÍZENÍ BUDOV
FACULTY OF CIVIL ENGINEERING
INSTITUTE OF BUILDING SERVICES

ENERGETICKÉ HODNOCENÍ SYSTÉMŮ VRF ČÁST B – APLIKACE

DIPLOMOVÁ PRÁCE
MASTER'S THESIS

AUTOR PRÁCE
AUTHOR

Bc. JURAJ GAŠPÁR

VEDOUCÍ PRÁCE
SUPERVISOR

doc. Ing. ALEŠ RUBINA, Ph.D.

BRNO 2013

1. Aplikace tématu na objektu

V praktické části diplomové práci jsem se zaměřil na různé varianty klimatizace a větrání pobočky banky. Celkem jsem použil 3 varianty, které se liší jak způsobem distribuce čerstvého vzduchu, tak i umístěním vnitřních jednotek VRF systému. První varianta je varianta použitá v mé bakalářské práci, kde nebyl primárně brán zřetel na energetickou náročnost řešení. V druhé variantě je změna ve vnitřních elementech VRF systému a v poslední třetí je upravena i distribuce čerstvého vzduchu v objektu.

1.1 Analýza objektu

Jedná se o 3 podlažní budovu pobočky banky, která se nachází v Brně. V 1. podlaží se nachází hlavní kancelář, zasedací místnost, kuchyňka, WC se sprchou, úklidová komora a chodba. Ve 2. nadzemním podlaží je denní místnost (společenská místnost), WC, chodba, archiv, server, osobní poradce, manager a ředitelka. V posledním 3. Nadzemním podlaží je denní místnost, WC, zástupce ředitelky, osobní poradce, chodba, strojovna vzduchotechniky a místnost pro technika. Konstrukční výška podlaží je 3,8m. Konstrukční systém je Porotherm. Všechny místnosti kromě strojovny jsou opatřeny sádrokartonovým podhledem. Světlá výška místností je 2,9m.

Konstrukce v objektu:

- a) Nosné cihelné zdivo tl.450mm: $U=0,32\text{W/m}^2\text{K}$
- b) Vnitřní cihelné zdivo tl.300mm: $U=0,7\text{W/m}^2\text{K}$
- c) Vnitřní cihelné zdivo tl.250mm: $U=1,3\text{W/m}^2\text{K}$
- d) Konstrukce podlahy na terénu tl.300mm: $U=0,3\text{W/m}^2\text{K}$
- e) Konstrukce stropu tl.350mm: $U=1,3\text{W/m}^2\text{K}$
- f) Střecha: $U=0,16\text{W/m}^2\text{K}$
- g) Okna: $U=1,3\text{W/m}^2\text{K}$
- h) Dveře: $U=2,3\text{W/m}^2\text{K}$

1.2 Popis variant pro řešení dané pobočky banky

Navrhnu jsem 3 různé varianty pro daný objekt. Ve všech je objekt rozdělen na samostatné funkční celky. Zabývají se větráním, chlazením v létě a vytápěním prostor v zimě.

První varianta:

Objekt je rozdělen na 4 funkční celky, které jsou obsluhovány samostatně pomocí 4 zařízení.

Zařízení č. 1 – Nucené teplovzdušné větrání

Zařízení č. 2 – Klimatizace VRF systém

Zařízení č. 3 – Split systém

Zařízení č. 4 – Podtlakové větrání

Druhá varianta:

Pro systém VRF jsou při zařízení č. 2 použity místo podstropních kazetových jednotek instalovány parapetní jednotky. Zbylé zařízení jsou stejné, změna je pouze u prostor, kde jsou dané jednotky.

Třetí varianta:

Objekt je jinak rozdělen než v případě 1 a 2. Přívod čerstvého vzduchu je přímo v kancelářích. Větrání okny je minimalizováno. Dané řešení je z hlediska energetické náročnosti nejfektivnější a nejúčinnější. Z hlediska komfortu pro uživatele je tato varianta také nejpříznivější.

Návrh

Tepelné ztráty jsem počítal pomocí programu Excelu. Výsledky jsou v přílohách diplomové práci. Pro výpočet tepelné zátěže jsem použil software Teruna. Ukázka výpočtu pomocí softwaru Teruna je na následujících stránkách. Výsledky tepelných zátěží a ztrát jsou shrnutы v tabulce.

VÝSTUP Z PROGRAMU TERUNA

VÝPOČET TEPELNÉ ZÁTĚŽE

ZA NESTACIONÁRNÍCH PODMÍNEK

***** INFORMACE O PROJEKTU *****

101 Zasedací místnost

***** ZADANÉ PRVKY DO VÝPOČTU *****

Venkovní stěna

+----S01 stena cihelna - Porotherm (16,82m², 0,45m, 0,23W/mK, 800kg/m³, 1000kJ/kgK)

Symetrická stěna

+----SV1 porotherm 450 (10,825m², 0,45m, 0,23W/mK, 800kg/m³, 1000kJ/kgK)

+----dveře vnitřní plné (1,935m², 2,3W/m²K)

Venkovní stěna

+----S02 stena cihelna - Porotherm (4,872m², 0,45m, 0,23W/mK, 1000kg/m³, 900kJ/kgK)

Symetrická stěna

+----SV2 porotherm 300 (12,316m², 0,3m, 0,3W/mK, 850kg/m³, 1000kJ/kgK)

+----dveře vnitřní plné (1,72m², 2,3W/m²K)

Symetrická stěna

+----strop porotherm (35,264m², 0,35m, 0,25W/mK, 1600kg/m³, 1000kJ/kgK)

Další akumul. hmota

+----nábytek (20m², 200kg, 800kJ/kgK)

Asymetrická stěna

+----SV3 porotherm 300 (10,75m², 0,3m, 0,3W/mK, 850kg/m³, 1000kJ/kgK)

Podlaha

+----podlaha beton s izolací (35,264m², 0,3m, 0,13W/mK, 1900kg/m³, 800kJ/kgK)

***** VSTUPNÍ ÚDAJE *****

Výpočet proveden pro období od 21.7. do 21.7.

Časový krok: 300s

Objem místnosti : 94,395m³

Ve výpočtu bylo zavedeno:

Simulace oblačnosti: NE

Referenční rok: NE

Uvažován vliv sluneční radiace: ANO

Načtená klimatická data: 1.7.2002-31.7.2002 Brno - data Veverí

Osvětlení[1]: 8 - 10h, 300W

Větrání: NE

Ostatní tepelné zdroje[1]: 8 - 16h, 500W

Odpar vody: NE

Biologická produkce[1]: 8 - 9h, 75kg, počet osob: 8

Biologická produkce[2]: 15 - 16h, 75kg, počet osob: 8

Sálavé plochy: NE

***** VÝSLEDKY *****

Maxima tepelné zátěže:

21.7. 9h: Citelné teplo Max= 1481,85W

21.7. 24h: Citelné teplo Min= 0,44W

21.7. 9h: Vázané teplo=405,27W Merna Tz = -4,62W/K

21.7. 9h: Potřeba chladu = 6,16kWh Potřeba tepla = 0kWh

Suma potřeby chladu = 6,16kWh

Suma potřeby tepla = 0kWh

***** INFORMACE O PROJEKTU *****
103 Hlavní kancelář

***** ZADANÉ PRVKY DO VÝPOČTU *****

Venkovní stěna

- +----S01 porotherm (5.67m², 0.45m, 0.23W/mK, 800kg/m³, 1000kJ/kgK)
 - +----okno - dvousklo, žaluzie vnitřní (8.4m², 1.3W/m²K)
 - +----dveře vchodové 1/3 skla (2.25m², 2.3W/m²K)

Venkovní stěna

- +----S02 porotherm (15.254m², 0.45m, 0.23W/mK, 800kg/m³, 1000kJ/kgK)

Venkovní stěna

- +----stena cihelna - Porotherm (15.254m², 0.45m, 0.23W/mK, 800kg/m³, 1000kJ/kgK)

Symetrická stěna

- +----SV1 porotherm (114.036m², 0.3m, 0.3W/mK, 850kg/m³, 1000kJ/kgK)

Symetrická stěna

- +----strop porotherm (48.918m², 0.35m, 0.25W/mK, 1600kg/m³, 1000kJ/kgK)

Další akumul. hmota

- +----nábytek (20m², 200kg, 800kJ/kgK)

Asymetrická stěna

- +----SV2 porotherm (9m², 0.3m, 0.3W/mK, 850kg/m³, 1000kJ/kgK)

Podlaha

- +----podlaha beton s izolací (48.918m², 0.3m, 0.13W/mK, 1900kg/m³, 800kJ/kgK)

***** VSTUPNÍ ÚDAJE *****

Výpočet proveden pro období od 21.7. do 21.7.

Časový krok: 300s

Objem místnosti : 95m³

Ve výpočtu bylo zavedeno:

Simulace oblačnosti: NE

Referenční rok:NE

Uvažován vliv sluneční radiace: ANO

Načtená klimatická data: NE

Osvětlení[1]: 8 - 16h, 150W

Větrání[1]: 8 - 16h, 250m³/h

Ostatní tepelné zdroje[1]: 8 - 16h, 1000W

Odpar vody: NE

Biologická produkce[1]: 8 - 16h, 75kg, počet osob: 14

Sálavé plochy: NE

***** VÝSLEDKY *****

Maxima tepelné zátěže:

21.7. 7.25h: Citelné teplo Max= 3967.51W

21.7. 3.92h: Citelné teplo Min= -322.18W

21.7. 7.25h: Vázané teplo=0W Merna Tz = -1W/K

21.7. 7.25h: Potřeba chladu = 28.11kWh Potřeba tepla = 1.75kWh

Suma potřeby chladu = 28.11kWh

Suma potřeby tepla = 1.75kWh

***** INFORMACE O PROJEKTU *****
201 Denní místnost

***** ZADANÉ PRVKY DO VÝPOČTU *****

Venkovní stěna

+----S01 (7.543m², 0.45m, 0.23W/mK, 1000kg/m³, 900kJ/kgK)

+----okno - dvousklo, žaluzie vnitřní (4.5m², 2.7W/m²K)

Symetrická stěna

+----porotherm podlaha (19.28m², 0.35m, 0.25W/mK, 1600kg/m³, 800kJ/kgK)

Symetrická stěna

+----porotherm strop (19.28m², 0.35m, 0.25W/mK, 1600kg/m³, 800kJ/kgK)

Další akumul. hmota

+----nábytek (20m², 200kg, 800kJ/kgK)

Asymetrická stěna

+----SV1 porotherm 300 (4.91m², 0.3m, 0.3W/mK, 850kg/m³, 1000kJ/kgK)

Asymetrická stěna

+----SV2 porotherm 125 (11.6m², 0.125m, 0.4W/mK, 850kg/m³, 1000kJ/kgK)

***** VSTUPNÍ ÚDAJE *****

Výpočet proveden pro období od 21.7. do 21.7.

Časový krok: 300s

Objem místnosti : 55.361m³

Ve výpočtu bylo zavedeno:

Simulace oblačnosti: NE

Referenční rok:NE

Uvažován vliv sluneční radiace: ANO

Načtená klimatická data: NE

Osvětlení[1]: 8 - 9h, 30W

Osvětlení[2]: 11 - 12h, 30W

Osvětlení[3]: 15 - 16h, 30W

Větrání: NE

Ostatní tepelné zdroje[1]: 8 - 16h, 500W

Odpar vody: NE

Biologická produkce[1]: 8 - 9h, 75kg, počet osob: 4

Biologická produkce[2]: 11 - 12h, 75kg, počet osob: 4

Biologická produkce[3]: 15 - 16h, 75kg, počet osob: 4

Sálavé plochy: NE

***** VÝSLEDKY *****

Maxima tepelné zátěže:

21.7. 16h: Citelné teplo Max= 1706.32W

21.7. 4.25h: Citelné teplo Min= -427.99W

21.7. 16h: Vázané teplo=202.64W Merna Tz = -1W/K

21.7. 16h: Potřeba chladu = 9.61kWh Potřeba tepla = 3.99kWh

Suma potřeby chladu = 9.61kWh

Suma potřeby tepla = 3.99kWh

***** INFORMACE O PROJEKTU *****
203 Risk manager

***** ZADANÉ PRVKY DO VÝPOČTU *****

Venkovaní stěna

+----S01 stena cihelna - Porotherm (6.25m², 0.45m, 0.23W/mK, 800kg/m³, 1000kJ/kgK)

+----okno - dvousklo, žaluzie vnitřní (2.25m², 1.3W/m²K)

Venkovaní stěna

+----S02 stena cihelna - Porotherm (15.254m², 0.45m, 0.23W/mK, 800kg/m³, 1000kJ/kgK)

Symetrická stěna

+----SV1 cihelna vnitřní (15.254m², 0.25m, 0.3W/mK, 850kg/m³, 1000kJ/kgK)

Asymetrická stěna

+----SV2 (6.6m², 0.3m, 0.3W/mK, 850kg/m³, 1000kJ/kgK)

Symetrická stěna

+----porotherm podlaha (3.682m², 0.35m, 0.25W/mK, 1600kg/m³, 1000kJ/kgK)

Asymetrická stěna

+----podlaha nad vstupem (15.78m², 0.35m, 0.25W/mK, 1600kg/m³, 1000kJ/kgK)

Symetrická stěna

+----porotherm strop (19.5m², 0.35m, 0.25W/mK, 1600kg/m³, 1000kJ/kgK)

Další akumul. hmota

+----nábytek (20m², 200kg, 800kJ/kgK)

***** VSTUPNÍ ÚDAJE *****

Výpočet proveden pro období od 21.7. do 21.7.

Časový krok: 300s

Objem místnosti : 55.854m³

Ve výpočtu bylo zavedeno:

Simulace oblačnosti: NE

Referenční rok: NE

Uvažován vliv sluneční radiace: ANO

Načtená klimatická data: NE

Osvětlení[1]: 8 - 16h, 60W

Větrání[1]: 8 - 16h, 100m³/h

Ostatní tepelné zdroje[1]: 8 - 16h, 400W

Odpar vody: NE

Biologická produkce[1]: 8 - 16h, 75kg, počet osob: 5

Sálavé plochy: NE

***** VÝSLEDKY *****

Maxima tepelné zátěže:

21.7. 8.25h: Citelné teplo Max= 1217.8W

21.7. 4h: Citelné teplo Min= -136.72W

21.7. 8.25h: Vázané teplo=229.86W Merna Tz = -1W/K

21.7. 8.25h: Potřeba chladu = 8.95kWh Potřeba tepla = 0.88kWh

Suma potřeby chladu = 8.95kWh

Suma potřeby tepla = 0.88kWh

***** INFORMACE O PROJEKTU *****
204 Ředitelka

***** ZADANÉ PRVKY DO VÝPOČTU *****

Venkovní stěna

- +----S01 stena cihelna - Porotherm (4.375m², 0.45m, 0.23W/mK, 800kg/m³, 1000kJ/kgK)
 - +----okno - dvosklo, žaluzie vnitřní (2.25m², 1.3W/m²K)
 - +----okno - dvosklo, žaluzie vnitřní (2.25m², 1.3W/m²K)

Symetrická stěna

- +----SV1 porotherm (15.254m², 0.25m, 0.4W/mK, 850kg/m³, 1000kJ/kgK)

Symetrická stěna

- +----SV3 porotherm (15.254m², 0.25m, 0.4W/mK, 850kg/m³, 1000kJ/kgK)

Asymetrická stěna

- +----SV2 porotherm (8.175m², 0.3m, 0.3W/mK, 850kg/m³, 1000kJ/kgK)

Symetrická stěna

- +----strop (22.355m², 0.35m, 0.25W/mK, 1600kg/m³, 1000kJ/kgK)

Symetrická stěna

- +----podlaha (22.325m², 0.35m, 0.25W/mK, 1600kg/m³, 1000kJ/kgK)

Další akumul. hmota

- +----nábytek (20m², 200kg, 800kJ/kgK)

***** VSTUPNÍ ÚDAJE *****

Výpočet proveden pro období od 21.7. do 21.7.

Časový krok: 300s

Objem místnosti : 64.177m³

Ve výpočtu bylo zavedeno:

Simulace oblačnosti: NE

Referenční rok:NE

Uvažován vliv sluneční radiace: ANO

Načtená klimatická data: NE

Osvětlení[1]: 8 - 16h, 60W

Větrání[1]: 8 - 16h, 100m³/h

Ostatní tepelné zdroje[1]: 8 - 16h, 300W

Odpad vody: NE

Biologická produkce[1]: 8 - 16h, 75kg, počet osob: 2

Sálavé plochy: NE

***** VÝSLEDKY *****

Maxima tepelné zátěže:

21.7. 6.92h: Citelné teplo Max= 1728.87W

21.7. 4h: Citelné teplo Min= -48.33W

21.7. 6.92h: Vázané teplo=0W Merna Tz = -1W/K

21.7. 6.92h: Potřeba chladu = 9.97kWh Potřeba tepla = 0.13kWh

Suma potřeby chladu = 9.97kWh

Suma potřeby tepla = 0.13kWh

***** INFORMACE O PROJEKTU *****
205 Osobní poradca 1

***** ZADANÉ PRVKY DO VÝPOČTU *****

Venkovní stěna

+----SO1 stena cihelna - Porotherm (7.245m², 0.45m, 0.23W/mK, 800kg/m³, 900kJ/kgK)
+----okno - dvosklo, žaluzie vnitřní (2.25m², 1.3W/m²K)

Venkovní stěna

+----SO2 stena cihelna - Porotherm (15.254m², 0.45m, 0.23W/mK, 800kg/m³,
1000kJ/kgK)

Symetrická stěna

+----SV1 porotherm (13.254m², 0.25m, 0.4W/mK, 850kg/m³, 1000kJ/kgK)
+----dveře vnitřní plné (2m², 2W/m²K)

Symetrická stěna

+----podlaha (21.303m², 0.35m, 0.25W/mK, 1600kg/m³, 1000kJ/kgK)

Symetrická stěna

+----Strop (21.303m², 0.35m, 0.25W/mK, 1600kg/m³, 900kJ/kgK)

Další akumul. hmota

+----nábytek (20m², 200kg, 800kJ/kgK)

Asymetrická stěna

+----SV2 porotherm (9.595m², 0.3m, 0.3W/mK, 850kg/m³, 1000kJ/kgK)

***** VSTUPNÍ ÚDAJE *****

Výpočet proveden pro období od 21.7. do 21.7.

Časový krok: 300s

Objem místnosti : 61.103m³

Ve výpočtu bylo zavedeno:

Simulace oblačnosti: NE

Referenční rok:NE

Uvažován vliv sluneční radiace: ANO

Načtená klimatická data: NE

Osvětlení[1]: 8 - 16h, 60W

Větrání[1]: 8 - 16h, 100m³/h

Ostatní tepelné zdroje[1]: 8 - 16h, 400W

Odpar vody: NE

Biologická produkce[1]: 8 - 16h, 75kg, počet osob: 5

Sálavé plochy: NE

***** VÝSLEDKY *****

Maxima tepelné zátěže:

21.7. 6.92h: Citelné teplo Max= 1022.81W

21.7. 4h: Citelné teplo Min= -153.88W

21.7. 6.92h: Vázané teplo=0W Merna Tz = -1W/K

21.7. 6.92h: Potřeba chladu = 7.01kWh Potřeba tepla = 1.09kWh

Suma potřeby chladu = 7.01kWh

Suma potřeby tepla = 1.09kWh

***** INFORMACE O PROJEKTU *****
301 Denní místnost

***** ZADANÉ PRVKY DO VÝPOČTU *****

Venkovní stěna

+----SO1 stena cihelna - Porotherm (6.778m², 0.45m, 0.23W/mK, 800kg/m³, 1000kJ/kgK)

+----okno - dvousklo, žaluzie vnitřní (3.6m², 1.3W/m²K)

Venkovní stěna

+----strecha (19.28m², 0.35m, 0.06W/mK, 1600kg/m³, 1000kJ/kgK)

Symetrická stěna

+----podlaha (19.28m², 0.35m, 0.25W/mK, 1600kg/m³, 1000kJ/kgK)

Další akumul. hmota

+----nábytek (20m², 200kg, 800kJ/kgK)

Asymetrická stěna

+----SV1 porotherm (21.527m², 0.3m, 0.3W/mK, 850kg/m³, 1000kJ/kgK)

Asymetrická stěna

+----SV2 porotherm (11.6m², 0.125m, 0.4W/mK, 850kg/m³, 1000kJ/kgK)

***** VSTUPNÍ ÚDAJE *****

Výpočet proveden pro období od 21.7. do 21.7.

Časový krok: 300s

Objem místnosti : 55.361m³

Ve výpočtu bylo zavedeno:

Simulace oblačnosti: NE

Referenční rok:NE

Uvažován vliv sluneční radiace: ANO

Načtená klimatická data: NE

Osvětlení[1]: 8 - 9h, 60W

Osvětlení[2]: 15 - 16h, 60W

Větrání: NE

Ostatní tepelné zdroje: NE

Odpar vody: NE

Biologická produkce[1]: 8 - 9h, 75kg, počet osob: 4

Biologická produkce[2]: 11 - 12h, 75kg, počet osob: 4

Biologická produkce[3]: 15 - 16h, 75kg, počet osob: 4

Sálavé plochy: NE

***** VÝSLEDKY *****

Maxima tepelné zátěže:

21.7. 16h: Citelné teplo Max= 1757.34W

21.7. 4.25h: Citelné teplo Min= -243.39W

21.7. 16h: Vázané teplo=202.64W Merna Tz = -1W/K

21.7. 16h: Potřeba chladu = 10.8kWh Potřeba tepla = 1.94kWh

Suma potřeby chladu = 10.8kWh

Suma potřeby tepla = 1.94kWh

***** INFORMACE O PROJEKTU *****
303 Osobní poradce 2

***** ZADANÉ PRVKY DO VÝPOČTU *****

Venkovní stěna

+----SO1 stena cihelna - Porotherm (13.004m², 0.45m, 0.23W/mK, 800kg/m³, 1000kJ/kgK)

Venkovní stěna

+----SO2 stena cihelna - Porotherm (8.509m², 0.45m, 0.23W/mK, 800kg/m³, 1000kJ/kgK)
+----okno - dvojsklo, žaluzie vnitřní (2.25m², 1.3W/m²K)

Venkovní stěna

+----strecha (19.5146m², 0.45m, 0.06W/mK, 1600kg/m³, 1000kJ/kgK)

Symetrická stěna

+----SV1 porotherm (13.5146m², 0.25m, 0.4W/mK, 850kg/m³, 1000kJ/kgK)
+----dveře vnitřní plné (2m², 2W/m²K)

Symetrická stěna

+----podlaha (19.5146m², 0.35m, 0.25W/mK, 1600kg/m³, 1000kJ/kgK)

Další akumul. hmota

+----nábytek (20m², 200kg, 800kJ/kgK)

Asymetrická stěna

+----SV2 porotherm (8.609m², 0.3m, 0.3W/mK, 850kg/m³, 1000kJ/kgK)

***** VSTUPNÍ ÚDAJE *****

Výpočet proveden pro období od 21.7. do 21.7.

Časový krok: 300s

Objem místnosti : 55.854m³

Ve výpočtu bylo zavedeno:

Simulace oblačnosti: NE

Referenční rok:NE

Uvažován vliv sluneční radiace: ANO

Načtená klimatická data: NE

Osvětlení[1]: 8 - 16h, 60W

Větrání[1]: 8 - 16h, 100m³/h

Ostatní tepelné zdroje[1]: 8 - 16h, 400W

Odpar vody: NE

Biologická produkce[1]: 8 - 16h, 75kg, počet osob: 5

Sálavé plochy: NE

***** VÝSLEDKY *****

Maxima tepelné zátěže:

21.7. 8.25h: Citelné teplo Max= 1234.18W

21.7. 4h: Citelné teplo Min= -258.52W

21.7. 8.25h: Vázané teplo=208.01W Merna Tz = -1W/K

21.7. 8.25h: Potřeba chladu = 8.39kWh Potřeba tepla = 2.11kWh

Suma potřeby chladu = 8.39kWh

Suma potřeby tepla = 2.11kWh

***** INFORMACE O PROJEKTU *****
304 Zástupce ředitelky

***** ZADANÉ PRVKY DO VÝPOČTU *****

Venkovní stěna

+----SO1 stena cihelna - Porotherm (4.375m², 0.45m, 0.23W/mK, 800kg/m³, 1000kJ/kgK)

+----okno - dvousklo, žaluzie vnitřní (4.5m², 1.3W/m²K)

Venkovní stěna

+----strecha (22.355m², 0.35m, 0.06W/mK, 1600kg/m³, 1000kJ/kgK)

Symetrická stěna

+----SV1 porotherm (30.508m², 0.25m, 0.4W/mK, 850kg/m³, 1000kJ/kgK)

Symetrická stěna

+----podlaha (22.355m², 0.35m, 0.25W/mK, 1600kg/m³, 1000kJ/kgK)

Další akumul. hmota

+----nábytek (20m², 200kg, 800kJ/kgK)

Asymetrická stěna

+----SV2 porotherm (8.175m², 0.3m, 0.3W/mK, 850kg/m³, 1000kJ/kgK)

***** VSTUPNÍ ÚDAJE *****

Výpočet proveden pro období od 21.7. do 21.7.

Časový krok: 300s

Objem místnosti : 64.177m³

Ve výpočtu bylo zavedeno:

Simulace oblačnosti: NE

Referenční rok:NE

Uvažován vliv sluneční radiace: ANO

Načtená klimatická data: NE

Osvětlení[1]: 8 - 16h, 30W

Větrání[1]: 8 - 16h, 100m³/h

Ostatní tepelné zdroje[1]: 8 - 16h, 300W

Odpar vody: NE

Biologická produkce[1]: 8 - 16h, 75kg, počet osob: 2

Sálavé plochy: NE

***** VÝSLEDKY *****

Maxima tepelné zátěže:

21.7. 6.92h: Citelné teplo Max= 1837.42W

21.7. 4h: Citelné teplo Min= -190.9W

21.7. 6.92h: Vázané teplo=0W Merna Tz = -1W/K

21.7. 6.92h: Potřeba chladu = 7.07kWh Potřeba tepla = 1.59kWh

Suma potřeby chladu = 7.07kWh

Suma potřeby tepla = 1.59kWh

***** INFORMACE O PROJEKTU *****
305 Technik

***** ZADANÉ PRVKY DO VÝPOČTU *****

Venkovní stěna

+----SO1 stena cihelna - Porotherm (7.245m², 0.45m, 0.23W/mK, 800kg/m³, 1000kJ/kgK)

+----okno - dvousklo, žaluzie vnitřní (2.25m², 1.3W/m²K)

Venkovní stěna

+----SO2 stena cihelna - Porotherm (15.254m², 0.45m, 0.23W/mK, 800kg/m³, 1000kJ/kgK)

Venkovní stěna

+----strecha (21.303m², 0.35m, 0.06W/mK, 1600kg/m³, 1000kJ/kgK)

Symetrická stěna

+----podlaha (21.303m², 0.35m, 0.25W/mK, 1600kg/m³, 1000kJ/kgK)

Další akumul. hmota

+----nábytek (20m², 100kg, 800kJ/kgK)

Asymetrická stěna

+----SV2 porotherm (7.595m², 0.3m, 0.3W/mK, 850kg/m³, 1000kJ/kgK)

***** VSTUPNÍ ÚDAJE *****

Výpočet proveden pro období od 21.7. do 21.7.

Časový krok: 300s

Objem místnosti : 61.103m³

Ve výpočtu bylo zavedeno:

Simulace oblačnosti: NE

Referenční rok:NE

Uvažován vliv sluneční radiace: ANO

Načtená klimatická data: NE

Osvětlení[1]: 8 - 16h, 30W

Větrání[1]: 8 - 16h, 100m³/h

Ostatní tepelné zdroje[1]: 8 - 16h, 400W

Odpar vody: NE

Biologická produkce[1]: 8 - 16h, 75kg, počet osob: 5

Sálavé plochy: NE

***** VÝSLEDKY *****

Maxima tepelné zátěže:

21.7. 6.58h: Citelné teplo Max= 1149.82W

21.7. 3.92h: Citelné teplo Min= -263.59W

21.7. 6.58h: Vázané teplo=0W Merna Tz = -1W/K

21.7. 6.58h: Potřeba chladu = 6.8kWh Potřeba tepla = 2.27kWh

Suma potřeby chladu = 6.8kWh

Suma potřeby tepla = 2.27kWh

| | | ZADANÉ HODNOTY | | VHODNĚNÉ HODNOTY | | PRIVOD | | ODVOD | |
|-------------------------------------|---------------------------|--|---------------------------|----------------------------|----------------------------|--------------------------------|---|--------------------------------|---------------------------|
| MÍSTNOST | | LETO | | ZIMA | | S/S | | W | |
| C. ZARIJENI | NÁZEV | PLDCHA(m ²) | OSBET(m ²) | VZD/OSOBA(m ²) | VZD/OSOBA(m ²) | VODNÍ ZISKY | VZD NA KRYTIT. ZISKU(m ³ /h) | CER. VZDUCH(m ³ /h) | LETDO F(°C) |
| C. ZARIJENI | MÍSTNOST | PLDCHA(m ²) | OSBET(m ²) | VZD/OSOBA(m ²) | VZD/OSOBA(m ²) | VODNÍ ZISKY | VZD NA KRYTIT. ZISKU(m ³ /h) | CER. VZDUCH(m ³ /h) | LETDO F(°C) |
| C. ZARIJENI | TEP. ZISKY | TEP. ZTR. | TEP. ZISKY | TEP. ZTR. | TEP. ZISKY | TEP. ZTR. | TEP. ZISKY | TEP. ZTR. | TEP. ZISKY |
| C. ZARIJENI | VÝMENA (h ⁻¹) | DODLEHENI (g/kges) | VÝMENA (h ⁻¹) | DODLEHENI (g/kges) | VÝMENA (h ⁻¹) | DODLEHENI (g/kges) | VÝMENA (h ⁻¹) | DODLEHENI (g/kges) | VÝMENA (h ⁻¹) |
| C. ZARIJENI | ZIMNA (t°C) | ZIMNA (t°C) | ZIMNA (t°C) | ZIMNA (t°C) | ZIMNA (t°C) | ZIMNA (t°C) | ZIMNA (t°C) | ZIMNA (t°C) | ZIMNA (t°C) |
| C. ZARIJENI | WZD (m ³ /h) | WZD (m ³ /h) | WZD (m ³ /h) | WZD (m ³ /h) | WZD (m ³ /h) | WZD (m ³ /h) | WZD (m ³ /h) | WZD (m ³ /h) | WZD (m ³ /h) |
| Zářízení 1 - Návrh tepelných výkonů | | Zářízení 2 - Klimatizace CITY MULTI VRF systém | | Zářízení 3 - SPULIT systém | | Zářízení 4 - Podlahové větrání | | | |
| 1 | | 101 ZASEDACÍ MÍSTNOST | | 32,55 94,395 | | 14 24 | | 22 1481,9 | |
| 102 | CHOZBA | 4,58 13,282 | 5 | 3x 26 | 19 | 1 1491,3 | 1 | 23 800 | 23 22 4x |
| 201 | DENNÍ MÍSTNOST | 19,09 55,361 | 5 | 4x 24 | 22 | 1 1706,3 | 1 | 0 23 22 3,5x | 0 23 22 1 50 |
| 202 | CHOZBA | 24,74 71,746 | 5 | 3x 26 | 19 | 1 1706,3 | 1 | 250 23 22 4,5x | 1 250 23 22 1 250 |
| 208 | ARCHIV | 14,985 43,556 | 5 | 1x 26 | 19 | 1 1737,3 | 1 | 400 23 22 3,5x | 1 250 23 22 1 250 |
| 301 | DENNÍ MÍSTNOST | 19,09 55,361 | 5 | 4x 24 | 22 | 1 1737,3 | 1 | 50 23 22 4,5x | 1 50 23 22 1 250 |
| 302 | CHOZBA | 24,74 71,746 | 5 | 3x 26 | 19 | 1 1737,3 | 1 | 250 23 22 3,5x | 1 250 23 22 1 250 |
| 308 | STROJOVNA | 18,32 53,331 | 5 | 1x 26 | 19 | 1 1737,3 | 1 | 450 23 22 3,5x | 1 50 23 22 1 250 |
| | | | | | | 1 23 22 3,5x | 1 23 22 3,5x | 1 23 22 3,5x | 1 23 22 3,5x |
| | | | | | | Σ= | 2200 | Σ= | 1550 |
| 2 | | 103 HLAVNÍ KANCELÁŘ | | 48,76 141,104 | | 14 50 | | 22 3967,5 | |
| 203 | RIS MANAGER | 19,26 55,854 | 5 | 50 24 | 22 | 1 1700,2 | 2 | 2 1217,8 | 2 1217,8 |
| 204 | REDITELKA | 22,13 61,177 | 2 | 50 24 | 22 | 1 1728,9 | 2 | 2 1027,8 | 2 1027,8 |
| 205 | OSOBNÝ PORADCA 1 | 21,07 61,103 | 5 | 50 24 | 22 | 1 1022,8 | 2 | 2 1033,9 | 2 1033,9 |
| 303 | OSOBNÝ PORADCA 2 | 19,26 55,854 | 5 | 50 24 | 22 | 1 1234,2 | 2 | 2 1234,2 | 2 1234,2 |
| 304 | ZÁSTUPCE ŘEDITELKY | 22,13 64,177 | 2 | 50 24 | 22 | 1 1837,4 | 2 | 2 1149,8 | 2 1149,8 |
| 305 | TECHNIK | 21,07 61,103 | 5 | 50 24 | 22 | 1 1837,4 | 2 | 2 1149,8 | 2 1149,8 |
| | | | | | | Σ= | 12158,4 | Σ= | 895,0 |
| 3 | | 207 SEVER | | 3,05 8,245 | | 1 22 | | 22 3000 | |
| | | | | | | 1 22 | 1 22 | 1 3000 | 1 3000 |
| | | | | | | Σ= | 3 | 3 | 3 |
| 4 | | 106 WC + SPRCHA | | 5,87 17,023 | | 4 50,150 | | 30 22 | |
| 107 | KUCHYNKA | 3,9 8,961 | 5 | 80 24 | 22 | 1 4 250 | 4 | 1 250 | 1 250 |
| 206 | WC | 5,87 17,023 | 5 | 2'50;30 24 | 20 | 1 4 100 | 4 | 1 100 | 1 100 |
| 306 | WC | 5,87 17,023 | 5 | 2'50;30 24 | 20 | 1 4 150 | 4 | 1 150 | 1 150 |

Tab.1 Tabulka se souhrnem výpočtů pro 1. a 2. variantu návrhu

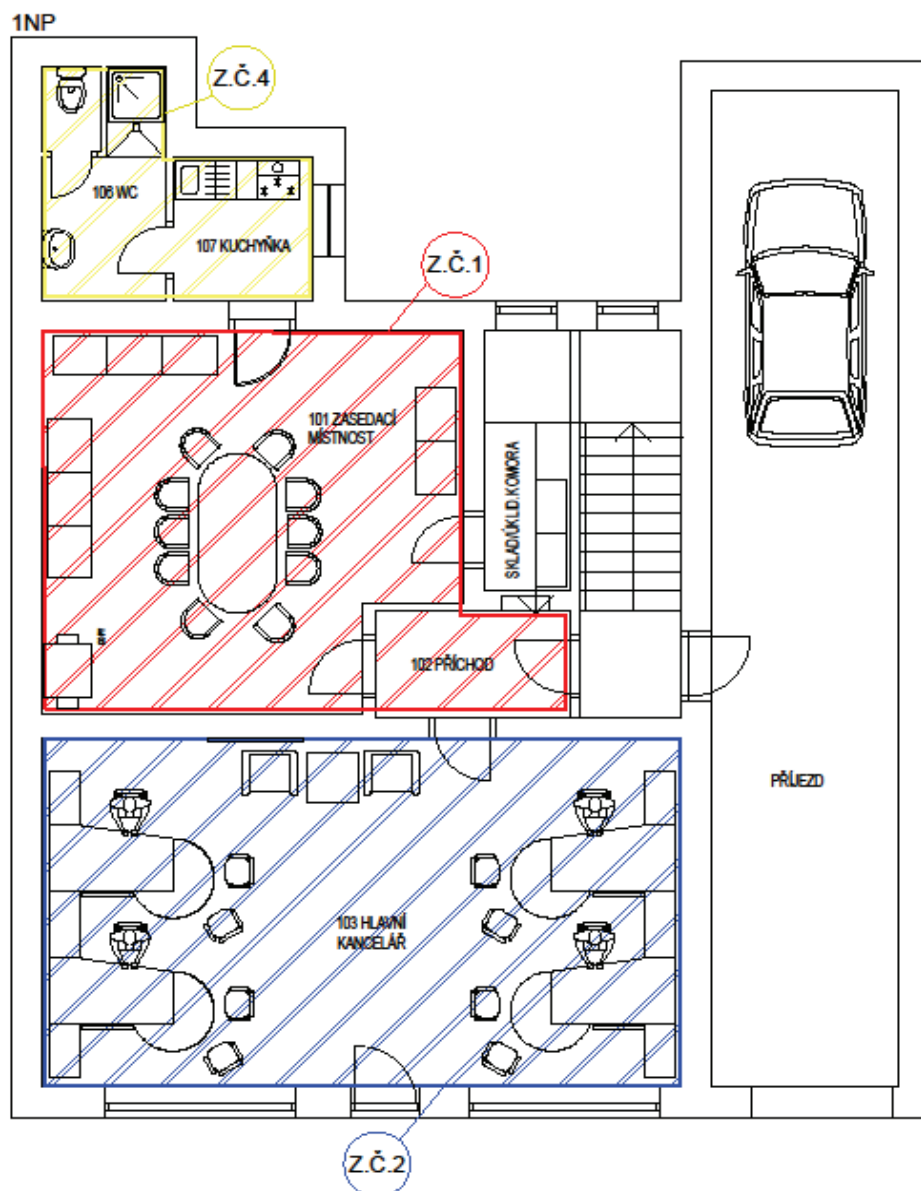
| MÍSTNOST | NAZEV | ZADANÉ HODNOTY | | VYPOČTENÉ HODNOTY | | VZD (m³/h) | VZD/KVYT T. ZISKU (m³/h) | GER. VZDUCH (m³/h) | LETÍ (t°C) | ZIMÁ (t°C) | VÝMEŇA (h⁻¹) | DVLHČENÍ (g/kg/s) | C.ZARIZENÍ | VZD (m³/h) | | |
|--|-----------------------|----------------|---------|-------------------|----|------------|--------------------------|--------------------|------------|------------|--------------|-----------------------------------|------------|-----------------------------------|-----|------|
| | | LETO | ZIMA | PRŮVOD | Δt | | | | | | | | | | | |
| Zářízení č.1 - Nutění teplovodivné větrání | | | | | | | | | | | | | | | | |
| 1 | 102 CHODBA | 4,58 | 13,282 | - | 3x | 26 | 19 | 1 | 0 | 23 | 22 | 3,5 | 1 | 59 | | |
| 202 CHODBA | | 24,74 | 71,746 | - | 3x | 26 | 19 | 1 | 0 | 400 | 23 | 22 | 3,5 | 1 | 250 | |
| 208 ARCHIV | | 14,985 | 43,516 | - | 1x | 26 | 19 | 1 | 0 | 50 | 23 | 22 | 3,5 | 1 | 50 | |
| 302 CHODBA | | 24,74 | 71,746 | - | 3x | 26 | 19 | 1 | 0 | 450 | 23 | 22 | 3,5 | 1 | 250 | |
| 308 ŠTROLOVNA | | 18,32 | 53,331 | - | 1x | 26 | 19 | 1 | 0 | 23 | 22 | 3,5 | 1 | 50 | | |
| | | | | | | | | | | | | | | $\Sigma = 659$ | | |
| Zářízení č.2 až 1 - Klimatizace CITY MULTI VRF systém + nutění teplovodivné větrání | | | | | | | | | | | | | | | | |
| 2+1 | 101 ZASEDALA MÍSTNOST | 32,55 | 94,395 | - | 4x | 24 | 22 | 1 | 1481,9 | 501,3 | 1 | 8 | 800 | 23 | 22 | 4x |
| 103 Hlavní kancelář | | 48,76 | 141,404 | 14 | 50 | 24 | 22 | 1 | 2761,6 | 1276,8 | 2 | 8 | 700 | 23 | 22 | x |
| 201 Denní místnost | | 19,09 | 55,361 | - | 4x | 24 | 22 | 1 | 1706,3 | 405,2 | 1 | 8 | 250 | 23 | 22 | 4,5x |
| 203 RISK MANAGER | | 19,26 | 55,854 | 5 | 50 | 24 | 22 | 1 | 956,9 | 745,9 | 2 | 8 | 250 | 23 | 22 | x |
| 204 ŘEDITELKA | | 22,13 | 64,177 | 2 | 50 | 24 | 22 | 1 | 1264,2 | 487,9 | 2 | 8 | 100 | 23 | 22 | x |
| 205 OSOBNÝ PORADCA 1 | | 21,07 | 61,103 | 5 | 50 | 24 | 22 | 1 | 706,6 | 498,3 | 2 | 8 | 250 | 23 | 22 | x |
| 301 Denní místnost | | 19,09 | 55,361 | - | 4x | 24 | 22 | 1 | 1757,3 | 514,7 | 1 | 8 | 250 | 23 | 22 | 4,5x |
| 303 OSOBNÝ PORADCA 2 | | 19,26 | 55,854 | 5 | 50 | 24 | 22 | 1 | 859,2 | 682,9 | 2 | 8 | 250 | 23 | 22 | x |
| 304 ZASTUPCE ŘEDITELKY | | 22,13 | 64,177 | 2 | 50 | 24 | 22 | 1 | 1478,5 | 539,2 | 2 | 8 | 100 | 23 | 22 | x |
| 305 TECHNIK | | 21,07 | 61,103 | 5 | 50 | 24 | 22 | 1 | 964,7 | 518,3 | 2 | 8 | 250 | 23 | 22 | x |
| | | | | | | | | | | | | $\Sigma = 3200$ | | $\Sigma = 2800$ | | |
| Zářízení č.3 - SPLIT systém | | | | | | | | | | | | | | | | |
| 3 | 207 SERVER | 3,05 | 8,845 | - | - | 22 | 22 | - | - | 3000 | - | 3 | - | - | - | 3 |

Tab.2 Tabulka pro 3. variantu – upraveny tepelné zátěže a větrání kanceláří

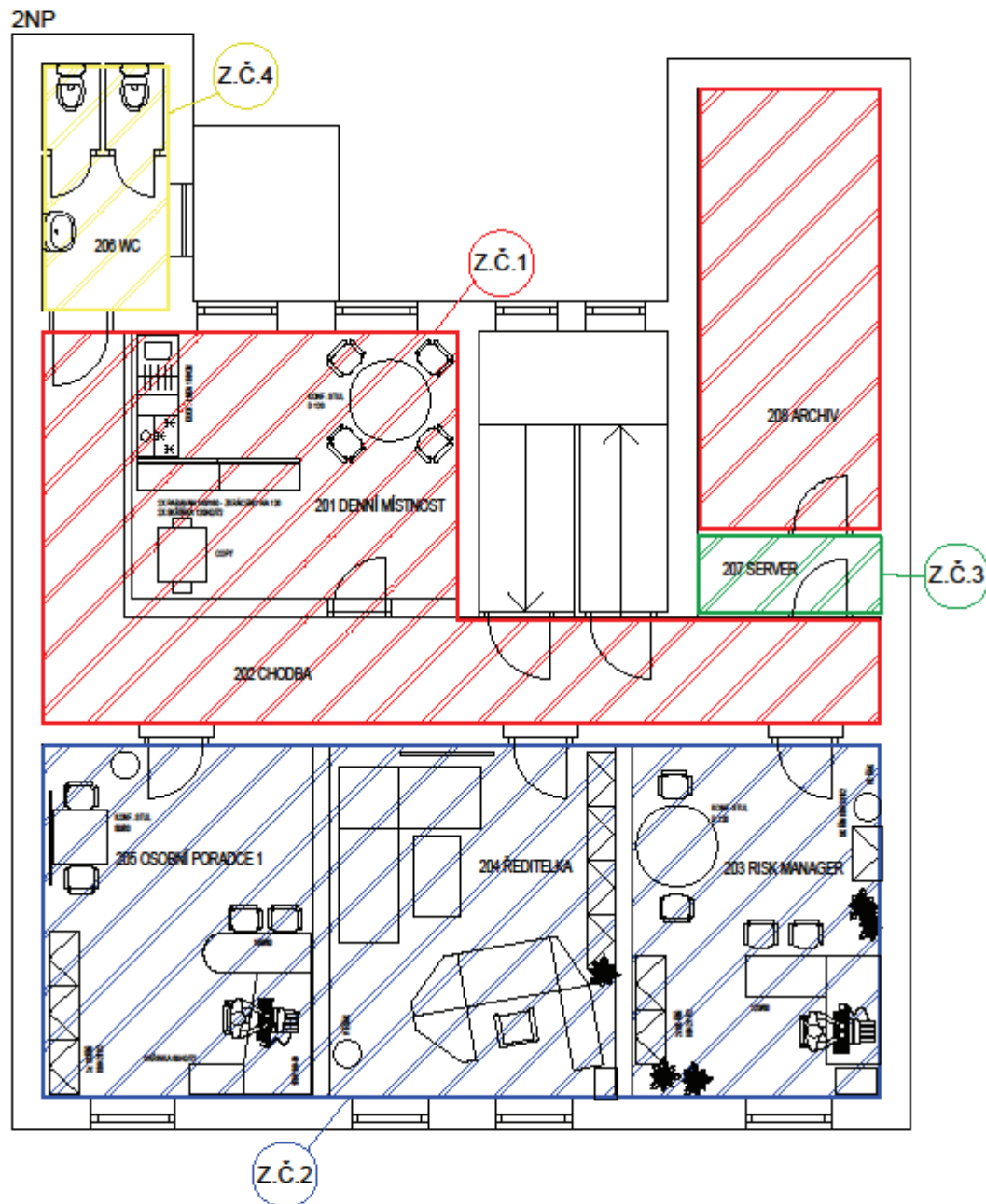
2. Rozdělení objektu

1. Varianta - rozdělení objektu 1NP pobočka banky

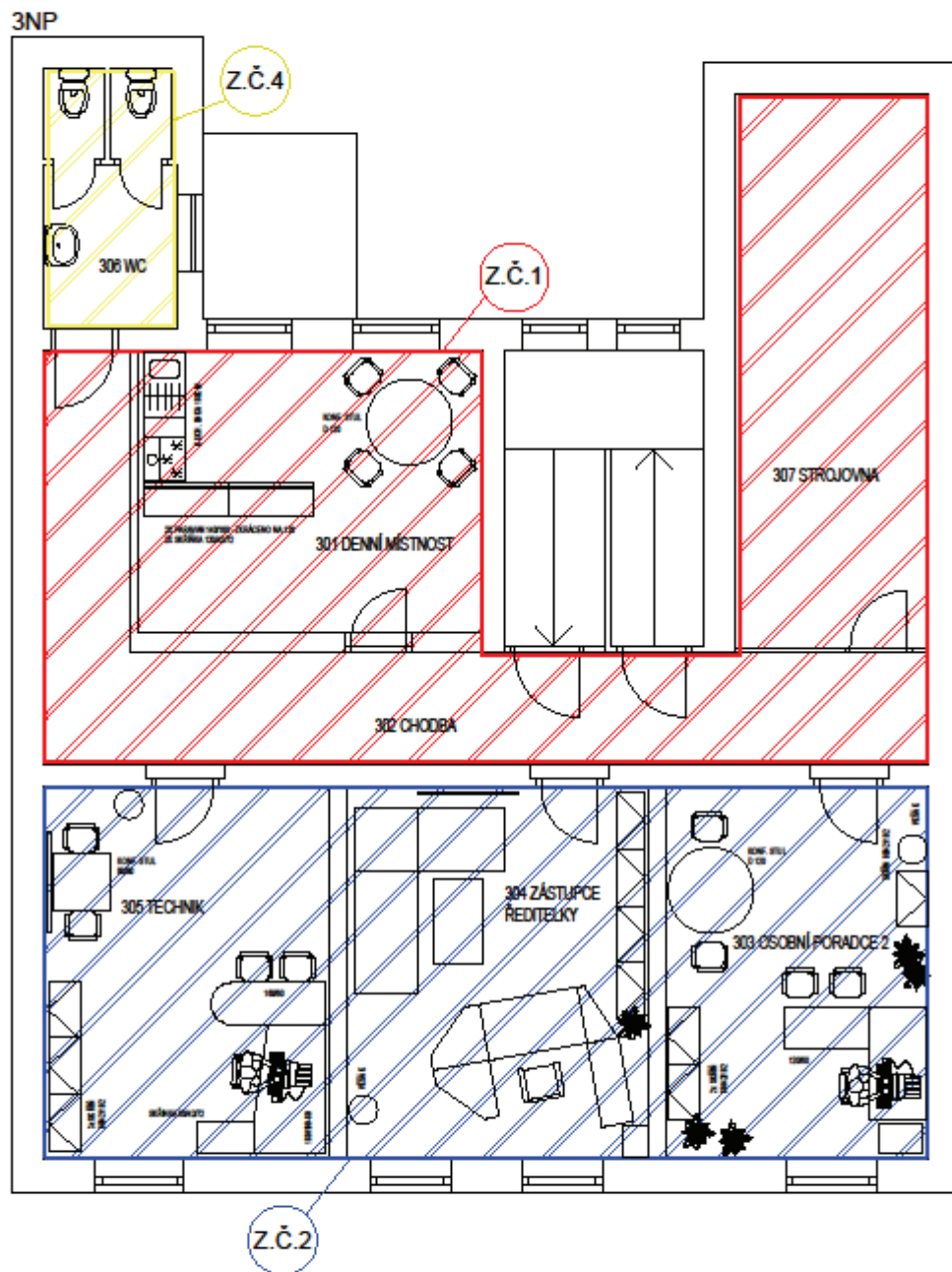
-rozdělení objektu pro 2. variantu je stejné jako pro první. Liší se pouze použitými (koncovými) vnitřními jednotkami VRF systému.



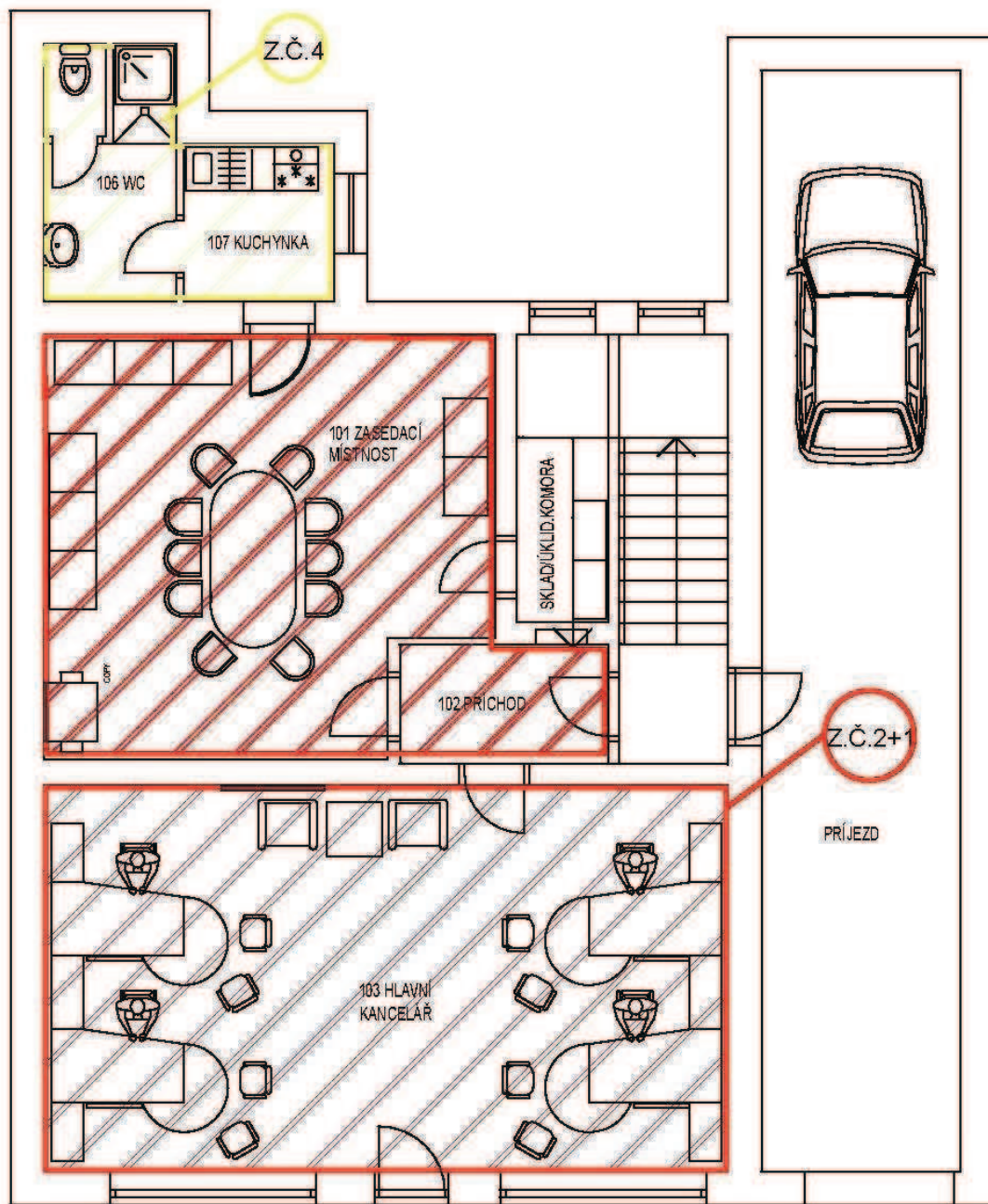
2NP pobočka banky



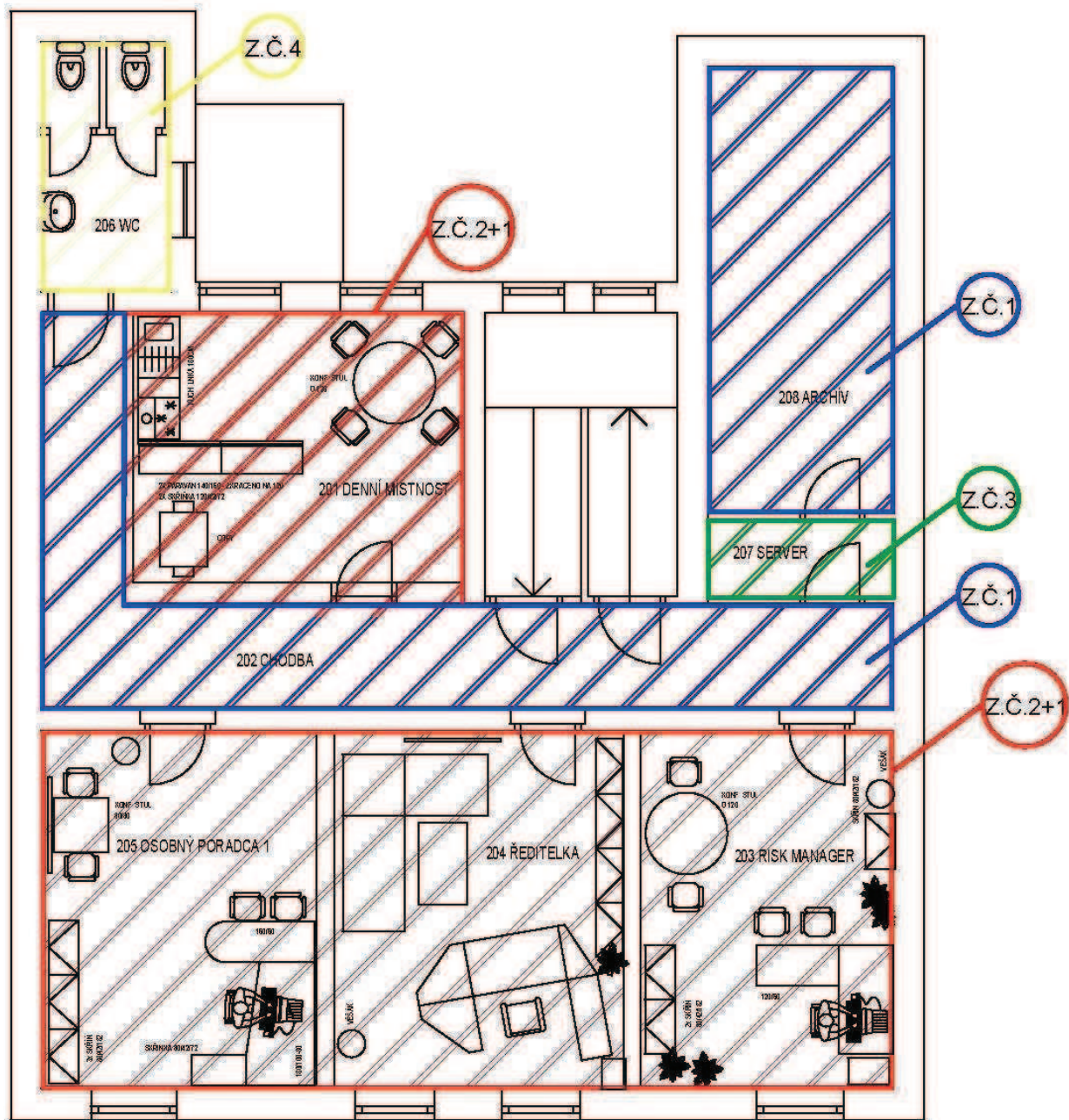
3NP pobočka banky



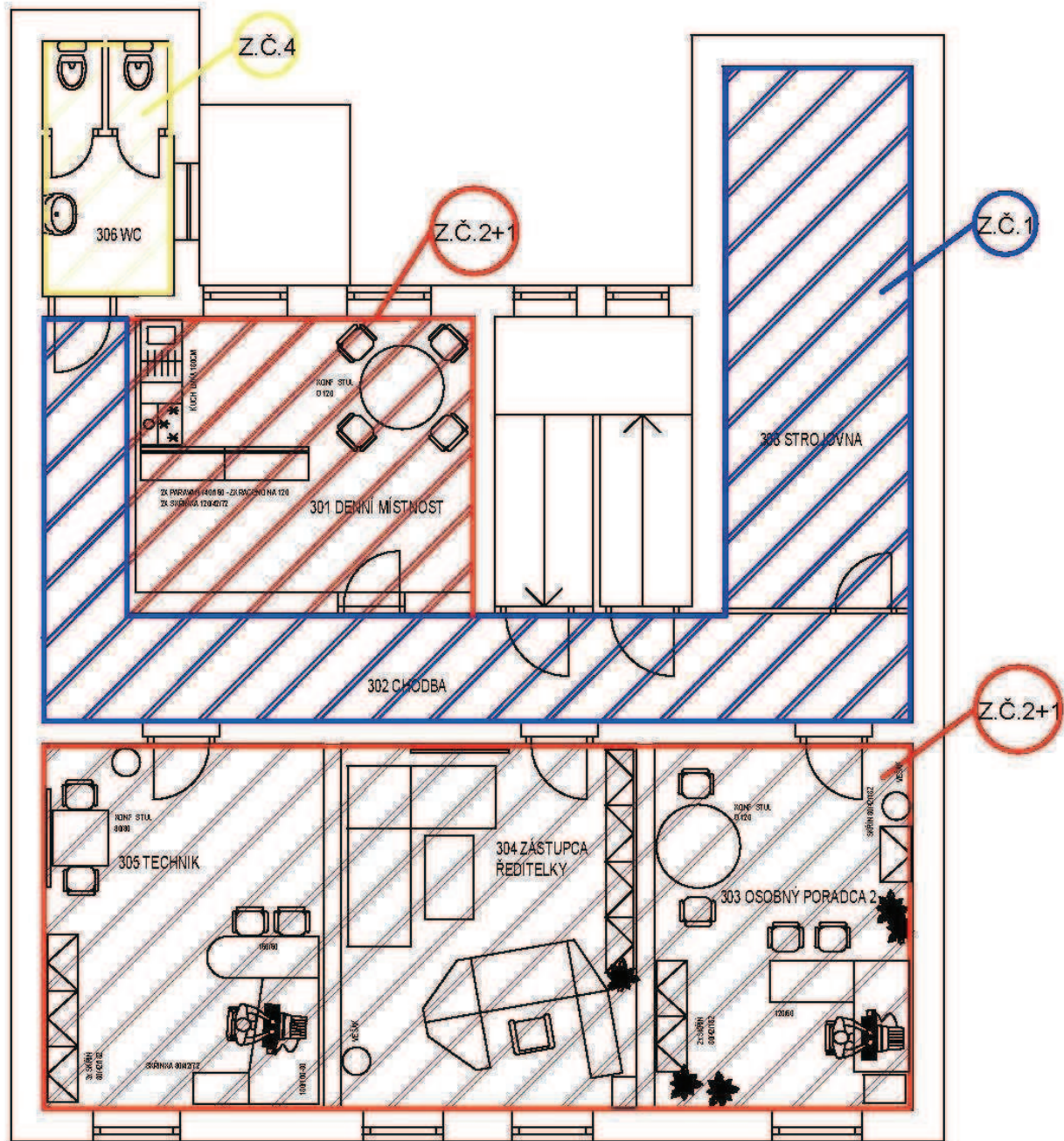
3. Varianta - rozdělení objektu 1NP pobočka banky



3. Varianta - rozdělení objektu 2NP pobočka banky

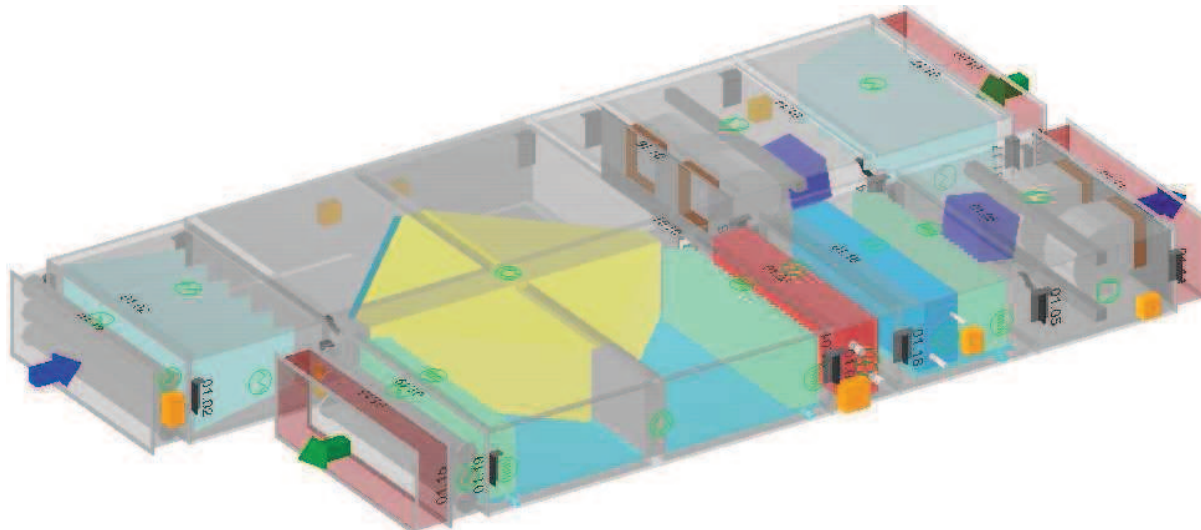


3. Varianta - rozdělení objektu 3NP pobočka banky



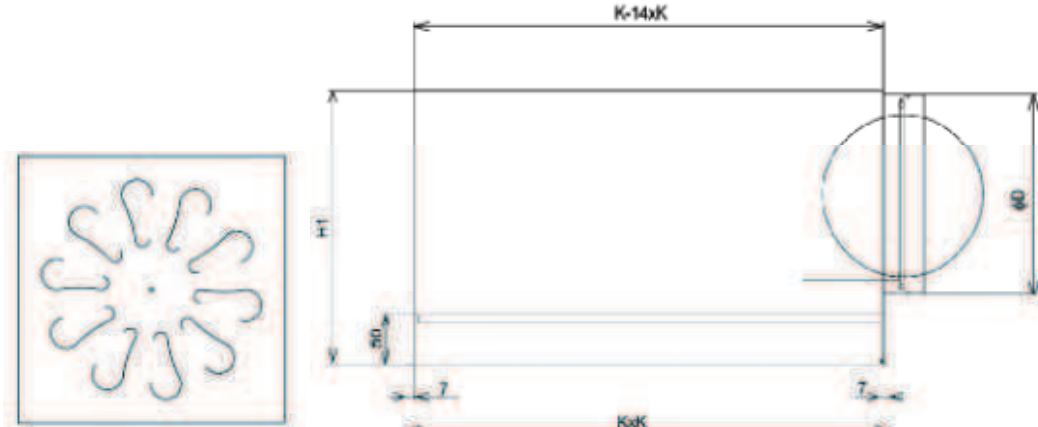
3. Použité systémy.

Pro zařízení číslo 1 (1. a 2. varianta řešení) – nucené teplovzdušné větrání je navrhnutá vzduchotechnická jednotka v podstropním provedení. Na návrh jsem použil návrhový software Aerocad. Zde je výstup jednotky, který jsem navrhnul pro první a druhou variantu pobočky banky. Ventilátory jsou navrhnuté na množství vzduchu $2200 \text{ m}^3/\text{h}$ (přívod) a $1550 \text{ m}^3/\text{h}$ (odvod). Výpočet tlakových ztrát jsem v diplomové práci neuváděl. Je součástí bakalářské práce. Jednotka je navrhнута на 178 Pa (přívod) a 180 Pa (odvod).



Obr. 24 Výstup programu Aerocad – podstropní vzduchotechnická jednotka

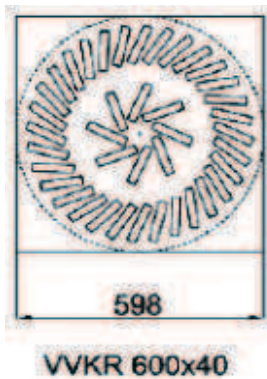
Jako distribuční elementy pro odvod vzduchu jsou použity vířivé anemostaty s pevnými lamelami.



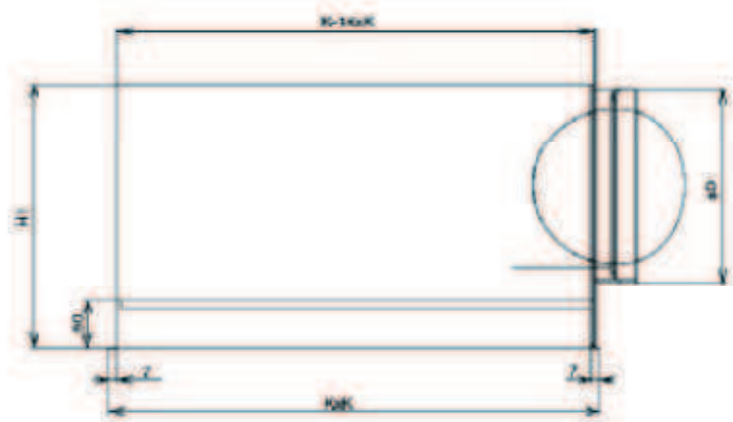
Obr. 25 Typ desky C

Obr. 26 Horizontální připojení

Pro přívod vzduchu jsem navrhnul vířivé anemostaty s přestavitelnými lamelami pro dosah proudu do 3m. Anemostaty s přestavitelnými lamelami jsou vhodné do prostor s výskytem osob, kde je nutné dodržet maximální rychlosť v pobytové zóně.

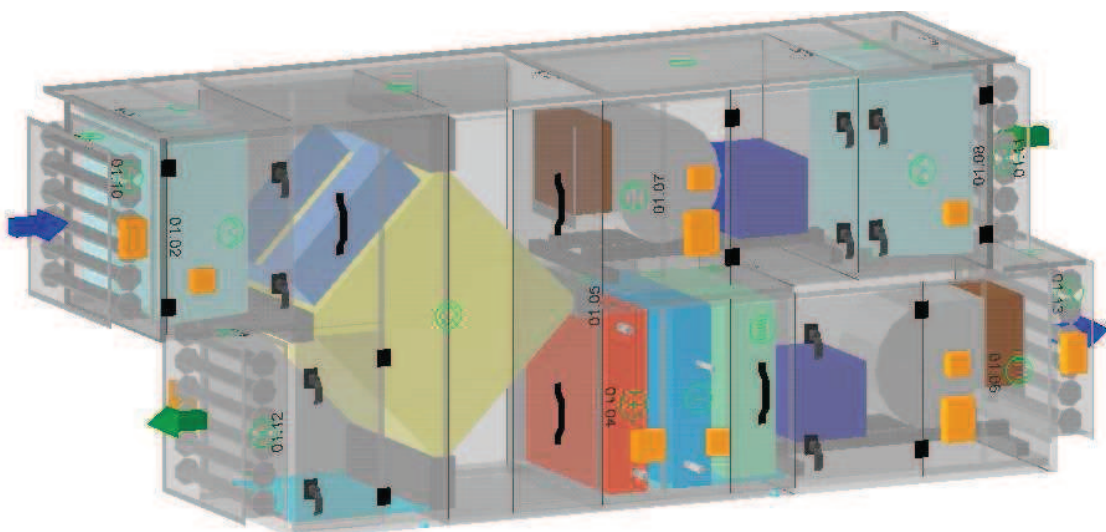


Obr. 27 Vířivá vyústka



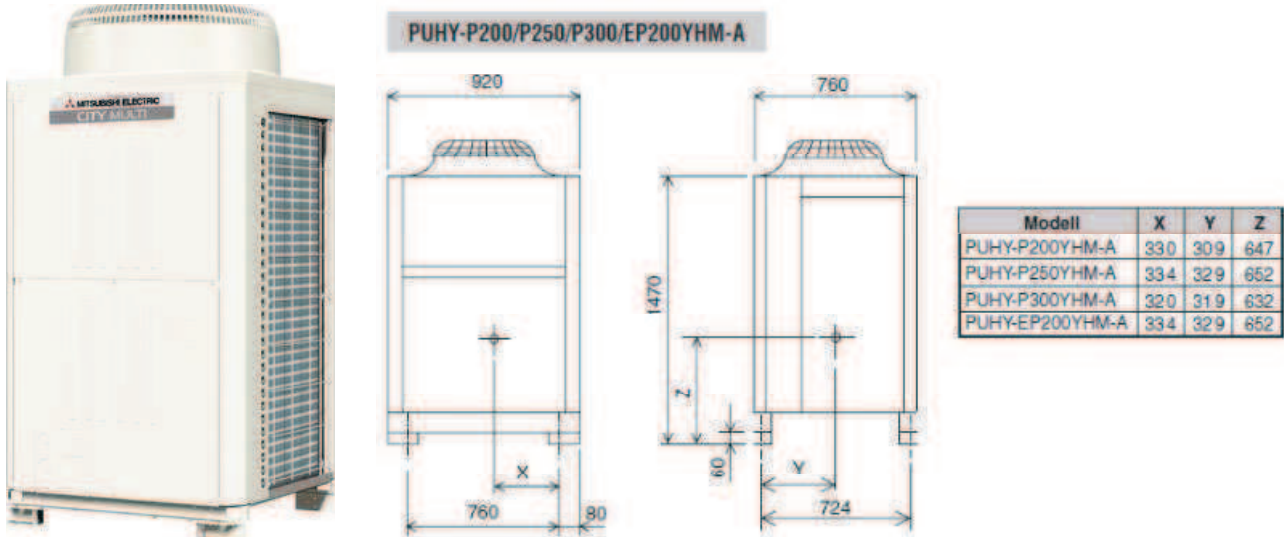
Obr. 28 Horizontální připojení

Pro 3. variantu je navrhnutá také vzduchotechnická jednotka od firmy REMAK pomocí programu Aerocad, ale je navržena na větší objemové průtoky a není v podstropním provedení (4100 m³/h přívod a 3450 m³/h odvod). Vzduchotechnická jednotka je umístěna na střeše objektu. Na rozdíl od předchozích 2 variant jsou kancelářské prostory větrány vzduchotechnickou jednotkou. Větrání okny je v daném řešení zakázané. Distribuční elementy zůstali stejné. Pro přívod je to vířivý anemostat s přestavitelnými lamelami a na odvod s pevnými lamelami.



Obr. 29 Vzduchotechnická jednotka ve venkovním provedení

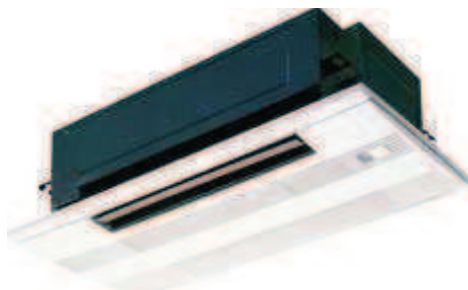
VRF systém v pobočce banky je od výrobce Mitsubishi Electric. Při návrhu systému jsem bral výpočet tepelných zátěží, dle kterých jsem navrhoval vnitřní jednotky. Hlavní byly tepelné zisky a ne tepelné ztráty, protože byli větší.



Obr. 30 Venkovní jednotka – PUHY P200YHM-A

Výkon jednotky v režimu chlazení je 22,4 kW a 25 kW v režimu topení. Topný faktor COP je 4,14 a chladící faktor EER je na úrovni 3,91 co udává výrobce. Venkovní jednotka VRF systému je umístěna na střeše objektu. Ve všech variantách jsou stejná, pouze se mění vnitřní jednotky.

Pro 1. variantu jsou použity jednocestné kazetové jednotky. Řešení jsem použil v bakalářské práci.



Obr. 31 1-cestní kazetová jednotka

V 2. variante jsou použity parapetní jednotky místo výše zmíněných kazetových jednotek. Výběr parapetních jednotek byl ovlivněn typem větrání v kancelářských prostorech. Pro větrání okny je vhodnější použití daných jednotek. Čerstvý vzduch je hned nasáván parapetní jednotkou a následně už upravený (ohřátý nebo ochlazený podle potřeby) posílan do prostoru. V místnostech, kde je nutné větrání a nevyužívají se okna k větrání jsou použity kazetové jednotky. Na obrázku níže je zobrazena parapetní jednotka VRF systému.



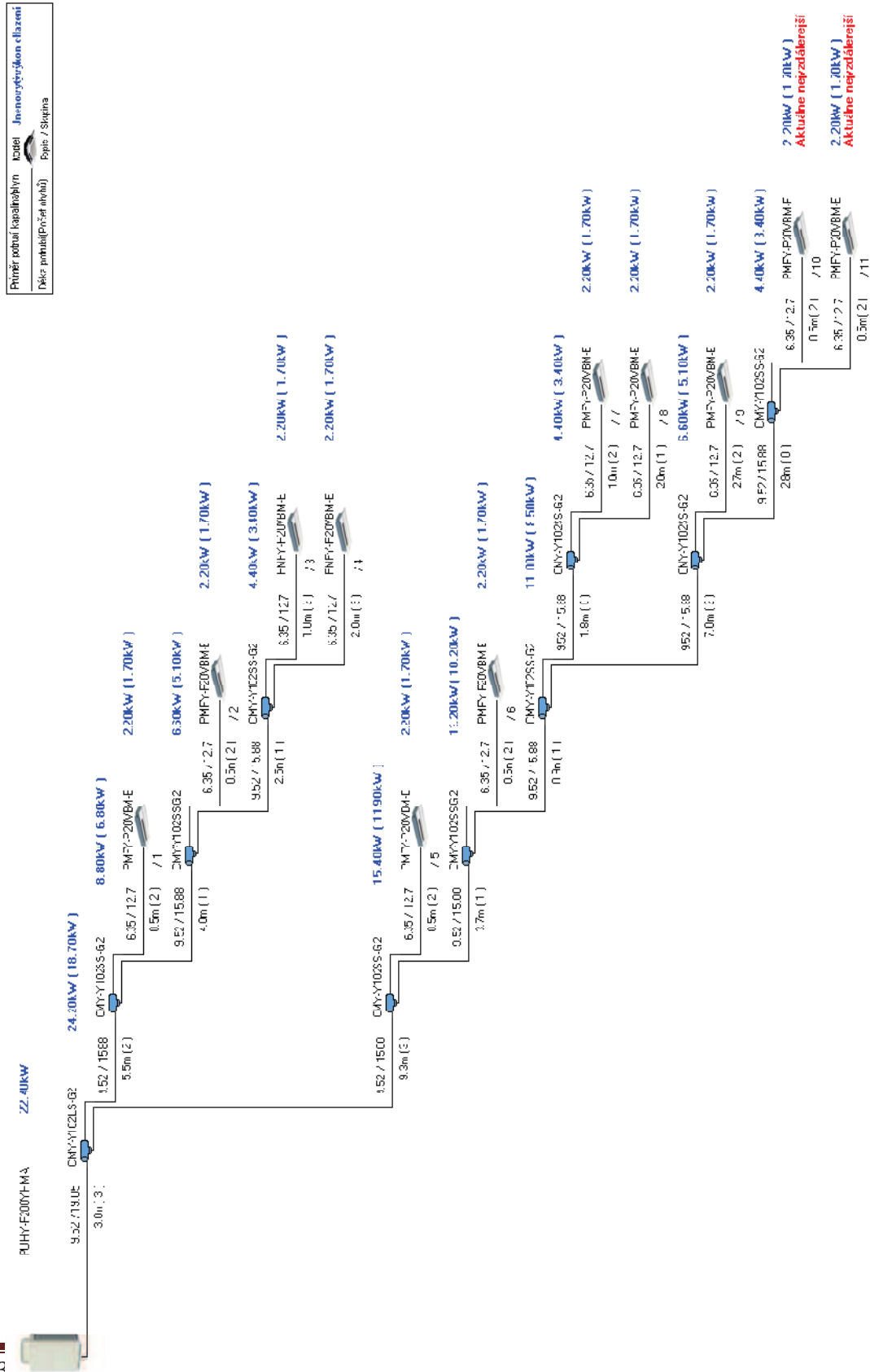
Obr. 32 Parapetní jednotka s opláštěním PFFY-P20VLEM-E

V 3. variante jsou použity stejné komponenty jak při první. Rozdíl je v rozdelení objektu na funkční celky a použité větrání. Místo již zmíněného větrání okny se používá nucené větrání pomocí vzduchotechnické jednotky.

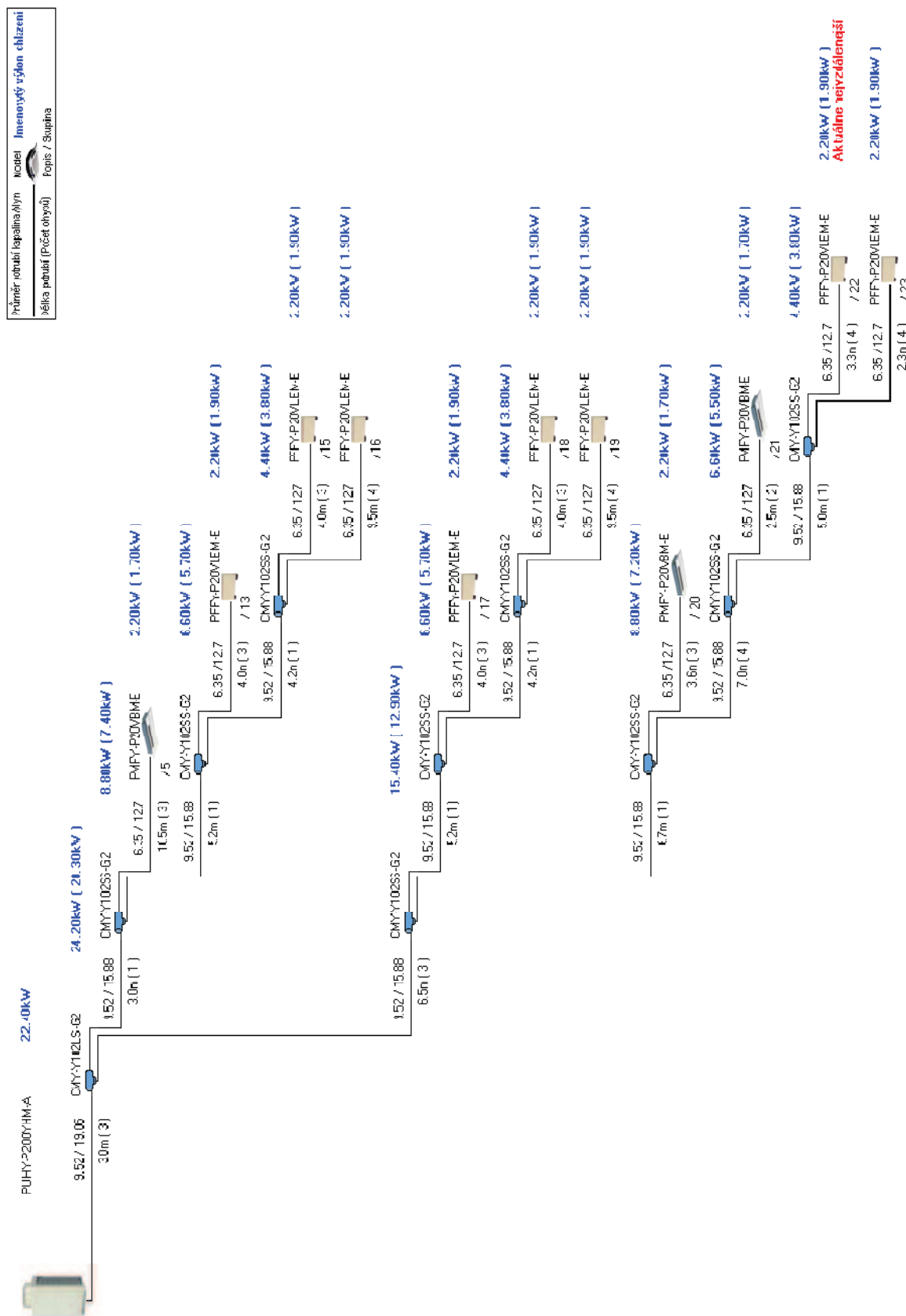
4. Modely

– 1. varianta VRF systému (kazetové jednotky)

-stejný model je také pro 3. variantu



Model – 2. varianta VRF systému (parapetní jednotky a kazetové jednotky)



5. Přibližné rozpočty pro jednotlivé varianty řešení pobočky banky

Všechny ceny jsou uváděny v českých korunách.

1. varianta

Nucené teplovzdušné větrání

| ozn. | Popis zařízení | Jednotka | Množství | Cena za jednotku | Cena celkem |
|------|--|----------|----------|------------------|-------------|
| 1.01 | VZT jednotka - skladba: uzavírací klapky, sekce filtru F5, deskový rekuperátor, ohřívač, chladič, sekce ventilátoru 2x, sekce filtru G4, tlumící vložky, difuzor | ks | 1 | 130000 | 130000 |
| 1.02 | Tlumič hluku kulisový THP 10 - 600x400 - 1500/3 | ks | 1 | 5254 | 5254 |
| 1.03 | Tlumič hluku kulisový THP 10 - 600x450 - 500/3 | ks | 1 | 3192 | 3192 |
| 1.04 | Tlumič hluku kulisový THP 10 - 600x400 - 1000/3 | ks | 1 | 4000 | 4000 |
| 1.05 | Tlumič hluku kulisový THP 10 - 650x450 - 1000/4 | ks | 1 | 4170 | 4170 |
| 1.06 | Požární klapka IMOS-PK-I-EIS90S-400x400-DV2 | ks | 3 | 5208 | 15624 |
| 1.07 | Vířivá výustka s prestavitevními lamelami PŘÍVOD VVKR-Q-P-H-1-Q-400x16 | ks | 6 | 2825 | 16950 |
| 1.08 | Plastový talířový ventil IT 100 PŘÍVOD | ks | 1 | 179 | 179 |
| 1.09 | Vířivá výustka s prestavitevními lamelami PŘÍVOD VVKR-Q-P-H-1-Q-600x40 | ks | 2 | 4645 | 9290 |
| 1.10 | Plastový talířový ventil odvodní VEF 125 ODVOD | ks | 2 | 180 | 360 |
| 1.11 | Vířivá výustka s pevnými lamelami ODVOD VVKN-E-Q-O-H-1-Q-400 | ks | 2 | 2610 | 5220 |
| 1.12 | Vířivá výustka s pevnými lamelami ODVOD VVKN-C-Q-O-H-1-Q-400 | ks | 2 | 2365 | 4730 |
| 1.13 | Vířivá výustka s pevnými lamelami ODVOD VVKN-A-Q-O-H-1-Q-300 | ks | 2 | 2160 | 4320 |
| 1.14 | Vířivá výustka s pevnými lamelami ODVOD VVKN-C-Q-O-H-1-Q-400 | ks | 2 | 2365 | 4730 |
| 1.15 | Požární klapka IMOS-PK-I-EIS90S-355x355-DV2 | ks | 2 | 5016 | 10032 |
| 1.16 | Požární klapka IMOS-PK-I-EIS90S-250x250-DV2 | ks | 1 | 4389 | 4389 |
| 1.17 | Protidešťová žaluzie PZ-AL 650x450-R2 S-RAL 6000 | ks | 1 | 2322 | 2322 |
| 1.18 | Výfuková hlavice VHH-2-500x450-S-NR | ks | 1 | 6020 | 6020 |
| 1.19 | Čtyřhranné ocelové potrubí sk. I do obdovu | | | | |
| | Do obv. 1050 / 20% tvar. dílů | bm | 56 | 424 | 23744 |
| | Do obv. 1500 / 10% tvar. dílů | bm | 17 | 618 | 10506 |
| | Do obv. 1890 / 10% tvar. dílů | bm | 28 | 838 | 23464 |
| | Do obv. 2200 / 10% tvar. dílů | bm | 5 | 1140 | 5700 |

| | | | | | |
|-------------------------------|---------------------------------------|----------------|------|------|--------|
| 1.20 | Ohebná hadice Sonoflex | | | | |
| | Ø250 | bm | 2,5 | 277 | 692,5 |
| | Ø200 | bm | 11,5 | 231 | 2656,5 |
| | Ø160 | bm | 2 | 195 | 390 |
| | Ø130 | bm | 2,5 | 160 | 400 |
| 1.21 | Regulační klapka IMOS-RK-200x355-S-P1 | ks | 2 | 1284 | 2568 |
| 1.22 | Regulační klapka IMOS-RK-355x355-S-P1 | ks | 1 | 1695 | 1695 |
| 1.23 | Regulační klapka IMOS-RK-400x200-S-P1 | ks | 1 | 1662 | 1662 |
| 1.24 | Regulační klapka IMOS-RK-400x250-S-P1 | ks | 2 | 1728 | 3456 |
| 1.25 | Regulační klapka IMOS-RK-400x400-S-P1 | ks | 1 | 2091 | 2091 |
| 1.26 | Regulační klapka IMOS-RK-250x200-S-P1 | ks | 2 | 1302 | 2604 |
| 1.27 | Regulační klapka IMOS-RK-250x355-S-P1 | ks | 1 | 1473 | 1473 |
| 1.28 | Regulační klapka IMOS-RK-250x250-S-P1 | ks | 1 | 1356 | 1356 |
| 1.29 | Tepelná izolace tl. 60mm | m ² | 5 | 168 | 840 |
| 1.30 | Tepelná izolace tl. 30mm | m ² | 45 | 107 | 4815 |
| 1.31 | Dveřní mřížka 325 x 85 mm | ks | 2 | 360 | 720 |
| 1.32 | Mřížka do zdi 525 x 225 mm | ks | 1 | 837 | 837 |
| 1.33 | Mřížka do zdi 825 x 125 mm | ks | 1 | 789 | 789 |
| 1.34 | Mřížka do zdi 525 x 125 mm | ks | 2 | 558 | 1116 |
| Celková suma za celé zařízení | | | | | 324357 |

VRF systém

| ozn. | Popis zařízení | Jednotka | Množství | Cena za jednotku | Cena celkem |
|-------------------------------|---|----------|----------|------------------|-------------|
| 2.01 | PUHY - P200YHM - A | ks | 1 | 230000 | 230000 |
| 2.02 | PMFY - P20VBM-E 1-cestná kaz. jednotka | ks | 11 | 18620 | 204820 |
| 2.03 | PAR-F27MEA+Timer | ks | 2 | 6000 | 12000 |
| 2.04 | PAR-FL31MA součást vnitřních jednotek | ks | 9 | 0 | 0 |
| 2.05 | Vedení chladiva 6/12 mm, chladivo R410A, tepelná izolace, komunikační vedení, svod kondenzátu. | bm | 12 | 980 | 11760 |
| 2.06 | Vedení chladiva 10/16 mm, chladivo R410A, tepelná izolace, komunikační vedení, svod kondenzátu. | bm | 38 | 1050 | 39900 |
| 2.07 | Vedení chladiva 10/18 mm, chladivo R410A, tepelná izolace, komunikační vedení, svod kondenzátu. | bm | 3 | 1130 | 3390 |
| 2.08 | Rám pro uložení venkovní jednotky | komplet | 1 | 2400 | 2400 |
| Celková suma za celé zařízení | | | | | 504270 |

2. varianta

Nucené teplovzdušné větrání

Rozpočet pro nucené větrání je stejný jako v první variantě.

VRF systém

| ozn. | Popis zařízení | Jednotka | Množství | Cena za jednotku | Cena celkem |
|-------------------------------|---|----------|----------|------------------|-------------|
| 2.01 | PUHY - P200YHM - A | ks | 1 | 230000 | 230000 |
| 2.02 | PFFY - P20VLEM-E parapetní jednotka | ks | 8 | 32999 | 263992 |
| 2.03 | PMFY - P20VBM-E 1-cestná kaz. jednotka | ks | 3 | 18620 | 55860 |
| 2.04 | PAR-F27MEA+Timer | ks | 2 | 6000 | 12000 |
| 2.05 | PAR-FL31MA součást vnitřních jednotek | ks | 9 | 0 | 0 |
| 2.06 | Vedení chladiva 6/12 mm, chladivo R410A, tepelná izolace, komunikační vedení, svod kondenzátu. | bm | 58 | 980 | 56840 |
| 2.07 | Vedení chladiva 10/16 mm, chladivo R410A, tepelná izolace, komunikační vedení, svod kondenzátu. | bm | 47 | 1050 | 49350 |
| 2.08 | Vedení chladiva 10/18 mm, chladivo R410A, tepelná izolace, komunikační vedení, svod kondenzátu. | bm | 3 | 1130 | 3390 |
| 2.09 | Rám pro uložení venkovní jednotky | komplet | 1 | 2400 | 2400 |
| Celková suma za celé zařízení | | | | | 673832 |

3. varianta

Nucené teplovzdušné větrání

| ozn. | Popis zařízení | Jednotka | Množství | Cena za jednotku [| Cena celkem |
|------|--|----------|----------|--------------------|-------------|
| 1.01 | VZT jednotka - skladba: uzavírací klapky, sekce filtru F5, deskový rekuperátor, ohřívač, chladič, sekce ventilátoru 2x, sekce filtru G4, tlumící vložky, difuzor | ks | 1 | 300000 | 300000 |
| 1.02 | Tlumič hluku kulisový THP 10 - 800x800 - 1500/4 | ks | 2 | 8772 | 17544 |
| 1.03 | Tlumič hluku kulisový THP 10 - 800x800 - 1000/4 | ks | 2 | 6650 | 13300 |
| 1.04 | Požární klapka IMOS-PK-I-EIS90S-500x500-DV2 | ks | 2 | 5940 | 11880 |
| 1.05 | Požární klapka IMOS-PK-I-EIS90S-400x400-DV2 | ks | 2 | 5208 | 10416 |
| 1.06 | Požární klapka IMOS-PK-I-EIS90S-350x350-DV2 | ks | 2 | 5016 | 10032 |
| 1.07 | Vířivá výustka s prestaviteľnými lamelami PŘÍVOD VVKR-Q-P-H-1-Q-400x16 | ks | 10 | 2825 | 28250 |
| 1.08 | Plastový talířový ventil IT 100 PŘÍVOD | ks | 1 | 179 | 179 |
| 1.09 | Vířivá výustka s prestaviteľnými lamelami PŘÍVOD VVKR-Q-P-H-1-Q-600x40 | ks | 4 | 4645 | 18580 |
| 1.10 | Plastový talířový ventil odvodní VEF 125 ODVOD | ks | 2 | 180 | 360 |
| 1.11 | Vířivá výustka s pevnými lamelami ODVOD VVKN-E-Q-O-H-1-Q-400 | ks | 6 | 2610 | 15660 |
| 1.12 | Vířivá výustka s pevnými lamelami ODVOD VVKN-C-Q-O-H-1-Q-400 | ks | 2 | 2365 | 4730 |
| 1.13 | Vířivá výustka s pevnými lamelami ODVOD VVKN-A-Q-O-H-1-Q-300 | ks | 4 | 2160 | 8640 |
| 1.14 | Vířivá výustka s pevnými lamelami ODVOD VVKN-C-Q-O-H-1-Q-400 | ks | 2 | 2365 | 4730 |
| 1.15 | Vířivá výustka s pevnými lamelami ODVOD VVKN-C-Q-O-H-1-Q-600 | ks | 2 | 3575 | 7150 |
| 1.16 | Vířivá výustka s prestaviteľnými lamelami PŘÍVOD VVKR-Q-P-H-1-Q-300x8 | ks | 2 | 2425 | 4850 |
| 1.17 | Protidešťová žaluzie PZ-AL 800x800-R1 S-RAL 6000 | ks | 2 | 3684 | 7368 |
| 1.18 | Čtyřhranné ocelové potrubí sk. I do obdovu | | | | |
| | Do obv. 1050 / 20% tvar. dílů | bm | 85 | 424 | 36040 |
| | Do obv. 1500 / 10% tvar. dílů | bm | 26 | 618 | 16068 |
| | Do obv. 1890 / 10% tvar. dílů | bm | 12 | 838 | 10056 |
| | Do obv. 2200 / 10% tvar. dílů | bm | 18 | 1140 | 20520 |
| | Do obv. 3200 / 10% tvar. dílů | bm | 14 | 1430 | 20020 |

| | | | | | |
|-------------------------------|---|----------------|-----|----------|--------|
| 1.19 | Ohebná hadice Sonoflex | | | | |
| | Ø250 | bm | 6,5 | 277 | 1800,5 |
| | Ø200 | bm | 26 | 231 | 6006 |
| | Ø160 | bm | 5 | 195 | 975 |
| | Ø130 | bm | 7 | 160 | 1120 |
| 1.20 | Regulační klapka IMOS-RK-355x355-S-P1 | ks | 1 | 1695 | 1695 |
| 1.21 | Regulační klapka IMOS-KK-160-S-P1 | ks | 3 | 690 | 2070 |
| 1.22 | Regulační klapka IMOS-RK-200x200-S-P1 | ks | 2 | 1140 | 2280 |
| 1.23 | Regulační klapka IMOS-RK-250x250-S-P1 | ks | 5 | 1356 | 6780 |
| 1.24 | Tepelná izolace tl. 60mm s oplechováním | m ² | 25 | 348 | 8700 |
| 1.25 | Tepelná izolace tl. 30mm | m ² | 95 | 107 | 10165 |
| 1.26 | Dveřní mřížka 325 x 85 mm | ks | 2 | 360 | 720 |
| 1.27 | Mřížka do zdi 525 x 225 mm | ks | 1 | 837 | 837 |
| 1.28 | Mřížka do zdi 825 x 125 mm | ks | 1 | 789 | 789 |
| 1.29 | Mřížka do zdi 525 x 125 mm | ks | 2 | 558 | 1116 |
| Celková suma za celé zařízení | | | | 611177,5 | |

VRF systém

Rozpočet pro VRF systém je stejný jak v první variantě daného řešení.

Souhrn

| | Nucené větrání | VRF systém | Spolu |
|--------------------|----------------|------------|-------------|
| 1. varianta | 324 357 | 504 270 | 828 627 |
| 2. varianta | 324 357 | 673 832 | 998 189 |
| 3. varianta | 611 177,5 | 504 270 | 1 115 447,5 |

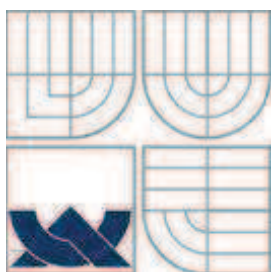
6. Závěr

Je zřejmé, že varianty bez nuceného větrání jsou při počátečních nákladech nižší než poslední varianta, která obsahuje větší VZT jednotku ve venkovním provedení. Když se ale hlavně zaměříme na komfort uživatele, tak je poslední možnost nejlepší. V letním období se oknem nepřivádí teplý vzduch přímo do místnosti, ale před distribucí se upraví ve VZT jednotce na teplotu 23 °C. V zimním období to je obdobné. Venkovní vzduch se ohřeje na teplotu 22 °C. Pro dosažení daných teplot se využívá elektrický ohřívač (zima) nebo vodní chladič (léto). Pro ekonomičtější provoz obsahuje vzduchotechnická jednotka rekuperátor se zpětným získáváním tepla.

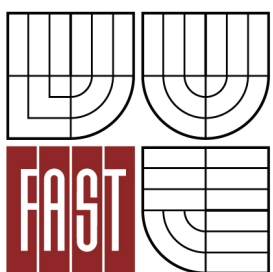
Při porovnání počátečních nákladů všech 3 variant jsem došel k závěru, že čím je provoz pro uživatele komfortnější, tím jsou ale i počáteční náklady a následný provoz vyšší. Zatím co jednotka VRF pracuje při 1. variante s příkonem kolem 3,95 kW (průměrná hodnota příkonu z experimentální části pro chladící výkon kolem 17,1 kW) a při 3. s příkonem 3,26 kW (chladící výkon kolem 13,9 kW). Vzduchotechnická jednotka při 1. variante pracuje s příkonem 6,81 kW v režimu chlazení a 17,81 kW v režimu topení. Zatím co navrhnutá jednotka pro vyšší průtok vzduchu má příkon v režimu chlazení 26,89 kW a 14,89 kW v režimu topení.

| | 1. varianta | 3. varianta |
|---|---------------------------------------|--|
| VRF systém (chlazení/ohřev) | 3,95 kW / 4,8 kW | 3,26 kW / 4,1 kW |
| VZT jednotka ventilátory | 2,81 kW | 3,89 kW |
| VZT jednotka (chlazení/ohřev) | 4 kW / 15 kW | 11 kW / 23 kW |
| Součet pro léto (chlazení) | 10,76 kW | 18,15 kW |
| Součet pro zimu (ohřev) | 22,61 kW | 30,99 kW |
| Odběr za 8h (chlazení/ohřev) | 86,08 kWh / 180,88 kWh | 145,2 kWh / 247,92 kWh |
| Propočet na Kč (chlazení/ohřev) 1 kWh/ 1,6Kč | 137,78 Kč chlazení 289,41 Kč ohřev | 232,32 Kč chlazení 396,672 Kč ohřev |

Jak je zřejmé i z tabulky, kde jsou zahrnuty příkony pro VRF systém a VZT jednotku, komfortnější provoz pro uživatele je i finančně i energeticky náročnější. Proto se i v praxi nepoužívají stále řešení, které větrání okny zcela nepoužívají. Hledá se varianta pro největší komfort uživatele a cena (jak na pořízení, tak i na následný provoz).



VYSOKÉ UČENÍ TECHNICKÉ V BRNĚ
BRNO UNIVERSITY OF TECHNOLOGY



FAKULTA STAVEBNÍ
ÚSTAV TECHNICKÝCH ZAŘÍZENÍ BUDOV
FACULTY OF CIVIL ENGINEERING
INSTITUTE OF BUILDING SERVICES

ENERGETICKÉ HODNOCENÍ SYSTÉMŮ VRF ČÁST C – EXPERIMENTÁLNÍ ŘEŠENÍ

DIPLOMOVÁ PRÁCE
MASTER'S THESIS

AUTOR PRÁCE
AUTHOR

Bc. JURAJ GAŠPÁR

VEDOUCÍ PRÁCE
SUPERVISOR

doc. Ing. ALEŠ RUBINA, Ph.D.

BRNO 2013

1. Úvod do experimentu

Cílem experimentálního měření dané diplomové práce bylo energeticky zhodnotit systém VRF na konkrétní budově. Jedná se o centrální budovu firmy Mitsubishi Electric v Pardubicích. V dané stavbě jsou použity 2 systémy: jednotky typu R2 pro 1. podlaží a jednotky typu Y pro 2. a 3. podlaží. V jednotlivých místnostech jsou instalovány kazetové jednotky (jednocestné, dvoucestné nebo čtyřcestné) různých velikostí podle tepelné zátěže.

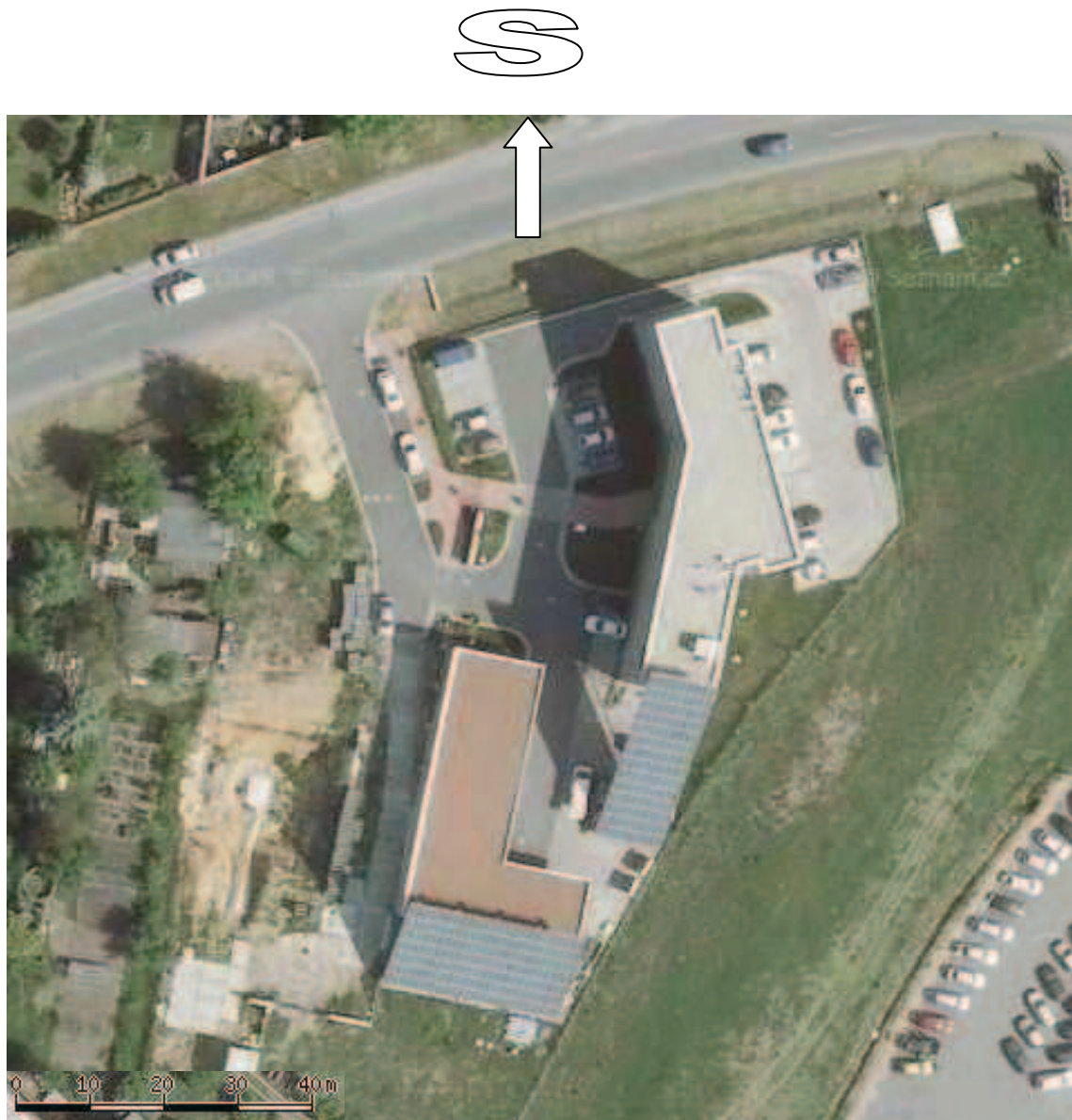
Hlavním úkolem bylo zpracovat naměřené data z venkovní jednotky a porovnat je s údajem od výrobce. Výsledkem experimentálního řešení teda spočívalo ověřit údaje při běžném provozu jednotky v režime chlazení v letním období a režim topení v zimním. Data poskytla firma M-tech s.r.o.. Údaje se shromaždovali od 19. 3. 2011 do 19. 3. 2012 s určitými přestávkami, kdy měření neprobíhalo.



Obr. 33 Pohled na západní fasádu objektu

2. Analýza objektu

Měření bylo provázeno na konkrétní stavbě v Pardubicích. Jde o novostavbu s převážně kancelářskými prostory. Orientace budovy je zakreslena na výřezu z mapy.



Obr. 34 Výřez z mapy (mapy.cz) s naznačenou orientací na světové strany

Kancelářské prostory jsou převážně orientovány na západní stranu ve všech třech patrech. Na východní fasádu je situované převážně hygienické zázemí budovy.

3. Skladba obvodových a vnitřních konstrukcí:

1. skladba - vnitřní příčky

| Materiál | Tloušťka [mm] |
|-------------------------------------|---------------|
| mobilní příčky s povrchovou úpravou | 100 |

2. skladba - obvodové zdivo

| Materiál | Tloušťka [mm] |
|----------------------------------|---------------|
| fasádní stěnový sendvičový panel | 100 |
| zdivo z cihel Hodotherm 25 P+D | 250 |
| omítka | 10 |

3. skladba - obvodové zdivo - jižní část (pod fotovoltaickými panely)

| Materiál | Tloušťka [mm] |
|----------------------------------|---------------|
| fasádní stěnový sendvičový panel | 100 |
| tepelná izolace | 150 |
| zdivo z cihel Hodotherm 25 P+D | 250 |
| omítka | 10 |

4. Analýza použitého systému VRF

V objektu jsou použity 2 systémy CITY MULTI VRF. R2-série systém v 1. podlaží a Y-série systém v 2. a 3. podlaží. V experimentálním měření jsem se zabýval 2. podlažím a systémem Y, který je vhodnější pro danou budovy na rozdíl od systému R2. Použitý Y systém je dvoutrubkový, v režimu topení/chlazení lze kombinovat až 50 vnitřních jednotek jakéhokoli konstrukčního provedení v jednom chladícím okruhu. Velký výběr z vnitřních jednotek které lze kombinovat s daným systémem a neomezené možnosti ovládání jsou velkou výhodou. Možnost nastavit vnitřní mikroklima pro jednotlivé místnosti samostatně ocení každý uživatel.

Venkovní jednotky Y-série se pohybují v rozmezí 11,2 kW až do 140 kW. Hodnota výkonů všech připojených vnitřních jednotek se může pohybovat v rozmezí 50% až 130%. Za určitých podmínek je možné dosáhnout až 200% výkonu.

Použitý systém a komponenty v 2. NP

Venkovní jednotka – PUHY-EP250-YHM-A - 1ks



Obr. 35 Venkovní jednotky systému CITY MULTI VRF, zleva: PUHY-EP300-YHM-A (3.NP), **PUHY-EP250-YHM-A (2.NP)** a PURY-EP250-YHM-A (1.NP, R2 systém)

Umístění: na kovovém roště 150 mm nad terénem, odstup od objektu je 650mm pro možný pohyb osob a přístup k jednotkám k zadní straně. Minimální požadavek na odstup od zdi je 300mm pro dostatečné množství nasávaného vzduchu.

- Vnitřní jednotky
- vnitřní dvoucestná kazetová jednotka PLFY-P25 VLMD - 7ks
 - vnitřní dvoucestná kazetová jednotka PLFY-P40 VLMD - 1ks
 - vnitřní dvoucestná kazetová jednotka PLFY-P50 VLMD - 1ks



Obr. 36 Vnitřní dvoucestná kazetová jednotka PLFY-P25 VLMD, osazena v sádrokartonovém podhledu spolu s osvětlením a přívodním ventilem

Ovládání systému – centrální ovladač AG 150



Obr. 37 Centrální ovladač AG 150

Ve 2.NP v kancelářských a shromažďovacích prostorech na výměnu vzduchu je použita potrubní rekuperační vzduchotechnická jednotka LGH 100. Místnost se serverem 207 má vlastní systém s venkovní jednotkou PUHZ-RP50VHA a vnitřní nástenní klimatizační jednotkou PKA-RP50.

5. Popis funkce systému

Navrhnutý systém Y pracuje v 2 režimech. V letním období v režimu chlazení a v zimním období v režimu topení. Souběžný chod obou režimu daný systém neumožňuje (R2 systém funguje právě na daném principu).

Nadřazeným ovládacím systémem je centrální jednotka AG 150, která umožňuje každé vnitřní jednotce přiradit vlastní adresu k identifikaci a následnému ovládání. V provozní době je na centrálním ovladači nastavena teplota vnitřního vzduchu na $20^{\circ}\text{C} \pm 2^{\circ}\text{C}$ v zimě a $24^{\circ}\text{C} \pm 2^{\circ}\text{C}$. V letním období je povolen pouze režim chlazení a v zimním topení. Důvodem je, aby nedocházelo k pádu systému, případně k neefektivnímu užívání hlavně v přechodném období. Kanceláře jsou přetlakově větrány rekuperační jednotkou Loosnay.

Provozní parametry pro měřenou venkovní kondenzační jednotku jsou pro chlazení od -15°C až do 43°C a pro topení -20°C až $15,5^{\circ}\text{C}$. Opatřena je taky proti namrzání kondenzátoru.

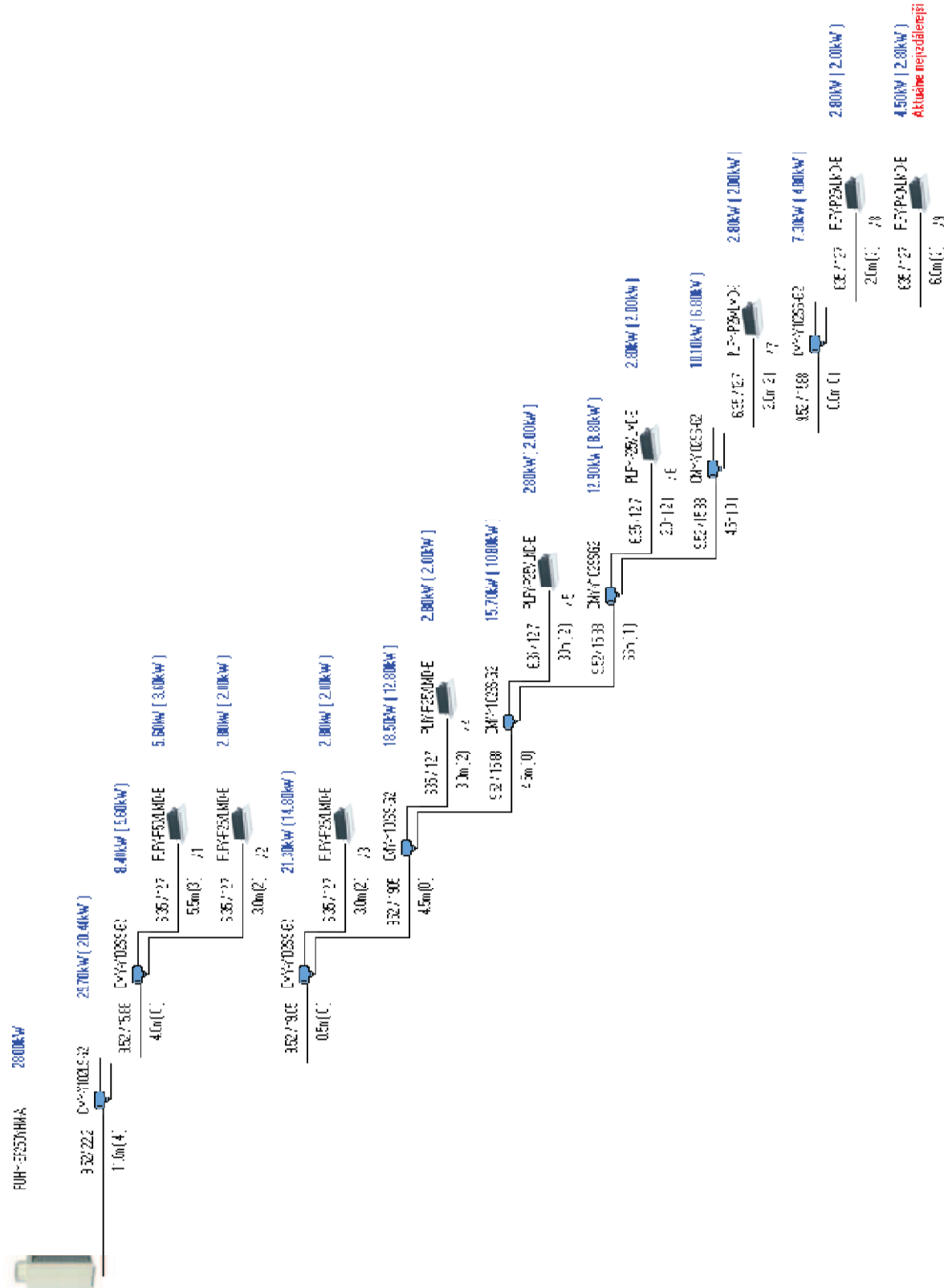
6. Data**Předmět experimentu – energetické hodnocení systému VRF**

Na základě spočítaných tepelných zátěží v letním období pro den 22. 8. 2012.

| Místnost | 210 | 212 | 213 | 214 | 215 | 216 | 217 | 218 | 219 | Qcelkem |
|-----------------|---------|---------|---------|---------|---------|---------|---------|---------|---------|----------|
| 22.8.2011 0:00 | 4,67 | -60,59 | -60,59 | -60,59 | -60,59 | -60,59 | -57,32 | -57,32 | 3,56 | -409,35 |
| 22.8.2011 1:00 | 15,86 | -58,30 | -58,30 | -58,30 | -58,30 | -58,30 | -57,32 | -57,32 | 10,93 | -379,37 |
| 22.8.2011 2:00 | 9,98 | -68,66 | -68,66 | -68,66 | -68,66 | -68,66 | -69,75 | -69,75 | 1,92 | -470,92 |
| 22.8.2011 3:00 | 8,74 | -68,24 | -68,24 | -68,24 | -68,24 | -68,24 | -70,62 | -70,62 | -0,87 | -474,56 |
| 22.8.2011 4:00 | 2,01 | -64,51 | -64,51 | -64,51 | -64,51 | -64,51 | -66,73 | -66,73 | -6,42 | -460,41 |
| 22.8.2011 5:00 | -11,03 | -56,93 | -56,93 | -56,93 | -56,93 | -56,93 | -56,98 | -56,98 | -14,73 | -424,37 |
| 22.8.2011 6:00 | 126,62 | 92,59 | 92,59 | 92,59 | 92,59 | 92,59 | 91,32 | 91,32 | 122,98 | 895,17 |
| 22.8.2011 7:00 | 1965,87 | 971,93 | 971,93 | 971,93 | 971,93 | 971,93 | 1010,08 | 1010,08 | 1805,87 | 10651,54 |
| 22.8.2011 8:00 | 2136,86 | 1147,61 | 1147,61 | 1147,61 | 1147,61 | 1147,61 | 1162,28 | 1162,28 | 1953,74 | 12153,20 |
| 22.8.2011 9:00 | 2215,20 | 1230,38 | 1230,38 | 1230,38 | 1230,38 | 1230,38 | 1218,84 | 1218,84 | 2006,21 | 12810,98 |
| 22.8.2011 10:00 | 2337,79 | 1356,62 | 1356,62 | 1356,62 | 1356,62 | 1356,62 | 1324,67 | 1324,67 | 2108,67 | 13878,90 |
| 22.8.2011 11:00 | 2370,79 | 1392,75 | 1392,75 | 1392,75 | 1392,75 | 1392,75 | 1352,89 | 1352,89 | 2134,00 | 14174,33 |
| 22.8.2011 12:00 | 2356,83 | 1378,79 | 1378,79 | 1378,79 | 1378,79 | 1378,79 | 2114,11 | 2114,11 | 2895,22 | 16374,22 |
| 22.8.2011 13:00 | 2551,90 | 1575,69 | 1575,69 | 1575,69 | 1575,69 | 1575,69 | 2612,46 | 2612,46 | 3391,89 | 19047,17 |
| 22.8.2011 14:00 | 3126,23 | 2150,54 | 2150,54 | 2150,54 | 2150,54 | 2150,54 | 2875,67 | 2875,67 | 3654,62 | 23284,85 |
| 22.8.2011 15:00 | 3598,71 | 2622,50 | 2622,50 | 2622,50 | 2622,50 | 2622,50 | 2911,41 | 2911,41 | 3690,85 | 26224,89 |
| 22.8.2011 16:00 | 3739,87 | 2759,31 | 2759,31 | 2759,31 | 2759,31 | 2759,31 | 2640,71 | 2640,71 | 3427,54 | 26245,39 |
| 22.8.2011 17:00 | 3424,08 | 2439,82 | 2439,82 | 2439,82 | 2439,82 | 2439,82 | 2092,73 | 2092,73 | 2893,75 | 22702,38 |
| 22.8.2011 18:00 | 924,93 | 881,78 | 881,78 | 881,78 | 881,78 | 881,78 | 563,68 | 563,68 | 605,22 | 7066,42 |
| 22.8.2011 19:00 | 89,49 | 40,87 | 40,87 | 40,87 | 40,87 | 40,87 | 41,74 | 41,74 | 88,17 | 465,48 |
| 22.8.2011 20:00 | 73,00 | 21,99 | 21,99 | 21,99 | 21,99 | 21,99 | 22,87 | 22,87 | 71,00 | 299,71 |
| 22.8.2011 21:00 | 53,23 | 1,82 | 1,82 | 1,82 | 1,82 | 1,82 | 2,70 | 2,70 | 50,54 | 118,25 |
| 22.8.2011 22:00 | 36,90 | -18,52 | -18,52 | -18,52 | -18,52 | -18,52 | -14,87 | -14,87 | 36,68 | -48,76 |
| 22.8.2011 23:00 | 21,65 | -37,94 | -37,94 | -37,94 | -37,94 | -37,94 | -31,08 | -31,08 | 24,52 | -205,67 |
| 23.8.2011 0:00 | 12,18 | -50,02 | -50,02 | -50,02 | -50,02 | -50,02 | -44,68 | -44,68 | 13,48 | -313,83 |

Z daného výpočtu tepelných zátěží je nejnepříznivější doba mezi 15. a 16. hodinou. Tepelná zátěž se pohybuje kolem 26,3 kW. Podle tepelných bilancí jednotlivých místností se navrhli vnitřní kazetové jednotky. Místnost 210 jednotka P50, P40 do místnosti 219 a P25 do kanceláří. Venkovní jednotka je navrhnutá na chladící výkon 28 kW. Kapacita vnitřních jednotek je 106% výkonu venkovní jednotky, co ale v daném systému není problém, protože je možné jít až do 130% výkonu venkovní jednotky. Pro dimenzování potrubí a kontrolu systému byl použit software CITY MULTI Design Tool. Výstupem je schéma jednotek, dimenze potrubí, tabulka s množstvím chladiva pro doplnění a popis T odboček.

7. Model

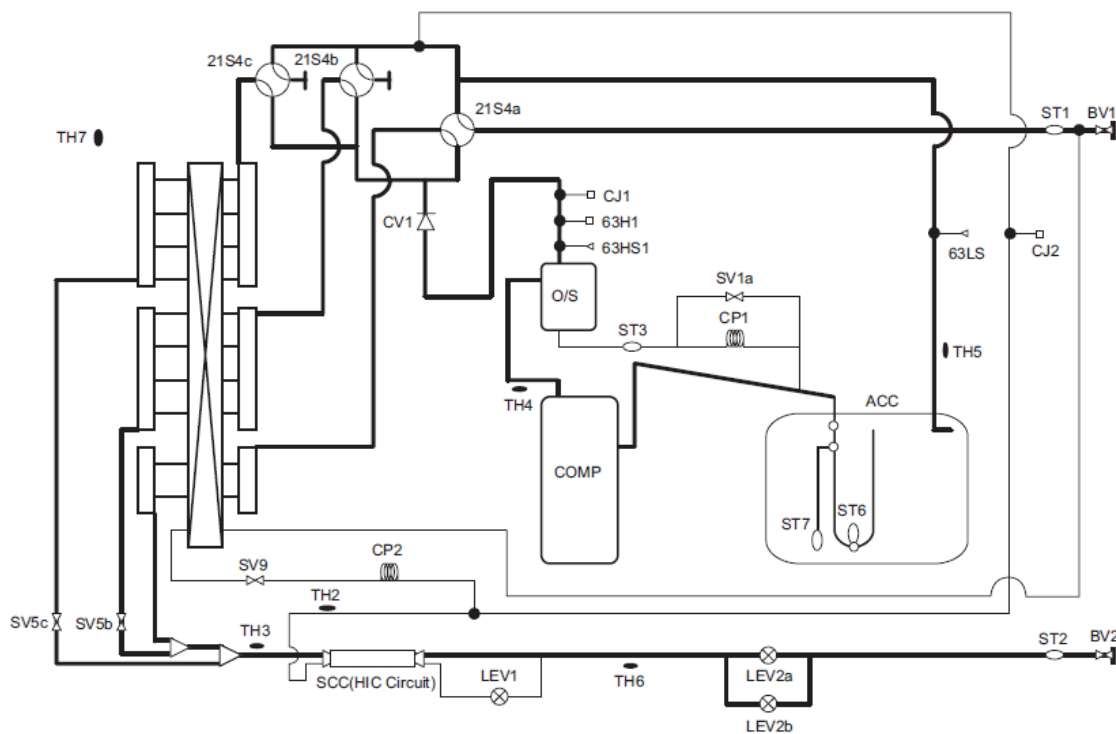


Obr. 38 Výstup z programu CITY MULTI Design Tool – 2.NP

8. Vybrané údaje venkovní jednotky – podklady výrobce

| Model | | PUHY-EP250YHM-A(-BS) | |
|--|--------------------------------|---|--|
| Power source | | 3-phase 4-wire 380-400-415V 50/60Hz | |
| Cooling capacity (Nominal) | *1 kW | | 28.0 |
| | *1 kcal / h | | 24,100 |
| | *1 Btu / h | | 95,500 |
| | *2 kcal / h | | 25,000 |
| | Power input kW | | 6.82 |
| | Current input A | | 11.5-10.9-10.5 |
| | COP (kW / kW) | | 4.10 |
| Temp. range of cooling | Indoor W.B. | 15 to 24degC (59 to 75degF) | |
| | Outdoor D.B. | -5 to 43degC (23 to 109degF) | |
| Heating capacity (Nominal) | *3 kW | | 31.5 |
| | *3 kcal / h | | 27,100 |
| | *3 Btu / h | | 107,500 |
| | Power input kW | | 7.59 |
| | Current input A | | 12.8-12.1-11.7 |
| | COP (kW / kW) | | 4.15 |
| Temp. range of heating | Indoor temp. D.B. | 15 to 27degC (59 to 81degF) | |
| | Outdoor temp. W.B. | -20 to 15.5degC (-4 to 60degF) | |
| Indoor unit connectable | Total capacity | 50 - 130% of outdoor unit capacity | |
| | Model / Quantity | P15 - P250/1 - 21 | |
| Sound pressure level (measured in anechoic room) | dB <A> | 60 | |
| Diameter of refrigerant pipe | Liquid mm (in.) | 9.52 (3/8) Brazed (12.7 (1/2) Brazed, total length >= 90m) | |
| | Gas mm (in.) | 22.2(7/8) Brazed | |
| External finish | | Pre-coated galvanized steel sheets (+ powder coating for -BS type) <MUNSELL 5Y 8/1 or similar> | |
| External dimension H x W x D | | mm | 1,710 (without legs 1,650)x1220x760 |
| | | in. | 67-3/8 (without legs 65 65)x48-1/16x29-15/16 |
| Net weight | kg (lb) | 245 (541) | |
| Heat exchanger | | Salt-resistant cross fin & copper tube | |
| Compressor | Type | Inverter scroll hermetic compressor | |
| | Manufacture | MITSUBISHI ELECTRIC CORPORATION | |
| | Starting method | Inverter | |
| | Motor output kW | | 6.7 |
| | Case heater kW | | 0.045 |
| | Lubricant | MEL32 | |
| FAN | Air flow rate | m ³ / min | 225 |
| | | L / s | 3,750 |
| | | cfm | 7,945 |
| | External static press. | *4 | 0 Pa (0mmH ₂ O) |
| | Type x Quantity | Propeller fan x 1 | |
| | Control, Driving mechanism | Inverter-control, Direct-driven by motor | |
| | Motor output kW | | 0.46 x 1 |
| HIC circuit (HIC: Heat Inter-Changer) | | Copper pipe/tube-in-tube structure | |
| Protection | High pressure protection | High pres. Sensor & High pres. Switch at 4.15 MPa (601psi) | |
| | Inverter circuit (COMP. / FAN) | Over-heat protection, Over-current protection | |
| | Compressor | Over-heat protection | |
| | Fan motor | Thermal switch | |
| Defrosting method | | Auto-defrost mode (Reversed refrigerant cirde) | |
| Refrigerant | Type x original charge | R410A x 11.5 kg (26lb) | |
| | Control | LEV and HIC circuit | |
| Drawing | External | KB94T270 | |
| | Wiring | KE94C319 | |

9. Schéma chladivového okruhu PUHY-EP250-YHM-A

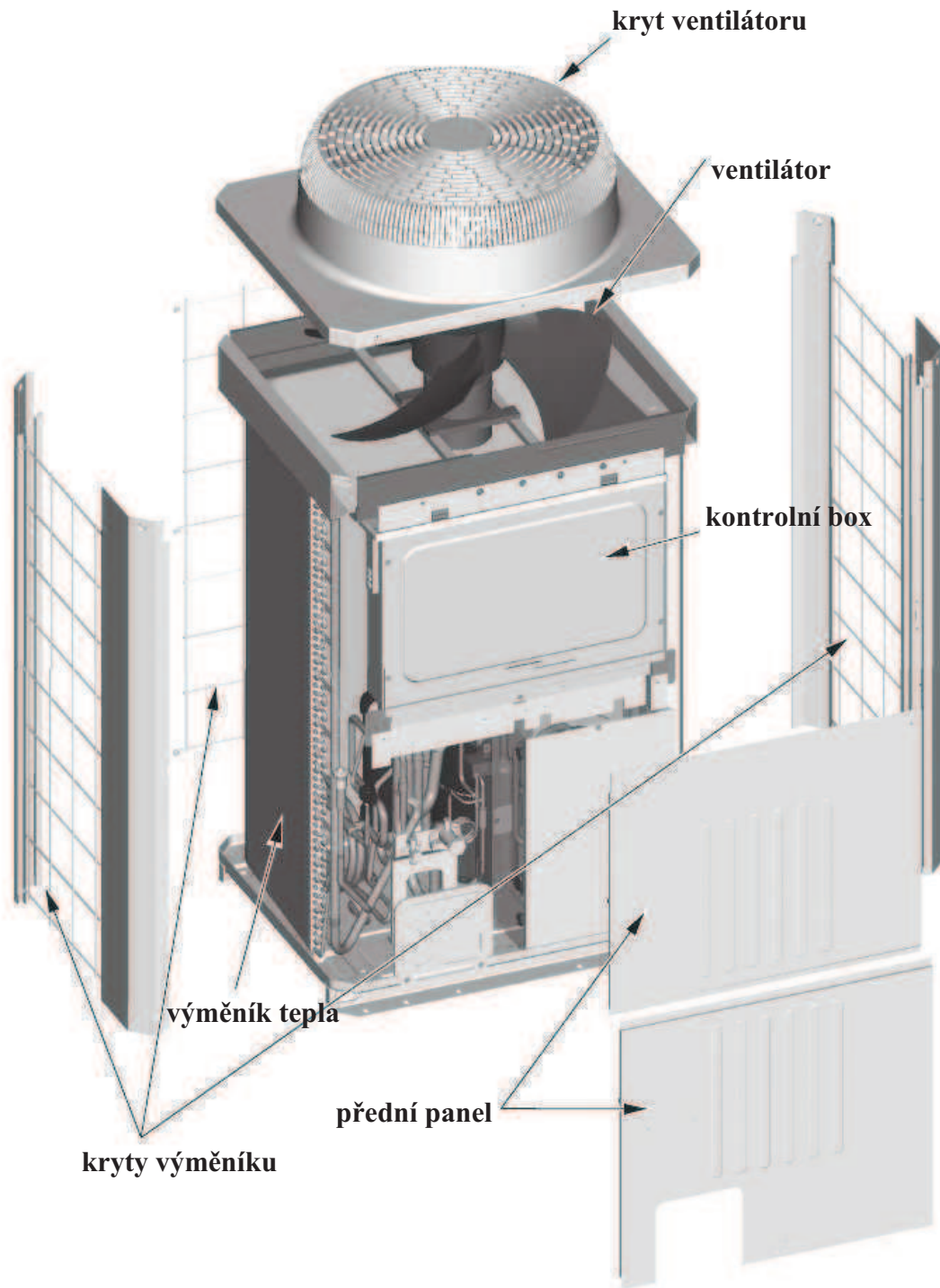


Obr. 39 Schéma venkovní jednotky PUHY-EP250-YHM-A

Popis základních částí chladícího okruhu znázorněného na obr. Schéma venkovní jednotky PUHY-EP250-YHM-A.

| Symbol | Název (popis) |
|---------------------|---------------------------|
| COMP | Kompresor |
| 63HS1 | Vysokotlaký senzor |
| 63LS | Nízkotlaký senzor |
| 63H1 | Tlakový spínač |
| TH x | Termistory |
| SV x | Elektromagnetické ventily |
| LEV x | Lineární expanzní ventil |
| 21S4a, 21S4b, 21S4c | 4-cestní ventil |

3D venkovní jednotky s popisem komponentu



Obr. 40 Komponenty venkovní jednotky

Použité chladivo v chladícím okruhu

V daném chladícím okruhu je použito chladivo R410a. Chladivo R410a je azeotropní směs. Na rozdíl od alkylhalogenidová chladiva neobsahuje bróm ani chlór. Nepřispívá k poškozování ozonové vrstvy, a proto je stále rozšířenější používání tohoto chladiva.

10. Vybrané údaje o vnitřních jednotkách PLFY – podklady výrobce

| Označení jednotek | PLFY-P40VLMD-E CMP-40VLW-C | PLFY-P50VLMD-E CMP-63VLW-C | PLFY-P25VLMD-E CMP-40VLW-C | |
|---|---|-------------------------------------|-------------------------------------|-------------------------------------|
| Dekorační panel | | | | |
| Chladicí výkon (kW) | 4,5 | 5,6 | 2,8 | |
| Topný výkon (kW) | 5,0 | 6,3 | 3,2 | |
| Objemový průtok vzduchu (m ³ /h) | nízký střední 1 střední 2 vysoký | 420 510 - | 540 660 - | 390 480 - |
| Hladina akustického tlaku dB(A) * | nízká vysoká | 28 36 | 30 37 | 26 33 |
| Hmotnost (panelu) (kg) | 24 (6,5) | 27 (7,5) | 23 (6,5) | |
| Rozměry (panelu) (mm)** | výška šířka hloubka | 350 (20) 776 (1080) 634 (710) | 350 (20) 946 (1250) 634 (710) | 350 (20) 776 (1080) 634 (710) |
| Průměr připojení chladiva (mm) | kapalina plyn | 6 12 | 6 12 | 6 12 |
| Zdroj el. napětí (V, fáze, Hz) | 220-240, 1, 50 | 220-240, 1, 50 | 220-240, 1, 50 | |
| Max. el. příkon (kW) | 0,085 | 0,086 | 0,075 | |
| Provozní el. proud (A) | 0,42 | 0,43 | 0,37 | |

11. Průběh experimentu a naměřená data

Pro měření a záznam údajů z venkovní jednotky slouží centrální ovladač AG150, který je propojený s venkovní jednotkou M-net síti. Data jsou posílány do PC kde jsou ukládány.

Měření dat probíhalo v rozmezí od 19.3.2011 do 19.3.2012. Měřené hodnoty se zaznamenávali do tabulkového procesoru jako data odděleny čárkou. Časový krok měřených dat bol 5 minut každý den. V daném období ale nastali určité výpadky kdy měření neprobíhalo, proto nejsou údaje kompletní pro všechny dny. Mezi zaznamenávanými hodnotami byli údaje: elektrická energie dodávána do jednotky, elektrický výkon jednotky a účinnost chladícího zařízení (COP nebo EER faktor podle režimu provozu).

Z hydrometeorologické stanice v Pardubicích jsem obdržel data o průběhu teplot v daném měřeném období od 19.3.2011 do 19.3.2012 v časovém kroku 1h pro každý den.

V přílohách je část výpočtů tepelné zátěže v kancelářích a společenských místnostech.

COP a EER faktor

COP v angličtině znamená (Coefficient of Performance) obecný výkonový koeficient definovaný poměrem získané energie k energii dodané.

Když jde o topný faktor používá se COP faktor

$$COP = \frac{\text{Topný výkon zařízení}}{\text{Příkon kompresora}}$$

EER faktor je obdobný COP faktoru, jde ale o chladící faktor

$$EER = \frac{\text{Chladící výkon zařízení}}{\text{Příkon kompresora}}$$

Ukázka z naměřených dat VRF systému v letním období 26.8.2011

| Datum a čas měření | Elektrická energie | Elektrický příkon | Účinnost | Aktuální chladící výkon zařízení | Venkovní teplota |
|--------------------|--------------------|-------------------|----------|----------------------------------|------------------|
| 26.8.2011 6:40 | 0,15 | 3,81 | 3,14 | 11,96 | 16,9 |
| 26.8.2011 6:45 | 0,14 | 3,62 | 2,67 | 9,66 | 16,9 |
| 26.8.2011 6:50 | 0 | 0 | 0 | 0 | 16,9 |
| 26.8.2011 6:55 | 0 | 0 | 0 | 0 | 16,9 |
| 26.8.2011 7:00 | 0,03 | 3,98 | 6,3 | 25,07 | 20,6 |
| 26.8.2011 7:05 | 0,16 | 3,28 | 3,63 | 11,90 | 20,6 |
| 26.8.2011 7:10 | 0,13 | 2,71 | 2,77 | 7,50 | 20,6 |
| 26.8.2011 7:15 | 0,1 | 2,25 | 2,44 | 5,49 | 20,6 |
| 26.8.2011 7:20 | 0 | 0 | 0 | 0 | 20,6 |
| 26.8.2011 7:25 | 0 | 0 | 0 | 0 | 20,6 |
| 26.8.2011 7:30 | 0 | 0 | 0 | 0 | 20,6 |
| 26.8.2011 7:35 | 0 | 0 | 0 | 0 | 20,6 |
| 26.8.2011 7:40 | 0 | 0 | 0 | 0 | 20,6 |
| 26.8.2011 7:45 | 0,14 | 3,88 | 4,44 | 17,22 | 20,6 |
| 26.8.2011 7:50 | 0,21 | 3,08 | 2,86 | 8,80 | 20,6 |
| 26.8.2011 7:55 | 0,23 | 2,85 | 2,7 | 7,69 | 20,6 |
| 26.8.2011 8:00 | 0,2 | 2,7 | 2,55 | 6,88 | 23,6 |
| 26.8.2011 8:05 | 0,2 | 2,44 | 2,42 | 5,90 | 23,6 |
| 26.8.2011 8:10 | 0,1 | 2,69 | 2,58 | 6,94 | 23,6 |
| 26.8.2011 8:15 | 0,25 | 3,13 | 2,64 | 8,26 | 23,6 |
| 26.8.2011 8:20 | 0,24 | 2,99 | 2,8 | 8,37 | 23,6 |
| 26.8.2011 8:25 | 0,24 | 2,97 | 2,74 | 8,13 | 23,6 |
| 26.8.2011 8:30 | 0,23 | 2,81 | 2,73 | 7,67 | 23,6 |
| 26.8.2011 8:35 | 0,24 | 3,48 | 2,78 | 9,67 | 23,6 |
| 26.8.2011 8:40 | 0,29 | 3,84 | 2,79 | 10,71 | 23,6 |
| 26.8.2011 8:45 | 0,28 | 3,48 | 2,79 | 9,70 | 23,6 |
| 26.8.2011 8:50 | 0,28 | 3,56 | 2,73 | 9,71 | 23,6 |

| | | | | | |
|----------------|------|------|------|------|------|
| 26.8.2011 8:55 | 0,29 | 3,56 | 2,7 | 9,61 | 23,6 |
| 26.8.2011 9:00 | 0,28 | 3,57 | 2,71 | 9,67 | 27,0 |
| 26.8.2011 9:05 | 0,17 | 2,44 | 2,41 | 5,88 | 27,0 |
| 26.8.2011 9:10 | 0,16 | 2,25 | 2,47 | 5,55 | 27,0 |
| 26.8.2011 9:15 | 0,27 | 3,66 | 2,69 | 9,84 | 27,0 |
| 26.8.2011 9:20 | 0,18 | 2,96 | 2,63 | 7,78 | 27,0 |

12. Změřená data

Na základě spočtených tepelných zátěží a porovnání venkovních teplot jsem pro porovnání EER od výrobce a naměřená data vybral měsíce červenec a srpen. Venkovní podmínky se nejvíce blíží k podmínkám, které udává výrobce daného produktu.

Venkovní parametry udávané výrobcem:

Venkovní teplota – 35°C

Vnitřní teplota – 27°C

Délka vedení chladiva – 7,5 m

Výstup z programu CITY MULTI Design tool pro 2.NP:

| | |
|-------------------------------|--|
| Vnitřní jednotka: | 9 / 1 to 21 |
| Výkon: | 265 / 125 to 325 106.0% |
| | Connectable to 100% or more, but the capacity is up to 100%. |
| Celková délka potrubí: | 65.1 / 1000.0 cm |
| Nejdelší trasa | 37.6 / 165.0 cm |
| Ekvivalentní | 39.7 / 190.0 cm |
| Vzdálenost od první odběry | 26.6 / 40.0 m |
| Ekvivalentní | 27.0 / 40.0 m |
| Korekční faktor: | |
| Výkon venkovní jednotky: | 1.00 1.00 |
| Teplota: | 1.00 1.00 |
| Délka potrubí: | 1.00 1.00 |
| Odmrazování: | - 1.00 |
| Total Derate: | 1.00 1.00 |
| Množství doplněného chladiva: | 5.9 kg |
| Celkové množství chladiva: | 17.4 kg |
| Podmínky | Celsia |
| Chlazení | |
| Vnitřní ST | 24.0 Vlhkost 63 % Vnitřní MT 19.0 |
| Venkovní ST | 35.0 |
| Topení | |
| Vnitřní ST | 20.0 |
| Venkovní ST | 7.0 Vlhkost 87 % Venkovní MT 6.0 |

Grafy zpracovaných dat

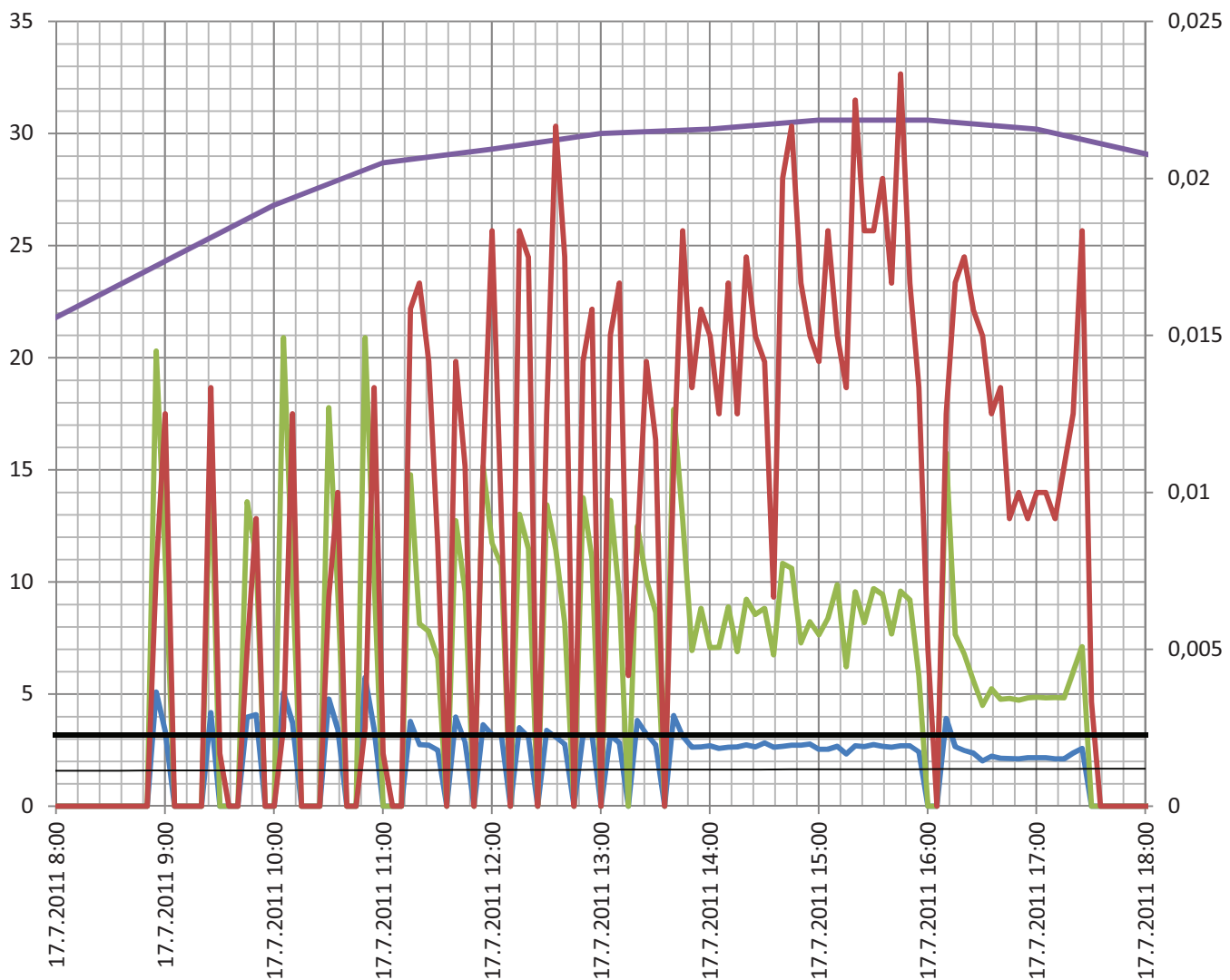
Po podrobném zpracování změřených dat jsem vybral pro ukážku pár dní daného systému, které odpovídají nejvíce parametrům výrobce.

Den měření: 17. 7. 2011, levá osa:

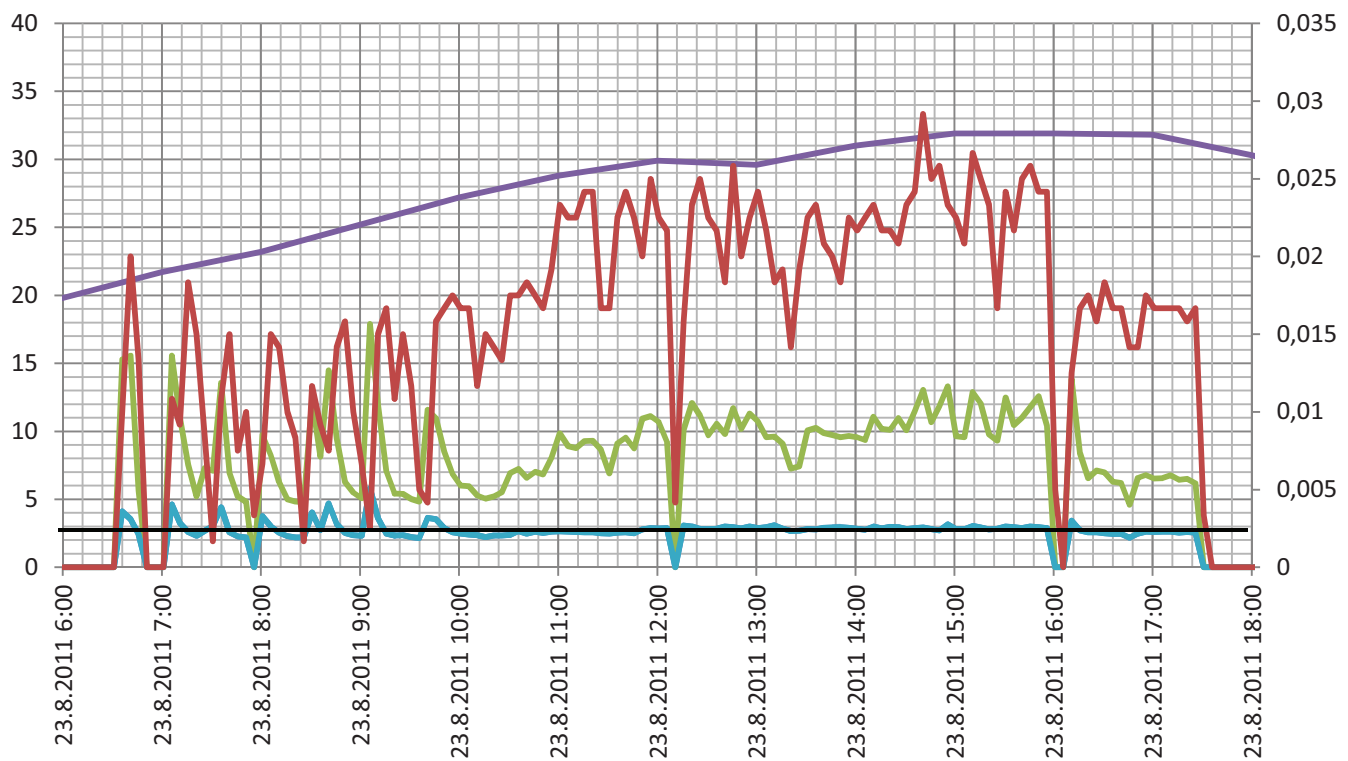
- průběh venkovních teplot z hydrometeorologické stanice [°C]
- EER faktor
- aktuální chladící výkon [kW]
- průměrná hodnota EER faktoru

pravá osa:

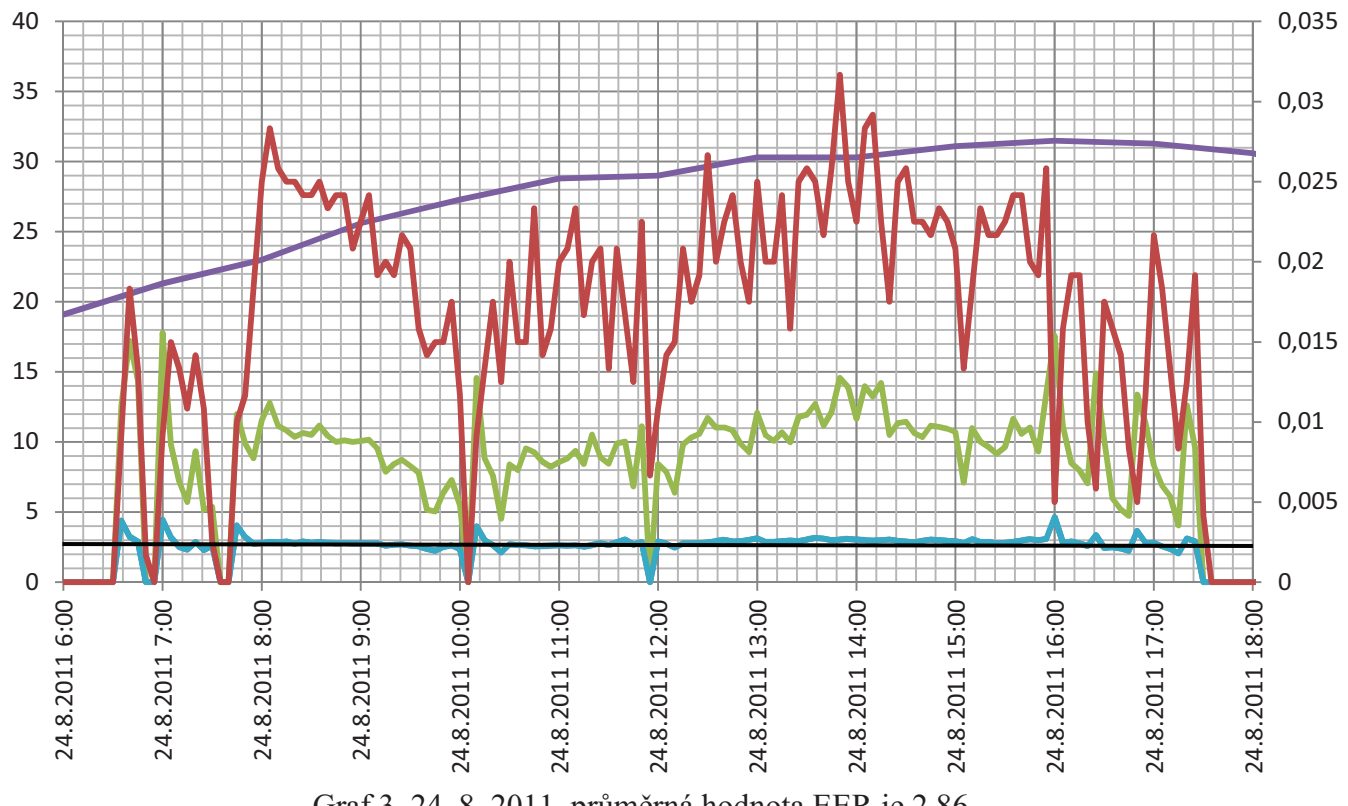
- spotřeba elektrické energie [kWh]



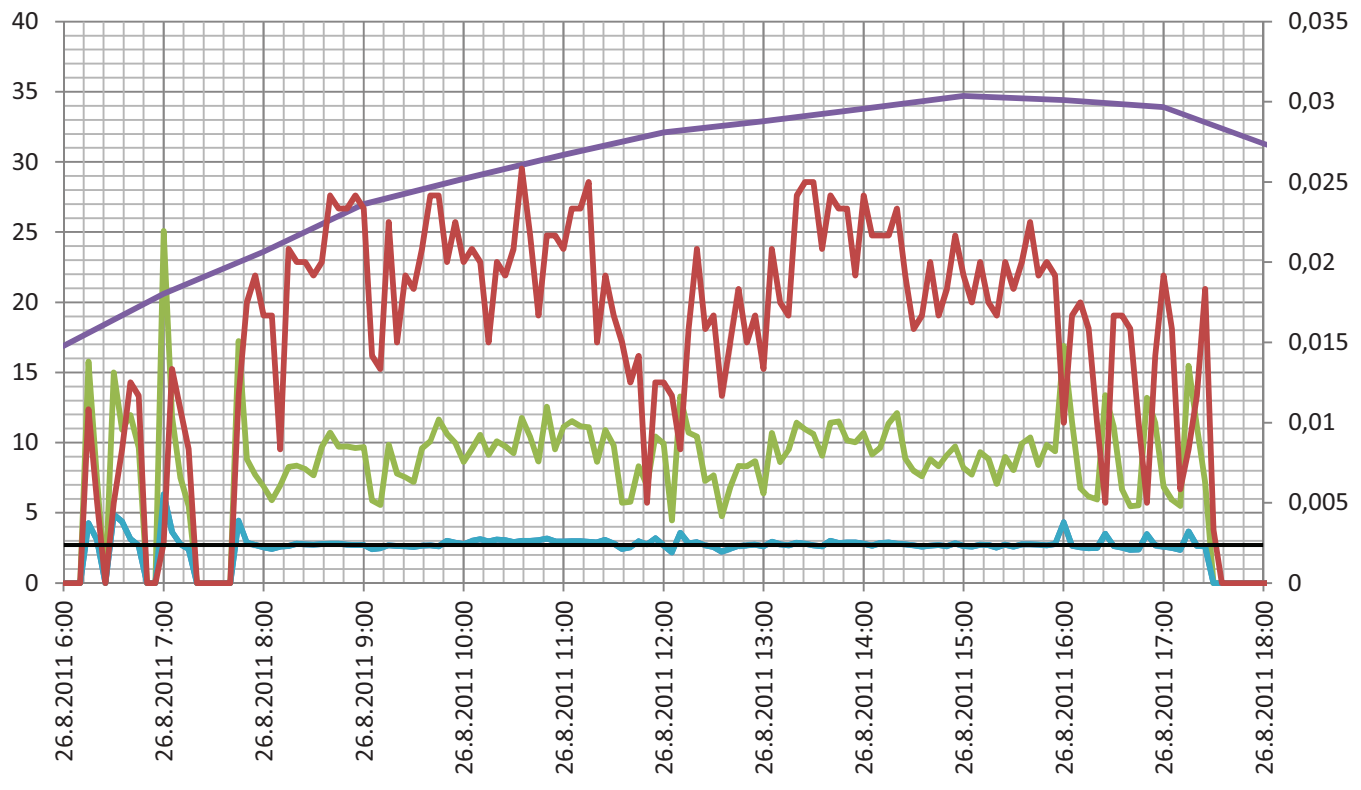
Graf 1. Chod jednotky PUHY a spouštění kompresoru při potřebě chladícího výkonu znázorněno zelenou čárou. Průměrná hodnota EER faktoru je 2,99.



Graf 2. 23. 8. 2011, průměrná hodnota EER je 2,82



Graf 3. 24. 8. 2011, průměrná hodnota EER je 2,86



13. Vyhodnocení dat

Protože měření probíhalo celý rok s krátkými přerušenými, na zpracování bylo obrovské množství dat. Proto jsem pro zpracování a následné vyhodnocení použil nástroje statistiky a program Microsoft Office Excel.

Vyhodnocené data a údaje, které udává výrobce se docela liší. Průměrná hodnota EER faktoru se pohybovala na úrovni 3,01. Údaj od výrobce je 4,1. Jak je patrno, rozdíl je docela velký. Způsobeno je to tím, že chladící zařízení nepracuje v jmenovitých, ale v nižších výkonech. Jen poměrně krátkou dobu dochází k využití celé chladící kapacity VRF systému. Celkový chladící faktor při sníženém výkonu je výrazně ovlivněn způsobem regulace jednotlivých prvků klimatizačního systému. I když by se zdálo, že při nižších venkovních teplotách vzduchu a menších potřebách chladu bude vyšší chladící faktor, není tomu zcela tak. Chladící faktor zařízení závisí na způsobu regulace kompresorů a ventilátorů. Jestliže ale zdroj chladu není optimálně regulován, může být chladící faktor i při nižším výkonu nižší, co je přesně řešený experiment.

V grafech je jasně vidět, že při vyšších chladících výkonech se i chladící faktor pohybuje kolem hodnoty udávané výrobcem. Někdy dokonce převyšuje danou hodnotu, co je taky způsobeno ne úplně optimální regulací.

Seznam použitých zdrojů

[1] HIRŠ, Jiří; GEBAUER, Günter . Vzduchotechnika v příkladech 1 : Prostředí budov.

Brno : CERM akademické nakladatelství, 2006. 230 s. ISBN 80-7204-486-9.

[2] GEBAUER, Günter; RUBINOVÁ, Olga; HORSKÁ, Helena . *Vzduchotechnika*. 2. Brno : Vydavatelství ERA, 2007. 262 s. ISBN 978-80-7366-091-8.

[3] Vyhláška 148/2006 Sb. o ochraně zdraví před nepříznivými účinky hluku a vibrací.

[4] Katalog produktů. VENTILÁTORY Elektrodesign 2008

[5] Katalog produktů. Mitsubishi electric 2012-2013

[6] Katalog produktů. IMOS-Systemair

[7] REMAK a.s. AeroCAD. Verze 4.9.68., počítačový program pro návrh VZT jednotek

[8] CITY MULTI Design Tool. Verze 4.11.0.0, počítačový program pro návrh VRF systému

[9] RUBINOVÁ, Olga. *Vzduchotechnika pro obor S*. Brno VUT, Fakulta stavební, Ústav technických zařízení budov, 2012. Přednášky. Dostupné na internetu:

<http://www.fce.vutbr.cz/TZB/rubinova.o/vzt.htm>

[11] Klimainfo.cz [online]. 20.6.2009 [cit. 2012-11-25]. Systémy centrálnej klimatizácie známe tiež ako VRV, VRF, DVM, MDV, SDV a GMV. Dostupné na internetu:

<http://www.klimainfo.sk/produkty/systemy-centralnej-klimatizacie-zname-tiez-ako-vrv-vrf-dvm-mdv-sdv-a-gmv>

[12] Vrf-air-conditioning.co.uk [online]. 2011 [cit. 2012-11-25]. VRF Air Conditioning from cfes Limited. Dostupné z internetu: <http://www.vrf-air-conditioning.co.uk/what-is-vrf.htm>

[13] Ib.cvut.cz [online]. [cit. 2012-11-28]. Základy tepelných čerpadel. Dostupné z internetu:
http://www.ib.cvut.cz/sites/default/files/Studijni_materialy/AZE/P5-tepelna_cerpadla_zaklady.pdf

[14] Smart-energy.cz [online]. [cit. 2012-12-15]. Tepelná čerpadla. Dostupné z internetu:
<http://www.smart-energy.cz/tepelna-cerpadla.htm>

[15] Tzb-info.cz [online]. [cit. 2012-12-13]. Tepelná čerpadla pro každého. Dostupné z internetu: <http://www.tzb-info.cz/957-tepelna-cerpadla-pro-kazdeho-ii>

[16] Tzb-info.cz [online]. [cit. 2012-12-13]. Sorpční chladicí zařízení. Dostupné z internetu:
[http://vetrani.tzb-info.cz/klimatizace-a-chlazeni/7712-sorpcni-chladici-zariseni](http://vetrani.tzb-info.cz/klimatizace-a-chlazeni/7712-sorpcni-chladici-zarizeni)

[17] Scribd.com [online]. [cit. 2012-12-05]. Service handbook. Dostupné z internetu:
<http://www.scribd.com/doc/51787492/19/1-Outdoor-Unit-Components-and-Refrigerant-Circuit>

[18] Tzb-info.cz [online]. [cit. 2012-12-05]. Celkové chladicí faktory klimatizačních systémů a jejich zlepšování. Dostupné z internetu: <http://vetrani.tzb-info.cz/klimatizace-a-chlazeni/8797-celkove-chladici-faktory-klimatizacnich-systemu-a-jejich-zlepsovani>

[19] Scribd.com [online]. [cit. 2012-12-09]. Učebnica P-H diagram. Dostupné z internetu:
<http://sk.scribd.com/doc/21394094/6-Ucebnica-P-Hdiagram>

[20] Teruna, [počítačový program] Ver. 1,5.

[21] Microsoft Office, Excel, Word [počítačový program] Ver. 2007.

[22] Archicad, [počítačový program] Ver. 12.

[23] Autocad, [počítačový program] Ver. 2010.

[24] GAŠPÁR, Juraj. *Klimatizace pobočky banky : bakalářská práce*. Brno, 2011.107 s. , Vysoké učení technické v Brně. Fakulta stavební. Ústav technických zařízení budov. Vedoucí bakalářské práce Ing. ALEŠ RUBINA, Ph.D.

seznam použitých zkratek a symbolů

| | |
|-------|---|
| A | -Váhový filtr A |
| | -Absorpční plocha místnosti [m^2] |
| | -Plocha průřezu [m^2] |
| COP | -Účinnost chlazení |
| dB | -Decibel |
| DP | -Přirozený útlum [dB] |
| E | -Exteriér |
| EER | -Účinnost topení |
| f | -Frekvence [Hz] |
| H | -Světlá výška místnosti [m] |
| Hz | -Herz |
| I | -Interiér |
| MaR | -Měření a regulace |
| MT | -Teplota mokrého teploměru [K], [$^{\circ}$ C] |
| NP | -Nadzemní podlaží |
| Pa | -Pascal |
| P | -Příkon [kW] |
| Q | -Tepelné zisky [W] |
| r | -Poloměr [m] |
| s | -entropie [J/K] |
| S | -Průřez potrubí [m^2] |
| SCOP | -Sezónní faktor účinnosti topení |
| SEER | -Sezónní faktor účinnosti chlazení |
| ST | -Teplota suchého teploměru [K], [$^{\circ}$ C] |
| T | -Teplota [K] |
| T_o | -Teplota odpařovací [K] |
| T_k | -Teplota kondenzační [K] |
| te | -Teplota vzduchu v exteriéru [$^{\circ}$ C] |
| ti | -Teplota vzduchu v interiéru [$^{\circ}$ C] |
| tl. | -Tloušťka [m] |
| tp | -Teplota přiváděného vzduchu [$^{\circ}$ C] |

V -Objemový průtok vzduchu [m³/h]

VZT -Vzduchotechnika

ZTI -Zdravotní a technické instalace

α -Součinitel pohltivosti materiálů, konstrukcí a osob

Δp -Dopravní tlak ventilátoru [Pa]

η -Účinnost

λ -Součinitel tepelné vodivosti [W/mK]

ξ -Součinitel místní tlakové ztráty

φ -Relativní vlhkost [%]

Seznam příloh

Výpočet tepelné zátěže k experimentálnímu měření

Souhrnná tabulka

Graf – venkovní teplota a tepelná zátěž

Výpočet tepelné zátěže – tabulky

Graf – VRF systém, tepelná zátěž a venkovní teplota

Technická zpráva k praktické části diplomové práci

Výkres č. 1

Půdorys 1NP 1. varianta, M1:50

Výkres č. 2

Půdorys 2NP 1.varianta, M1:50

Výkres č. 3

Půdorys 3NP 1. varianta, M1:50

Výkres č. 4

Půdorys střechy 1. varianta, M1:50

Výkres č. 5

Půdorys 1NP 2. varianta, M1:50

Výkres č. 6

Půdorys 2NP 2.varianta, M1:50

Výkres č. 7

Půdorys 3NP 2. varianta, M1:50

Výkres č. 8

Půdorys střechy 2. varianta, M1:50

Výkres č. 9

Půdorys 1NP 3. varianta, M1:50

Výkres č. 10

Půdorys 2NP 3.varianta, M1:50

Výkres č. 11

Půdorys 3NP 3. varianta, M1:50

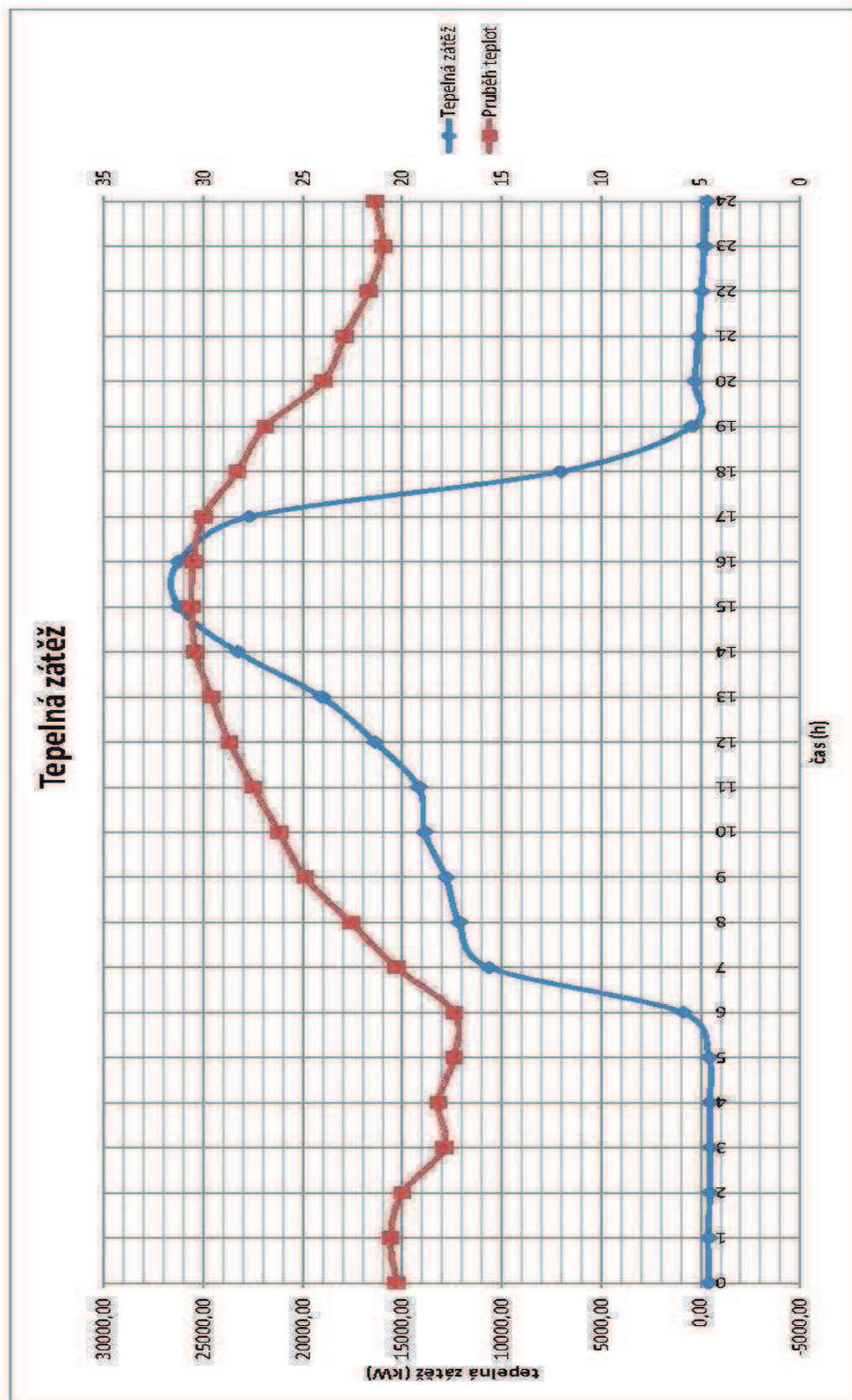
Výkres č. 12

Půdorys střechy 3. varianta, M1:50

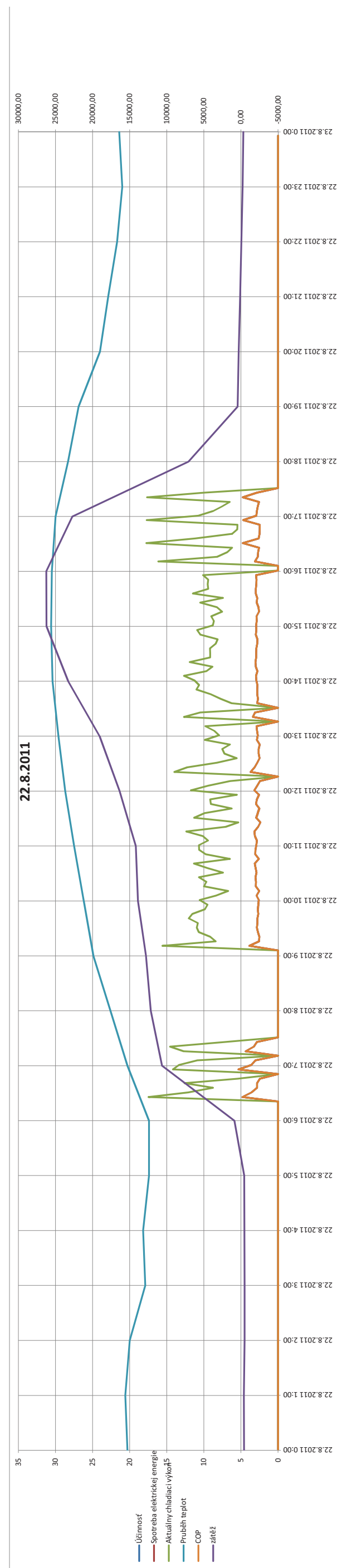
Souhrnná tabulka tepelných zátěží

| | Místnost | 210 | 212 | 213 | 214 | 215 | 216 | 217 | 218 | 219 | Q_{celkem} |
|-----------------|----------|---------|---------|---------|---------|---------|---------|---------|---------|---------|--------------|
| 22.8.2011 0:00 | 0 | 4,67 | -60,59 | -60,59 | -60,59 | -60,59 | -60,59 | -57,32 | -57,32 | 3,56 | -409,35 |
| 22.8.2011 1:00 | 1 | 15,86 | -58,30 | -58,30 | -58,30 | -58,30 | -58,30 | -57,32 | -57,32 | 10,93 | -379,37 |
| 22.8.2011 2:00 | 2 | 9,98 | -68,66 | -68,66 | -68,66 | -68,66 | -68,66 | -69,75 | -69,75 | 1,92 | -470,92 |
| 22.8.2011 3:00 | 3 | 8,74 | -68,24 | -68,24 | -68,24 | -68,24 | -68,24 | -70,62 | -70,62 | -0,87 | -474,56 |
| 22.8.2011 4:00 | 4 | 2,01 | -64,51 | -64,51 | -64,51 | -64,51 | -64,51 | -66,73 | -66,73 | -6,42 | -460,41 |
| 22.8.2011 5:00 | 5 | -11,03 | -56,93 | -56,93 | -56,93 | -56,93 | -56,93 | -56,98 | -56,98 | -14,73 | -424,37 |
| 22.8.2011 6:00 | 6 | 126,62 | 92,59 | 92,59 | 92,59 | 92,59 | 92,59 | 91,32 | 91,32 | 122,98 | 895,17 |
| 22.8.2011 7:00 | 7 | 1965,87 | 971,93 | 971,93 | 971,93 | 971,93 | 971,93 | 1010,08 | 1010,08 | 1805,87 | 10651,54 |
| 22.8.2011 8:00 | 8 | 2136,86 | 1147,61 | 1147,61 | 1147,61 | 1147,61 | 1147,61 | 1162,28 | 1162,28 | 1953,74 | 12153,20 |
| 22.8.2011 9:00 | 9 | 2215,20 | 1230,38 | 1230,38 | 1230,38 | 1230,38 | 1230,38 | 1218,84 | 1218,84 | 2006,21 | 12810,98 |
| 22.8.2011 10:00 | 10 | 2337,79 | 1356,62 | 1356,62 | 1356,62 | 1356,62 | 1356,62 | 1324,67 | 1324,67 | 2108,67 | 13878,90 |
| 22.8.2011 11:00 | 11 | 2370,79 | 1392,75 | 1392,75 | 1392,75 | 1392,75 | 1392,75 | 1352,89 | 1352,89 | 2134,00 | 14174,33 |
| 22.8.2011 12:00 | 12 | 2356,83 | 1378,79 | 1378,79 | 1378,79 | 1378,79 | 1378,79 | 2114,11 | 2114,11 | 2895,22 | 16374,22 |
| 22.8.2011 13:00 | 13 | 2551,90 | 1575,69 | 1575,69 | 1575,69 | 1575,69 | 1575,69 | 2612,46 | 2612,46 | 3391,89 | 19047,17 |
| 22.8.2011 14:00 | 14 | 3126,23 | 2150,54 | 2150,54 | 2150,54 | 2150,54 | 2150,54 | 2875,67 | 2875,67 | 3654,62 | 23284,85 |
| 22.8.2011 15:00 | 15 | 3598,71 | 2622,50 | 2622,50 | 2622,50 | 2622,50 | 2622,50 | 2911,41 | 2911,41 | 3690,85 | 26224,89 |
| 22.8.2011 16:00 | 16 | 3739,87 | 2759,31 | 2759,31 | 2759,31 | 2759,31 | 2759,31 | 2640,71 | 2640,71 | 3427,54 | 26245,39 |
| 22.8.2011 17:00 | 17 | 3424,08 | 2439,82 | 2439,82 | 2439,82 | 2439,82 | 2439,82 | 2092,73 | 2092,73 | 2893,75 | 22702,38 |
| 22.8.2011 18:00 | 18 | 924,93 | 881,78 | 881,78 | 881,78 | 881,78 | 881,78 | 563,68 | 563,68 | 605,22 | 7066,42 |
| 22.8.2011 19:00 | 19 | 89,49 | 40,87 | 40,87 | 40,87 | 40,87 | 40,87 | 41,74 | 41,74 | 88,17 | 465,48 |
| 22.8.2011 20:00 | 20 | 73,00 | 21,99 | 21,99 | 21,99 | 21,99 | 21,99 | 22,87 | 22,87 | 71,00 | 299,71 |
| 22.8.2011 21:00 | 21 | 53,23 | 1,82 | 1,82 | 1,82 | 1,82 | 1,82 | 2,70 | 2,70 | 50,54 | 118,25 |
| 22.8.2011 22:00 | 22 | 36,90 | -18,52 | -18,52 | -18,52 | -18,52 | -18,52 | -14,87 | -14,87 | 36,68 | -48,76 |
| 22.8.2011 23:00 | 23 | 21,65 | -37,94 | -37,94 | -37,94 | -37,94 | -37,94 | -31,08 | -31,08 | 24,52 | -205,67 |
| 23.8.2011 0:00 | 24 | 12,18 | -50,02 | -50,02 | -50,02 | -50,02 | -50,02 | -44,68 | -44,68 | 13,48 | -313,83 |

Graf se znázorněním tepelné zátěže a venkovní teploty



Híistnost 210



1. Úvod

Předmětem této technické zprávy je návrh koncepce nuceného větrání a klimatizace pobočky banky v Brně, tak aby byly zajištěny předepsané hodnoty hygienických výměn vzduchu a pohody prostředí v uvažovaných místnostech. Podrobně se budeme věnovat zařízení č.1 a č.2 a jejich varianty.

1.1 Podklady pro zpracování

Podkladem pro zpracování této technické zprávy jsou výkresy jednotlivých půdorysů a řezů stavební části, příslušné zákony a prováděcí vyhlášky, české technické normy a podklady výrobců vzduchotechnických zařízení, zejména:

Nařízení vlády č. 361/2007 Sb., kterým se stanoví podmínky ochrany zdraví při práci

Nařízení vlády č. 272/2011 Sb., o ochraně zdraví před nepříznivými účinky hluku a vibrací

Vyhláška č. 6/2003 Sb., kterou se stanoví hygienické limity chemických, fyzikálních a biologických ukazatelů pro vnitřní prostředí pobytových místností některých staveb.

ČSN 73 05 48 – Výpočet tepelné zátěže klimatizovaných prostorů

ČSN 12 70 10 – Navrhování větracích a klimatizačních zařízení

ČSN 73 08 02 a ČSN 73 08 10 – Požární bezpečnost staveb.

ČSN 73 08 72 – Ochrana staveb proti šíření požáru vzduchotechnickým zařízením

Vyhláška č. 193/2007 – Povinnost opatřit rozvody tepelnou izolací v závislosti na DN potrubí

1.2 Výpočtové hodnoty klimatických poměrů

Místo: Brno

Nadmořská výška: 156 m n. m.

Výpočtová teplota vzduchu: Léto: 29°C

Zima: -12°C

Relativní vlhkost: Léto: 37%

Zima: 95%

2. Základní koncepční řešení

Na základě hygienických požadavků je uvažováno s nuceným teplo-vzdušným větráním v zasedací místnosti 101, v denních místnostech 201,301, v archívu 208, v strojovně 308 a na chodbách 102, 202 a 302. V místnostech 101,201 a 301 je využíván systém VRF na úpravu vzduchu. Kanceláře v celé pobočce jsou větrány přirozeně a na úpravu vzduchu je využit systém klimatizace CITY MULTI VRF ve variantách 1 a 2. Ve 3. variante jsou kancelářské prostory větrány VZT jednotkou. Pro dosažení požadovaných parametrů vzduchu je zde systém CITY MULTY VRF. Hygienické místnosti a kuchyňka jsou podtlakově větrány. V místnosti 207, v které je umístněn server je použitý Split systém. Výměna vzduchu v těchto provozech bude v souladu s příslušnými hygienickými, zdravotnickými, bezpečnostními, protipožárními předpisy a normami platnými na území České republiky, přitom implicitní hodnoty údajů ve výpočtech dále uvažovaných, jakož i předmětné výpočtové metody jsou převzaty zejména z výše uvedených obecně závazných předpisů a norem. V jednotlivých částech budovy bude nucené větrání a klimatizace rozdělena do jednotlivých základních typů (viz. analýza objektu).

2.1 Hygienické a stavební větrání

Hygienické větrání bude navrženo v úrovni nejméně hygienického minima ve smyslu obecně závazných předpisů. Přitom jako základní principy návrhu objektového řešení jsou přijaty následující podmínky:

- Podtlakové větrání je navrženo v místnostech hygienického vybavení a zázemí objektu (WC, sprchy, šatny).
- Úhrada vzduchu bude hrazena z okolního prostředí netěsnostmi ve stavebních konstrukcích nebo přes stěnové a dveřní mřížky.
- Odvětrávání bude vzhledem k obsluhovaným prostorům tvořit samostatné jednotlivé systémy podle stavební dispozice a podle potřeby nuceného větrání.
- Výfuky znehodnoceného vzduchu budou vedeny na fasádu objektu pro zařízení podtlakového větrání zázemí. Pro nucené teplo-vzdušné větrání budou výfuky umístěny na střeše strojovny která je umístněna ve třetím podlaží.
- Nejvyšší přípustná maximální hladina vnějšího a vnitřního hluku $L_{Amax}=40-50\text{dB}$ dle druhu provozu a účelu jednotlivých místností a bude zajištěna tlumiči hluku (viz. útlum hluku).

2.2 Energetické zdroje

Elektrická energie

Elektrická energie je uvažována pro pohon elektromotorů VZT, systému VRF, split systém a chladících zařízení – rozvodná soustava 3+PEN, 50 Hz, 400V/230V.

Tepelná energie

Pro ohřev vzduchu v tepelném výměníku centrálních vzduchotechnických jednotek bude sloužit topná voda s rozsahem pracovních teplot $t_{w1}/t_{w2} = 80/60^{\circ}\text{C}$. Výrobu teplé vody zajistí profese ÚT.

Pro chlazení vzduchu v centrální jednotce je uvažován systém přímého chlazení pomocí výparníku výparníků osazeného ve VZT jednotce a vzduchem chlazených kondenzátorem umístněný na střeše strojovny vzduchotechniky. Teplonosné médium je freon R410A.

Pro chlazení a ohřev systému VRF je použita venkovní jednotka, která využívá chladivo R410A.

Split systém využívá chladivo R410C. Pro chlazení vzduchu je venkovní jednotka, která je umístněna na střeše objektu nad strojovnou VZT.

3. Popis technického řešení

3.1 Koncepce větracích zařízení

Návrh řešení větrání předmětných prostor vychází ze současných stavebních dispozic a požadavků kladených na interní mikroklima jednotlivých místností. V zásadě jsou větrány místnosti, které to nezbytně potřebují z hlediska hygienického, funkčního či technologického. Pro rozvod vzduchu se počítá s nízkotlakým systémem.

Výměny vzduchu v jednotlivých místnostech jsou navrženy podle hygienických předpisů a podle výměn všeobecně stanovených 361/2007 Sb. (viz. průtoky vzduchu). Navržená zařízení jsou rozdělena do následujících funkčních celků:

Zařízení č.1 – Nucené teplovzdušné větrání a VRF systém – 1.varianta a 2. varianta

Pro dodržení hygienických potřeb výměn vzduchu a pokrytí tepelné zátěže(léto-vzduch) a tepelných ztrát(zima-vzduch) v místnostech 101, 102, 201, 202, 208, 301, 302, 308 je navržena centrální VZT jednotka, která zajistí jednostupňovou filtrace čerstvého vzduchu

(stupeň F5) a filtrace znehodnoceného vzduchu (stupeň G4), rekuperaci pomocí deskového výměníku tepla, ohřev a chlazení pomocí daných výměníků a také eliminaci kapek v odvodní i přívodní části jednotky.

Jednotka bude umístěna ve strojovně vzduchotechniky, (místnost č. 308), která je přístupná z chodby 302. Sání čerstvého vzduchu bude přiveden z fasády strojovny a kryt protidešťovou žaluzií. Výfuk znehodnoceného vzduchu bude vyveden na střechu strojovny a zakončen výfukovou hlavicí.

Transport jednotky na místo osazení bude probíhat po jednotlivých komorách.

Chlazení přiváděného vzduchu v letním období bude řešeno systémem přímého chlazení pomocí výparníku výparníků osazeného ve VZT jednotce a vzduchem chlazených kondenzátorem umístněným na střeše strojovny vzduchotechniky. Teplonosné médium je R410A.

Pro pokrytí tepelných zisků a ztrát v místnostech 101, 201, a 301 je použit systém VRF, který zajistí úpravu vzduchu na požadované hodnoty. V daných místnostech jsou navrženy 1-cestné kazetové jednotky opatřeny infračerveným dálkovým ovládáním, pro snadné nastavení. Pro úpravu chladiva se použije venkovní jednotka osazena na kovovém rámu. Rozvody pro chladivo a páru se opatří tepelnou izolací (podle DN potrubí). Všechny vnitřní jednotky jsou opatřeny čerpadlem na odvod kondenzátu.

Filtrovaný, tepelně upravený vzduch (teplota přiváděného vzduchu dle požadavku $t_p = 23^\circ\text{C}$ (léto), $t_p = 22^\circ\text{C}$ (zima)) bude do obsluhovaných prostorů transportován čtyřhranným potrubím z pozinkovaného plechu a ohebnými hadicemi. Jako koncové elementy budou sloužit přívodní vířivé anemostaty. Odvod znehodnoceného vzduchu bude proveden potrubním rozvodem s osazenými koncovými elementy. Rozvody budou vedeny v sádrokartonovém podhledu. Zařízení bude pracovat se 100% čerstvého vzduchu.

Izolace na centrálním VZT systému: Přívodní potrubí bude v prostorech objektu mimo strojovnu izolováno tepelnou izolací tl. 30mm, která bude zároveň plnit funkci požární izolace – zabránění kondenzace vodní páry na potrubí v letním období. Ve strojovně budou veškeré

trubní rozvody izolovány tvrzenou protihlukovou izolací tl. 60mm (viz. izolace potrubí). Odvodní potrubí nebude izolováno protože teplota okolního vzduchu a odváděného je stejná.

Zařízení č.1 – Nucené teplovzdušné větrání a VRF systém – 3.varianta

Pro dodržení hygienických potřeb výměn vzduchu a pokrytí tepelné zátěže(léto-vzduch) a tepelných ztrát(zima-vzduch) v místnostech 101, 102, 103, 201, 202, 203, 204, 205, 208, 301, 302, 303, 304, 305 a 308 je navržena centrální VZT jednotka, která zajistí jednostupňovou filtrace čerstvého vzduchu (stupeň F5) a filtrace znehodnoceného vzduchu (stupeň G4), rekuperaci pomocí deskového výměníku tepla, ohřev a chlazení pomocí daných výměníků a také eliminaci kapek v odvodní i přívodní části jednotky.

Jednotka bude umístěna na střeše objektu a osazena na kovovém rámu. Vyrobena bude ve venkovním provedení aby odolávala venkovním vlivům. Sání i výfuk vzduchu budou na střeše objektu. Budou opačně orientovány a dostatečně od sebe vzdáleny aby se navzájem neovlivňovali.

Transport jednotky na místo osazení bude probíhat po jednotlivých komorách.

Chlazení přívaděného vzduchu v letním období bude řešeno systémem přímého chlazení pomocí výparníku výparníků osazeného ve VZT jednotce a vzduchem chlazených kondenzátorem umístněný na střeše strojovny vzduchotechniky. Teplonosné médium je R410A.

Filtrovaný, tepelně upravený vzduch (teplota přívaděného vzduchu dle požadavku $t_p = 23^\circ\text{C}$ (léto), $t_p = 22^\circ\text{C}$ (zima) bude do obsluhovaných prostorů transportován čtyřhranným potrubím z pozinkovaného plechu a ohebnými hadicemi. Jako koncové elementy budou sloužit přívodní vířivé anemostaty. Odvod znehodnoceného vzduchu bude proveden potrubním rozvodem s osazenými koncovými elementy. Rozvody budou vedeny v sádrokartonovém podhledu. Zařízení bude pracovat se 100% čerstvého vzduchu.

Izolace na centrálním VZT systému: Přívodní potrubí bude v prostorech objektu izolováno tepelnou izolací tl. 30mm, která bude zároveň plnit funkci požární izolace – zabránění kondenzace vodní páry na potrubí v letním období. Na střeše budou veškeré trubní rozvody izolovány tvrzenou izolací tl. 60mm (viz. izolace potrubí) a opatřeny oplechováním

pro zvýšení odolnosti. Odvodní potrubí nebude izolováno, protože teplota okolního vzduchu a odváděného je stejná.

Zařízení č.2 – Klimatizace CITY MULTI VRF systém – 1.varianta

Pro úpravu vzduchu v kancelářských místnostech je použita klimatizace CITY MULTI VRF. Výměna vzduchu je zajištěna okny. Každá místnost je opatřena vnitřní jednotkou fungující v režimu chlazení a topení. Použité jsou kazetové jednotky 1-cestné umístěny v sádrokartonovém podhledu. Všechny jednotky jsou opatřeny infračerveným dálkovým ovládáním pro snadné nastavení. Na střeše je umístěná venkovní jednotka na úpravu chladiva pro vnitřní jednotky. Jako teplonosné médium je použité chladivo R410A. Vnitřní jednotky jsou dimenzovány na pokrytí tepelných ztrát a zisků. Každá vnitřní jednotka je opatřena čerpadlem na odvod kondenzátu.

Rozvody chladiva budou měděné a opatřeny tepelnou izolací podle DN. Pro potrubí DN 18 mm se volí izolace tloušťky 30mm. Pro DN 16, 12, 10 a 6 mm tl. 20 mm izolace.

Zařízení č.2 – Klimatizace CITY MULTI VRF systém – 2.varianta

Na rozdíl od 1. varianty jsou kancelářské prostory vybaveny parapetní jednotkou VRF systému. Výměna vzduchu je zajištěna okny. Jednotky fungují jak v režime topení tak i v režime chlazení. Pro snadné ovládání jsou jednotky vybaveny infračerveným dálkovým ovládáním. Teplonosným médiem je chladivo R410A. Vnitřní jednotky jsou dimenzovány na pokrytí tepelných ztrát a zisků. Každá vnitřní jednotka je opatřena čerpadlem na odvod kondenzátu.

Rozvody chladiva budou měděné a opatřeny tepelnou izolací podle DN. Pro potrubí DN 18 mm se volí izolace tloušťky 30mm. Pro DN 16, 12, 10 a 6 mm tl. 20 mm izolace.

Zařízení č.2 – Klimatizace CITY MULTI VRF systém – 3.varianta

Technické vybavení VRF systému je shodné s 1. variantou. Rozdíl je ve větrání. Výměna vzduchu již není pomocí okny ale vzduchotechnickou jednotkou. Vnitřní jednotky jsou dimenzovány na pokrytí tepelných ztrát a zisků které se snížili oproti 1. variante. Každá vnitřní jednotka je opatřena čerpadlem na odvod kondenzátu.

Rozvody chladiva budou měděné a opatřeny tepelnou izolací podle DN. Pro potrubí DN 18 mm se volí izolace tloušťky 30mm. Pro DN 16, 12, 10 a 6 mm tl. 20 mm izolace.

Zařízení č.3 – Split systém

Daný systém bude použit v místnosti 207 ve které je umístněn server. Vnitřní jednotka je nástěnného typu. Vybavena je infračerveným dálkovým ovladačem pro regulaci. Dimenzována je na pokrytí tepelní zátěže, která je produkována hlavně serverem. Venkovní jednotka bude osazena v kovovém rámu a umístněna na střeše objektu nad strojovnou. Množství chladiva v daném okruhu 1,05kg – R410A. Rozvod chladiva pro vnitřní jednotku se provede z mědi a opatří tepelnou izolací, aby nedocházelo k tepelným ztrátám. Tloušťka izolace je 20mm.

Zařízení č.4 – Podtlakové větrání

Pro nucené větrání prostor zázemí se tyto prostory rozdělí na tři samostatné funkční celky podle podlaží. V těchto jednotkách budou navrženy tři samostatné potrubní na odvod znehodnoceného vzduchu. K odvodu vzduchu je použit ventilátor MIXVENT TD 500/150, který je umístěn v podhledu místnosti 106 a je opatřen regulátorem konstantního průtoku a zpětnou klapkou. Ve druhém a třetím patře je osazen potrubní ventilátor MIXVENT TD 250/100, který je umístěn v místnostech 206 a 306. Opatřen je zpětnou klapkou a regulátorem konstantního průtoku.

Výfuk znehodnoceného vzduchu bude vyveden na fasádu v dostatečné vzdálenosti od ostatních otvorů na fasádě a bude opatřen protidešťovou žaluzií. Přívod čerstvého vzduchu bude zajištěn stěnovými a dveřními mřížkami z chodeb a ze zasedací místnosti.

Odvod znehodnoceného vzduchu bude potrubním rozvodem s osázenými koncovými elementy – talířovými ventily.

Izolace vzduchovodů nebude provedena, neboť vzduchovodem proudí vzduch o stejné teplotě a vlhkosti, jako v okolním prostředí.

4. Nároky na energie

Součtové elektrické příkony ventilátorů a jednotek VRF:

1. a 2. varianta

| | | | |
|------|---|--|-----------------------------------|
| 1.01 | - | $P_{V,odvod}=0,47\text{kW(VZT)}$ | $P_{V,přívod}=1,07\text{kW(VZT)}$ |
| 2.01 | - | $P_{VRF,venkovní jednotka}= 5,72/6,03\text{kW(chlazení/topení)}$ | |
| 2.02 | - | $P_{vnitřní jednotka kazetová}=0,042\text{kW}$ | |
| 2.03 | - | $P_{vnitřní jednotka parapetní}=0,040\text{kW}$ | |
| 3.01 | - | $P_{split systém}= 1,01\text{kW(chlazení)}$ | |
| 4.01 | - | $P_{V,mixvent TD-500/150}=0,05\text{kW}$ | |
| 4.02 | - | $P_{V,mixvent TD-250/100}=0,024\text{kW}$ | |

3. varianta

| | | | |
|------|---|--|-----------------------------------|
| 1.01 | - | $P_{V,odvod}=1,58\text{kW(VZT)}$ | $P_{V,přívod}=2,34\text{kW(VZT)}$ |
| 2.01 | - | $P_{VRF,venkovní jednotka}= 5,72/6,03\text{kW(chlazení/topení)}$ | |
| 2.02 | - | $P_{vnitřní jednotka}=0,042\text{kW}$ | |
| 3.01 | - | $P_{split systém}= 1,01\text{kW(chlazení)}$ | |
| 4.01 | - | $P_{V,mixvent TD-500/150}=0,05\text{kW}$ | |
| 4.02 | - | $P_{V,mixvent TD-250/100}=0,024\text{kW}$ | |

5. Měření a regulace, protimrazová ochrana

Navržený vzduchotechnický systém bude řízen a regulován samostatným systémem měření a regulace – profese MaR. Základní funkční parametry jsou:

- Ovládání chodu ventilátorů, silové napájení ovládaných zařízení.
- Zajištění tlumeného chodu konkrétních zařízení mimo pracovní dobu cca $\frac{1}{2}$ max. výkonu, na přívodu i odvodu vzduchu (jendootáčkový motor 6 – 60Hz), zajištění tlumeného chodu – frekvenční měniče.
- Regulace teploty vzduchu řízením výkonu teplovodního ohřívače v zimním období.
- Regulace teploty vzduchu výkonu nepřímo chlazeného chladiče ve VZT jednotce – Regulace výkonu výměníku rozdělováním – kvantitativní směšování.

- Umístění teplotních a vlhkostních čidel podle požadavků (referenční místonosti apod.)
- Řízení účinnosti protiúrazové ochrany deskového výměníku nastavováním obtokové klapky (na základě teploty odpadního vzduchu nebo tlakové ztráty)
- Ovládání uzavíracích klapek na jednotce včetně dodání servopohonů.
- Protiúrazová ochrana teplovodního výměníku – měření na straně vzduchu i vody. Při poklesu teploty 1.-vypnutí ventilátoru, 2.- uzavření klapek, 3.- otevření třícestného ventilu, 4.-spuštění čerpadla.
- Signalizace bezporuchového chodu ventilátoru pomocí diferenčního snímače tlaku.
- Měření a signalizace zanášení (tlakové ztráty) všech stupňů filtrace.
- Poruchová signalizace
- Připojení regulace a signalizace stavu všech zařízení na velící centralizované stanoviště.
- Zajištění požadované současnosti chodu jednotlivých zařízení v příslušných funkčních celcích.
- Signalizace požárních klapek (Z/O) – podružná signalizace polohy na panel požárních klapek a systému EPS.
- Regulace výkonu jednotlivých vnitřních jednotek VRF systému podle požadovaného vnitřního stavu prostředí (dálkové ovládání).
- Kontrola chladiva v soustavách.
- Regulace VRF systému ve večerních hodinách.

6. Protihluková a prototřesová opatření

Do rozvodných tras budou vloženy kulisové tlumiče hluku, které zabrání nadměrnému šíření hluku od ventilátorů do větraných místností a do okolní zástavby. Tyto tlumiče budou osazeny jak v přívodních, tak odvodních trasách vzduchovodů, kde by bez tlumiče nevyhověla hladina hluku dle nařízení vlády č.148/2006 (viz. útlum hluku). Vzduchovody budou protihlukově izolovány od zdroje hluku za jednotlivé tlumiče jak na sání, tak na výtlaku. Veškeré točivé stroje (jednotky, ventilátory) budou pružně uloženy za účelem

zmenšení vibrací. Veškeré vzduchovody budou napojeny na jednotky přes tlumící vložky. Všechny prostupy VZT potrubí stavebními konstrukcemi budou obloženy a dotěsněny izolací.

7. Izolace a nátěry

Jsou navrženy tvrzené izolace hlukové a tepelné. Ve výkresové části technické zprávy jsou uvažované izolace zobrazeny ve výkresech. Tepelná izolace tl. 60mm(strojovna) a tl. 30mm(objekt) bude zároveň plnit funkci hlukové izolace. Veškeré sací a výtlacné potrubí chladiva musí být včetně armatur od vnitřních jednotek až k venkovní jednotce tepelně izolováno. Pro rozvody chladiva jsou navrženy izolace tl. 20 a 30mm.

Tvrzené tepelné izolace – tl. izolace 30 a 60mm $\lambda=0,04 \text{ W/mK}$

Izolační pouzdra – tl. izolace 20 a 30mm $\lambda=0,04 \text{ W/mK}$

V případě použití jiného druhu izolací je nutné se řídit uvedenými parametry a dodržet hygienické a funkční parametry zařízení. Nátěry nejsou uvažovány. Všechny protidešťové žaluzie jsou tvořeny z pozinkovaného plechu – možnost nátěru.

8. Protipožární opatření

Všechny prostory vzduchovodních potrubí procházející přes požárně dělící konstrukce budou opatřeny požárními ucpávkami. Do vzduchovodů procházejících stavební konstrukcí ohraničující určitý požární úsek budou vřazeny protipožární klapky, zabraňující v případě požáru v některém požárním úseku jeho šíření do dalších úseků nebo na celý objekt. V případech, kdy nebude protipožární klapku možno osadit do požárně dělící konstrukce, bude potrubí mezi touto konstrukcí a požární klapkou opatřeno izolací s požadovanou dobou odolnosti. Osazené požární klapky budou v provedení teplotní a ruční spouštění se signalizací na 24V.

9. Nároky na spolušouvisející profese

9.1 Stavební úpravy

- Otvory pro prostupy vzduchovodů včetně zapravení a odklízení sutě.
- Zajistit ocelový rám pod VZT jednotku umístěnou na střechu objektu
- Obložení a dotěsnění prostupů VZT potrubí izolačními protiotresovými hmotami v rámci zapravení.
- Dotěsnění a oplechování prostupů VZT. Oplechování tepelné izolace v exteriéru.
- Zajištění případných nátěrů VZT prvků na fasádě, či střeše objektu (architektonické ztvárnění)
- Zřízení prostorů strojovny VZT ve 3NP (Pro zařízení č.1) Zajištění dostatečného prostoru v podhledech pro rozvody VZT potrubí, rozvody pro VRF systém a umístnění ventilátorů v hygienických místnostech.
- Zajištění povrchové úpravy podlahy pro bezprašný provoz a vyspádování podlahy k instalované vpusti.
- Stavební, výpomocné práce.
- Zřízení instalačních šachet pro vedení jednotlivých vzduchovodů.
- Zřízení revizních otvorů pro přístup k ventilátorům, regulačním a požárním klapkám nerozebíratelných částí podhledu.

9.2 Silová elektroinstalace

- Doplňení stávajícího rozvaděče v 3NP u schodiště o jističe pro napájení vzduchotechnických jednotek a připojení těchto jednotek k elektrické síti 230,400V/50Hz.
- Doplňení rozvadeče na střechu objektu pro napojení VZT jednotky k elektrické síti 230, 400V/50Hz
- Přivedení silového napájecího kabelu do hygienických prostor. (místo přivedení bude upřesněno investorem. Silový napájecí kabel bude veden v plastové liště po zdi).
- Provedení revize silového kabelu, popř. společně pro celý systém MaR.
- Uzemnění všech zařízení.

9.3 Zdravotechnika

- Odvod kondenzátu od vzduchotechnický jednotky č.1 umístěna ve strojovně vzduchotechniky. Svod kondenzátu bude napojen na odpadní potrubí .
- Odvod kondenzátu od vnitřních jednotek VRF systému je veden v podhledu. Napojeny jsou na společný svod a následně na odpadní potrubí vedeno z úklidové místnosti.

9.4 Chlazení

- Zajištění dostatečného množství chladu pro provoz jednotky vzduchotechniky č.1 zajistí profese chlazení i s projektem.

10. Montáž, provoz, údržba a obsluha zařízení

- Realizační firma v rámci své dodávky provede rozpis VZT potrubí pro výrobní a montážní účely (rozdělení vzduchovodů na jednotlivé roury a tvarovky včetně potřebných „rozměrů“) včetně kontroly technické zprávy ve smyslu úplnosti §55 obchodního zákoníku.
- Realizační firma navrhne rozvody pro VRF systém a split systém, venkovní a vnitřní jednotky včetně kontroly technické zprávy ve smyslu úplnosti §55 obchodního zákoníku.
- Realizační firma před naceněním provede prohlídku stávajících prostorů a stávající stav demontáží. Rozvody VZT a chladící kapaliny budou instalovány před ostatními profesemi kvůli zjištění prostorových nároků.
- Všechny dešťové žaluzie budou tvořeny z pozinkovaného plechu připravené k případnému nátku – architektonické řešení.
- Při montáži požárních klapek budou zajištěny přístupy pro následné revize – nutná opětovná koordinace se stavební profesí v průběhu realizace výstavby.
- Osazení VZT jednotky bude provedeno pomocí bočních úchytů při 1. a 2. variante
- Usazení VZT jednotky bude na kovový rošt vysoký 50 cm ve 3. variante na střeše objektu pobočky banky
- Osazení venkovní jednotky VRF systému a split jednotky bude na kovovém rámu.

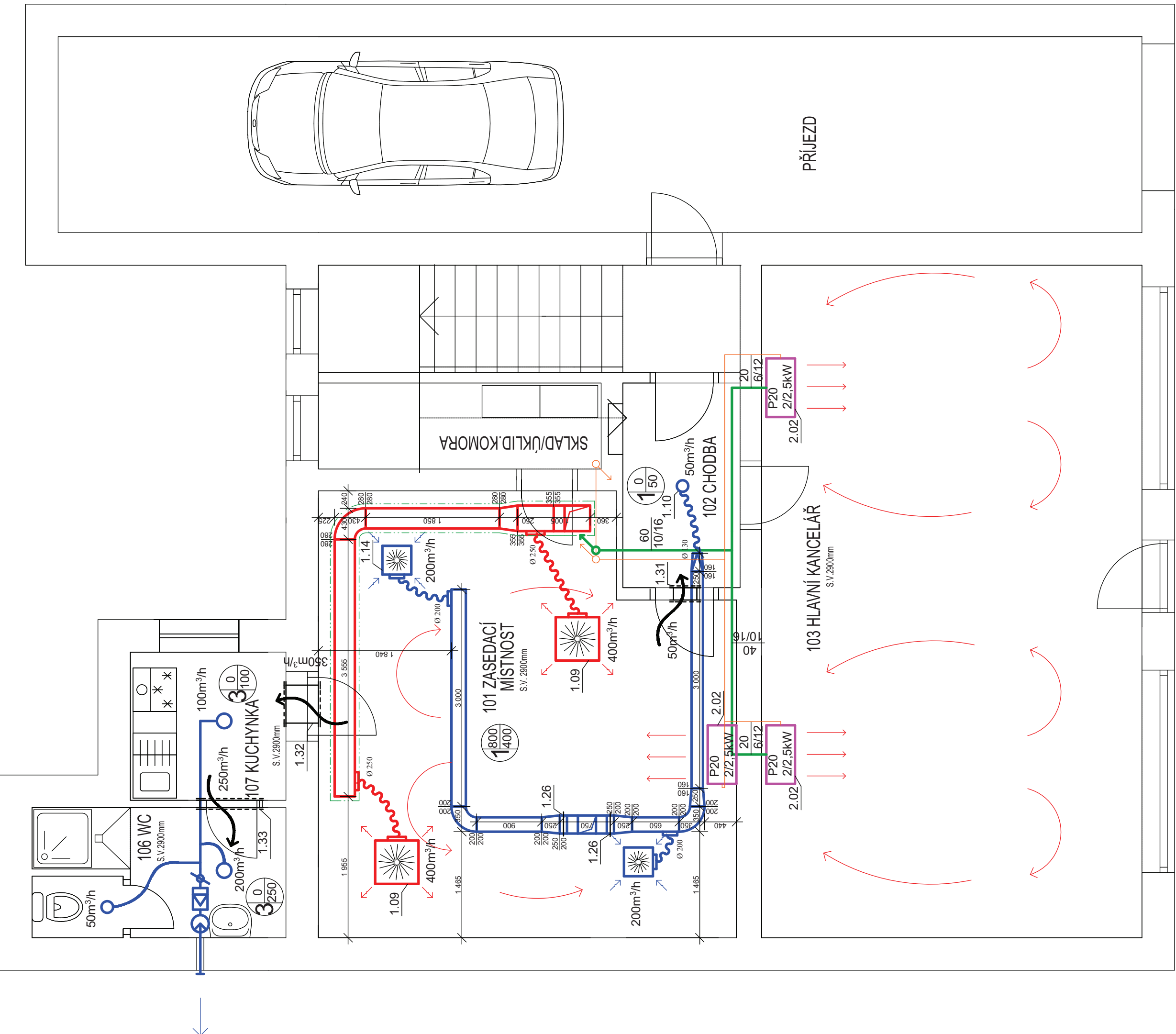
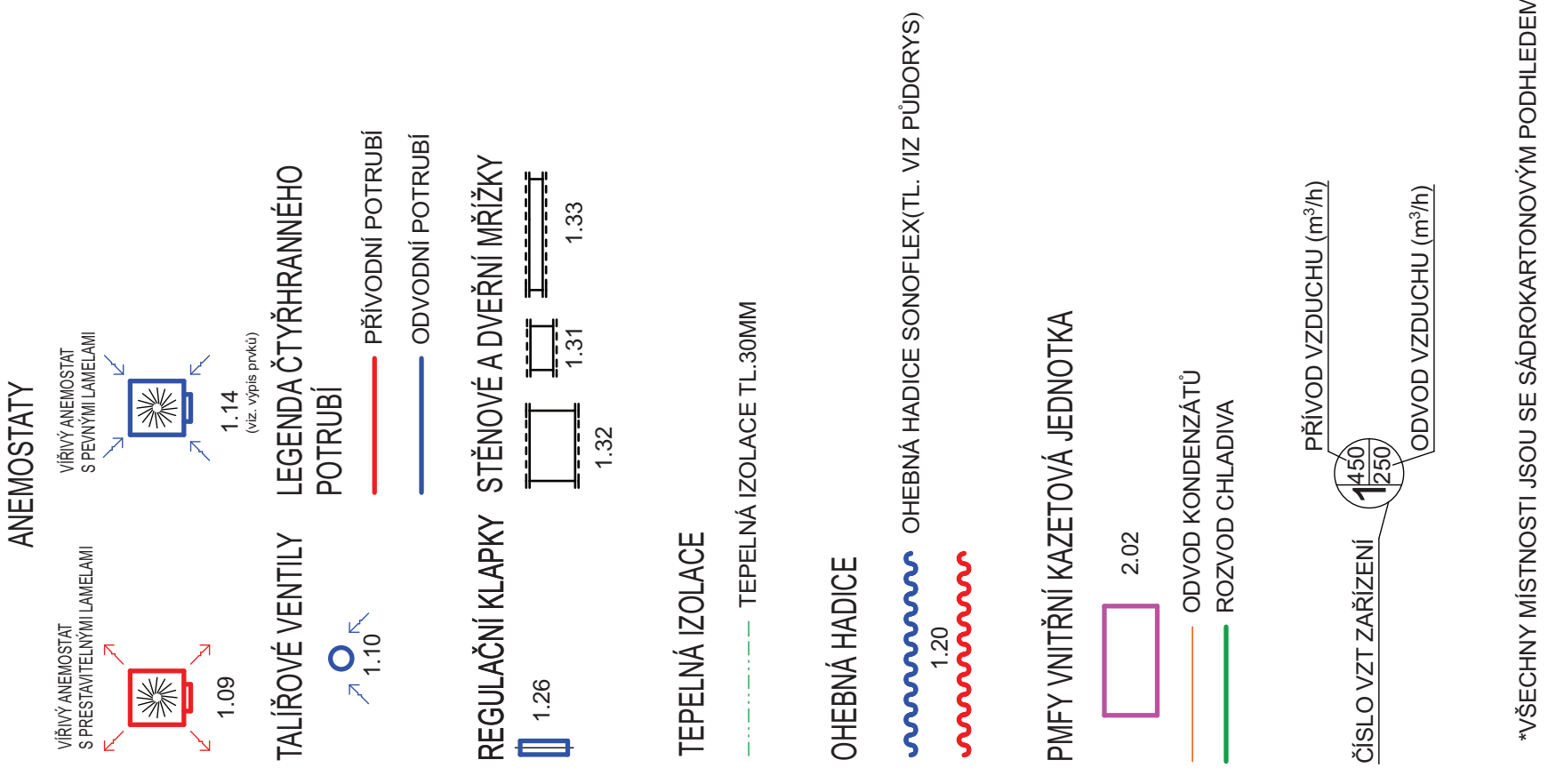
- Osazení vnitřních jednotek VRF systému se provede pomocí kovových kompletů do podhledu. Vnitřní jednotka split systému se uchytí na zeď pomocí montážních bodů.
- Při zaregulování systému VZT s motory ovládanými frekvenčními měniči je nutné nastavení požadovaných vzduchových výkonů koordinovat s profesí MaR – např. pomocí prandtlové trubice.
- Montáž všech zařízení bude provedena odbornou montážní firmou. Navržená zařízení budou montována podle montážních předpisů jednotlivých prvků.
- Všechny odbočky, rozbočky a nástavce na čtyřhranných potrubních rozvodech budou vybaveny náběhovými plechy – třetí stupeň regulace.
- Připojení koncových elementů pro přívod i odvod vzduchu v zařízení č.1 bude provedeno tepelně izolovanými hadicemi typu SONOFLEX MI. Připojení koncových elementů zařízení č. 4 bude provedeno ohebnou hadicí ALUFLEX.
- Při montáži musí být dodržena veškerá bezpečnostní opatření dle platných předpisů.
- Veškerá zařízení musí být po montáži vyzkoušena a zaregulována. Při zaregulování vzduchotechnických systémů bude postupováno v součinnosti s profesí MaR. Uživatel musí být řádně seznámen s funkcí, provozem a údržbou zařízení.
- VZT zařízení, seřízená a odevzdaná do trvalého provozu, smí být obsluhována pouze řádně zaškolenými pracovníky, a to dle provozních předpisů dodavatelů vzduchotechnických zařízení, pokud není v projektové dokumentaci uvedeno jinak. Při provozu odpovídá za bezpečnost práce provozovatel. Všechny podmínky pro bezpečnou práci musí být uvedeny v provozním řádu. Vypracování provozního řádu včetně zaškolení obsluhy zajistí dodavatel.
- VRF systém a split systém smí obsluhovat pouze řádně zaškolen pracovník, a to dle provozních předpisů dodavatelů zařízení, pokud není v projektové dokumentaci uvedeno jinak. Při provozu odpovídá za bezpečnost práce provozovatel. Při provozu odpovídá za bezpečnost práce provozovatel. Všechny podmínky pro bezpečnou práci musí být uvedeny v provozním řádu. Vypracování provozního řádu včetně zaškolení obsluhy zajistí dodavatel. Ovládání vnitřních jednotek mohou také samotní zaměstnanci v daném objektu po obeznámení se s daným systémem a možnostmi regulace.

- VZT zařízení, VRF systém a split systém musí být pravidelně kontrolován, čištěn a udržována stále v provozuschopném stavu. Okolí zařízení musí být vždy čisté a přístupné pro snadnou kontrolu a bezpečnou obsluhu nebo údržbu. Vizuálně bude hygienická účinnost provozu (filtrační část) jednotlivých VZT zařízení kontrolována nejméně jednou týdně, v rámci profese MaR bude kontrolováno zanášení jednotlivých stupňů filtrace (pomocí měření tlakové diference filtrů). O kontrolách a údržbě musí být veden záznam a jejich frekvence bude určena v provozním řádu – zajistí dodavatel.
- Výměna dílčích prvků vzduchotechnických zařízení a následné nakládání s nimi bude prováděna podle předpisů jednotlivých výrobců.
- Navržená VZT zařízení, VRF systém a split systém budou řízena a regulována samostatným systémem měření a regulace – profese MaR. Údržbu a kontrolu nad chodem zařízení bude zajišťovat technický pracovník pobočky banky v Brně, který je pro tuto činnost zaškolen.

11. Závěr

Navržené varianty splňují nároky na provoz daného typu a charakteru. V daných místnostech zabezpečují optimální pohodu prostředí požadovanou předpisy. První varianta je z ekonomického hlediska nejvýhodnější. Pro komfort uživatele je ale výhodnější druhá varianta. Počáteční náklady jsou větší, ale provozní jsou stejné. Třetí varianta je pro uživatele nejkomfortnější. Počáteční náklady a náklady na provoz jsou ale největší.

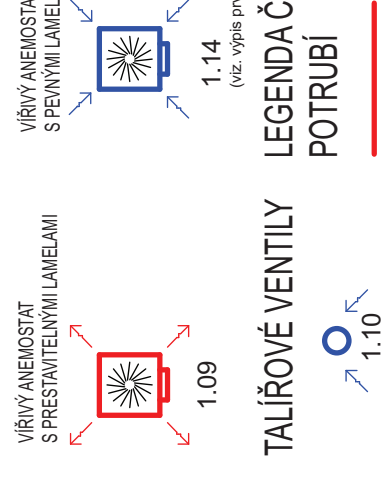
LEGENDA V7T ZÁŘÍZENÍ



| | | |
|---|---|------------------------------------|
| PROJEKTANT: B.C. JURAJ GAŠPÁR | PROJEKT: DIPLOMOVÁ PRÁCE | INVESTOR: Č. ZAKÁZKY: |
| VÝPRACOVÁL: B.C. JURAJ GAŠPÁR | | STATUS DOKUMENTACE: |
| VEDOUcí: doc. Ing. ALEŠ RUBINA Ph.D. | | MÉRITKO: 1:50 |
|  | POBOČKA BANKY PŮDORYS 1NP 1. varianta | VÝKRES č.: 1 Č. DOKUMENTACE: |
| | | FORMAT: A2 |
| | | DATUM: ZS 2012 |
| | | JAZYK: CS |
| | | POČET A4: 4 |

LEGENDA VZT ZAŘÍZENÍ

ANEMOSTATY



PŘIVODNÍ POTRUBÍ

ODVODNÍ POTRUBÍ



TEPELNÁ IZOLACE

TEPELNÁ IZOLACE TL.30MM



TEPELNÁ IZOLACE

TEPELNÁ IZOLACE TL.30MM

OHEBNÁ HADICE

OHEBNÁ HADICE

OHEBNÁ HADICE

OHEBNÁ HADICE



TEPELNÁ IZOLACE

TEPELNÁ IZOLACE TL.30MM

*Všechny místnosti jsou se sádrokartonovým podhledem

*Všechny místnosti jsou se sádrokartonovým podhledem

TEPELNÁ IZOLACE

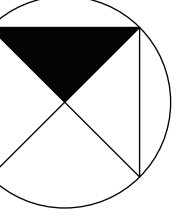
TEPELNÁ IZOLACE TL.30MM

TEPELNÁ IZOLACE

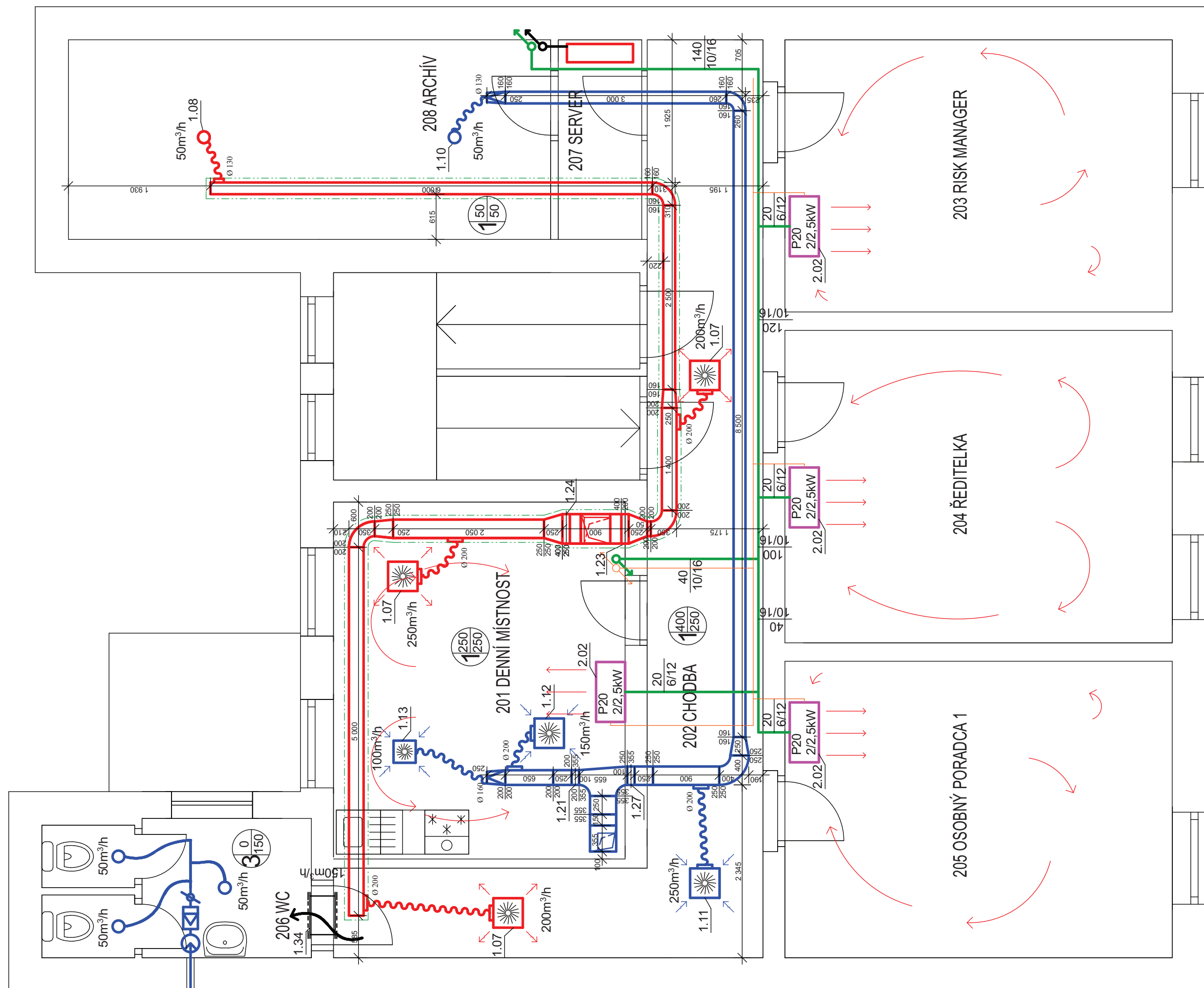
TEPELNÁ IZOLACE TL.30MM

TEPELNÁ IZOLACE

TEPELNÁ IZOLACE TL.30MM



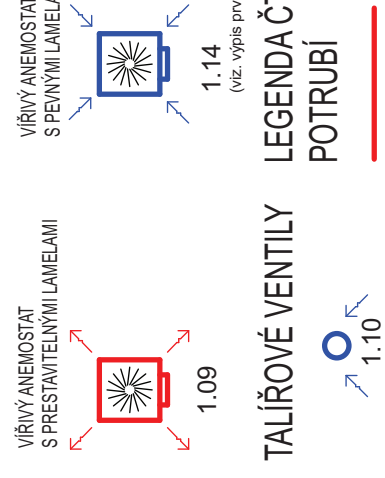
S



| | |
|---|-------------------------------|
| PROJEKTANT: Bc. JURAJ GAŠPÁR | PROJEKT: DIPLOMOVÁ PRÁCE |
| VÝPRAVOVÁ: Bc. JURAJ GAŠPÁR | C. ZAKÁZKY: |
| REZULTUJÍCÍ: doc. Ing. ALEŠ RUBINA Ph.D. | STATUS Dokumentace: |
| | MERINKO: POBOČKA BANKY |
| | VÝKRES Č.: PŮDORYS 2NP |
| | Jazyk: 1. varianta |
| | FORMAT: A2 |
| | DATUM: 25. 2. 2012 |
| | C S |
| | POČET A4: 4 |
| | VYSOKÉ UČENÍ TECHNICKÉ V BRNĚ |
| | FAKULTA STAVEBNÍ |

LEGENDA VZT ZAŘÍZENÍ

ANEMOSTATY



TALÍŘOVÉ VENTILY
1.10
LEGENDA ČTYŘHŘANNÉHO
POTRUBÍ
PŘIVODNÍ POTRUBÍ
ODVODNÍ POTRUBÍ

REGULAČNÍ KLAPKY
1.26
STĚNOVÉ A DVĚRVNÍ MŘÍŽKY
1.31
1.33
1.32

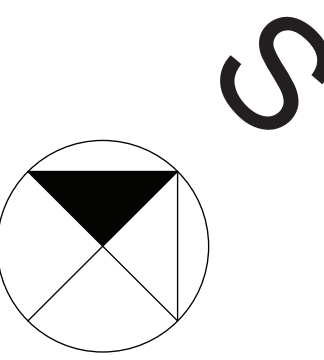
TEPELNÁ IZOLACE
— TEPELNÁ IZOLACE TL.30MM

OHEBNÁ HADICE
2.01
OHEBNÁ HADICE SONOFLEX(TL. VIZ PŮDORYS)
2.02
ODVOD KONDENZÁTU
ROZVOD CHLADIVA

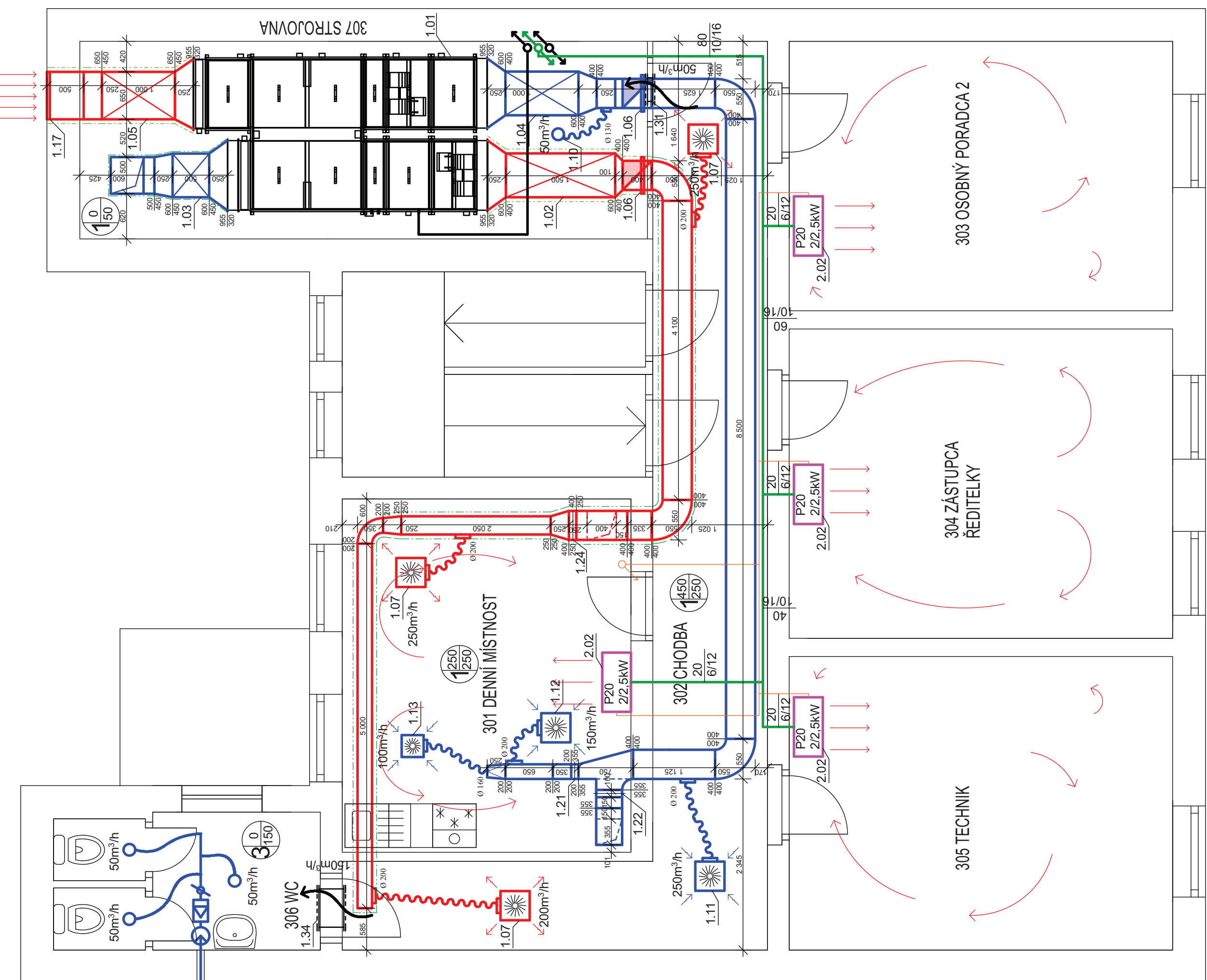
PMFY VNITŘNÍ KAZETOVÁ JEDNOTKA

PŘIVOD VZDUCHU (m³/h)
1450
ODVOD VZDUCHU (m³/h)
1250
ČÍSLO VZT ZAŘÍZENÍ
1016

*Všechny místnosti jsou se sádrokartonovým podhledem

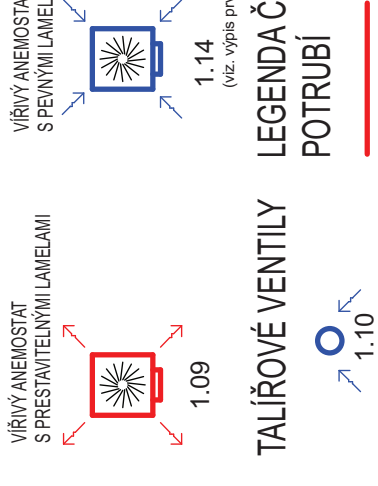


| | | | |
|------------------|-------------------------------|---------------------|---------------------|
| PROJEKTANT: | Bc. JURAJ GAŠPÁR | PROJEKT: | VÝPRAVOVÁ |
| VÝPRAVOVÁ: | Bc. JURAJ GAŠPÁR | PRÁCE | PRÁCE |
| REZULTÁT: | doc. Ing. ALEŠ RUBINA Ph.D. | STATUS DOKUMENTACE: | STATUS DOKUMENTACE: |
| POBOČKA BANKY: | PBOČKA BANKY | MĚRKO: | MĚRKO: 1:50 |
| PŮDORYS ZNP: | PŮDORYS ZNP | C. DOKUMENTACE: | C. DOKUMENTACE: |
| 1. varianta | 1. varianta | JAZYK: | JAZYK: Český |
| FAKULTA STAVEBNÍ | VYSOKÉ UČENÍ TECHNICKÉ V BRNĚ | FORMAT: | FORMAT: A2 |
| | | DATUM: | DATUM: 25. 2. 2012 |
| | | POČET: | POČET: 4 |

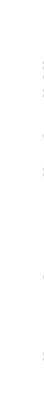


LEGENDA VZT ZAŘÍZENÍ

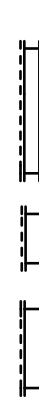
ANEMOSTATY



TALÍŘOVÉ VENTILY



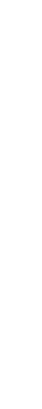
PŘIVODNÍ POTRUBÍ



LEGENDA ČTYŘHRAVNÉHO



LEGENDA ČTYŘHRAVNÉHO



PŘIVODNÍ POTRUBÍ



TEPELNÁ IZOLACE

— · · · — TEPELNÁ IZOLACE TL. 30MM

OHEBNÁ HADICE



OHEBNÁ HADICE SONOFLEX(TL. VIZ PŮDORYS)



OHEBNÁ HADICE



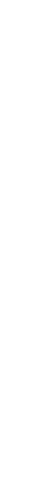
PMFV VNITŘNÍ KAZETOVÁ JEDNOTKA



REGULAČNÍ KLAPKY



STĚNOVÉ A DVĚRNÍ MŘÍŽKY



TEPELNÁ IZOLACE



TEPELNÁ IZOLACE



VÍRY ANEMOSTAT
S PESTANTELNÝMI LAMELMAMI



VÍRY ANEMOSTAT

*VŠECHNY MÍSTNOSTI JSOU SE SÁDKOKARTONOVÝM PODHLÍDEDEM

PMFV VNITŘNÍ KAZETOVÁ JEDNOTKA



REGULAČNÍ KLAPKY



STĚNOVÉ A DVĚRNÍ MŘÍŽKY



TEPELNÁ IZOLACE



TEPELNÁ IZOLACE



TEPELNÁ IZOLACE



TEPELNÁ IZOLACE



TEPELNÁ IZOLACE



TEPELNÁ IZOLACE



TEPELNÁ IZOLACE



TEPELNÁ IZOLACE



TEPELNÁ IZOLACE



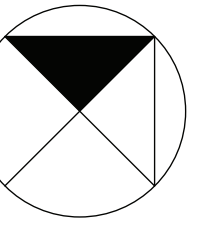
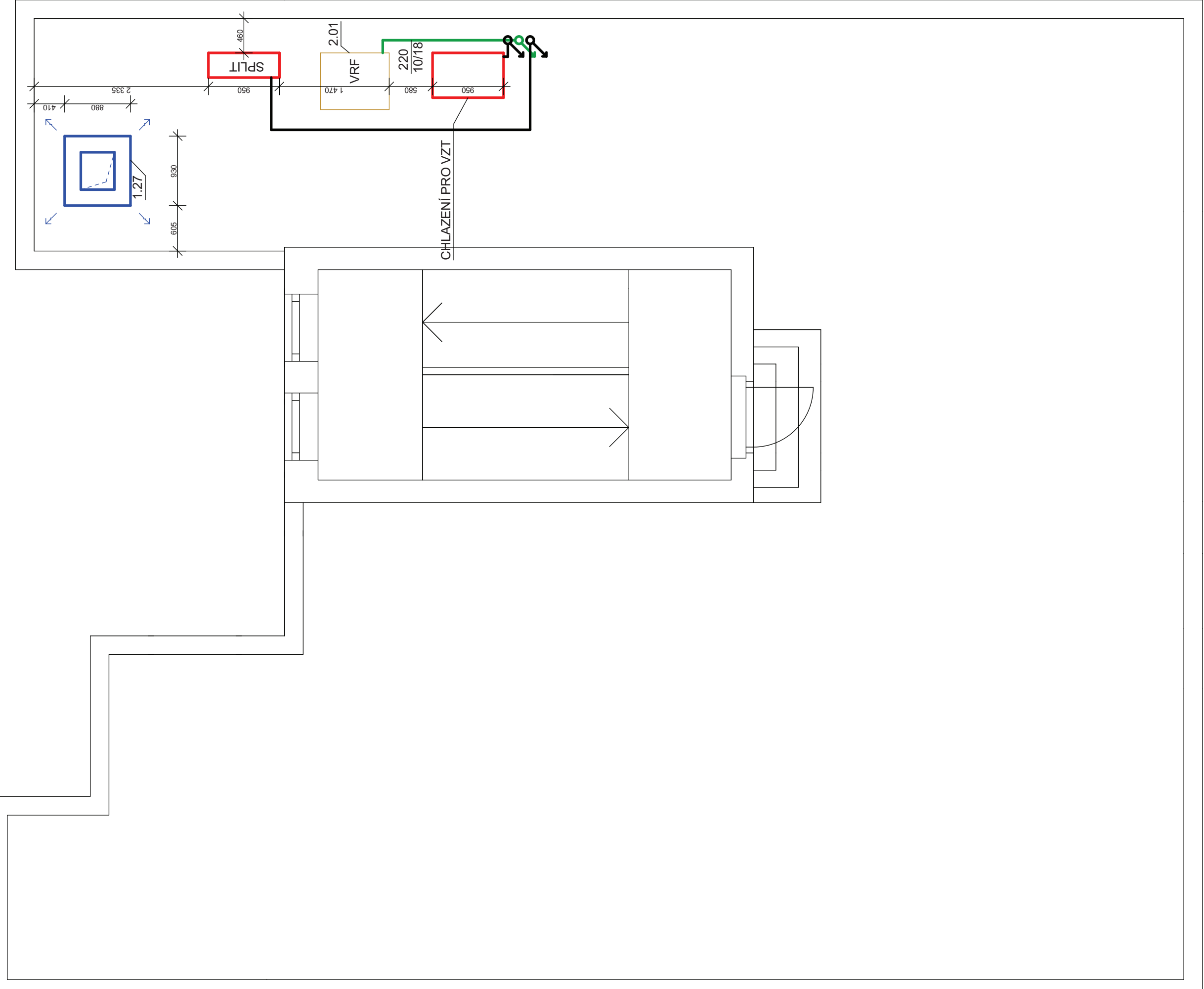
TEPELNÁ IZOLACE



TEPELNÁ IZOLACE



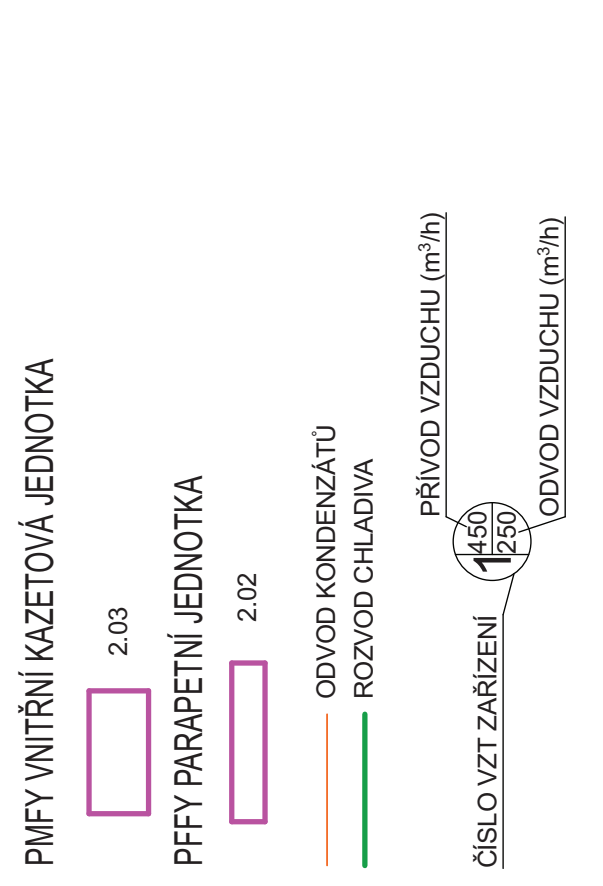
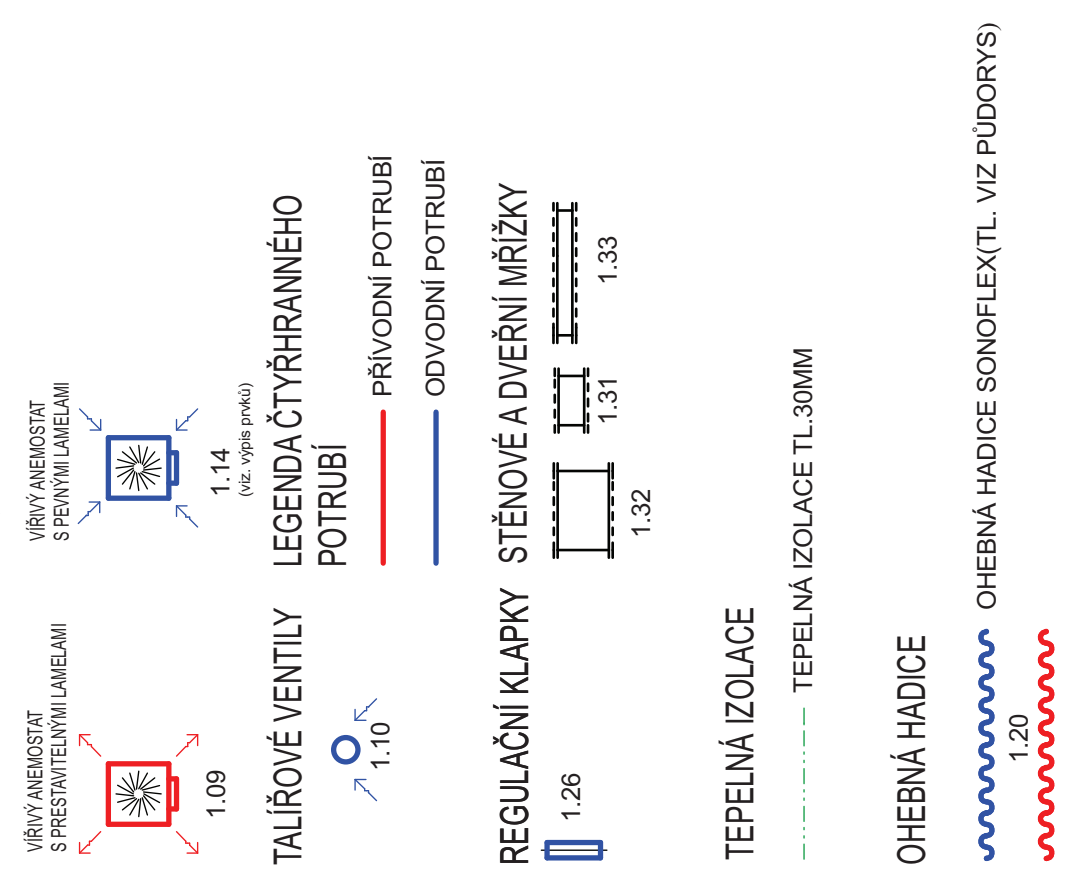
TEPELNÁ IZOLACE



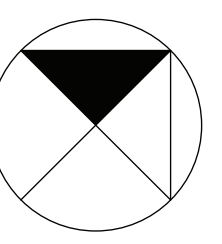
S

| | | |
|---|-----------------|------------------------|
| PROJEKTANT: Bc. JURAJ GAŠPÁR | PROJEKT: | INVESTOR: |
| VÝPRAZOVAL: Bc. JURAJ GAŠPÁR | DIPLOMOVÁ PRÁCE | Č. ZAKÁZKY: |
| REZULTUJÍCÍ: doc. Ing. ALEŠ RUBINA Ph.D. | | STATUS Dokumentace: |
|  | POBOČKA BANKY | MĚRKO: |
| | PŮDORYS střecha | TYKRES č.: 1 |
| 1.varianta | 1. varianta | Jazyk: C. dokumentace: |
| A2 | ZS 2012 | FORMAT: A2 |
| C S | C S | POČET A4: |
| | | 4 |

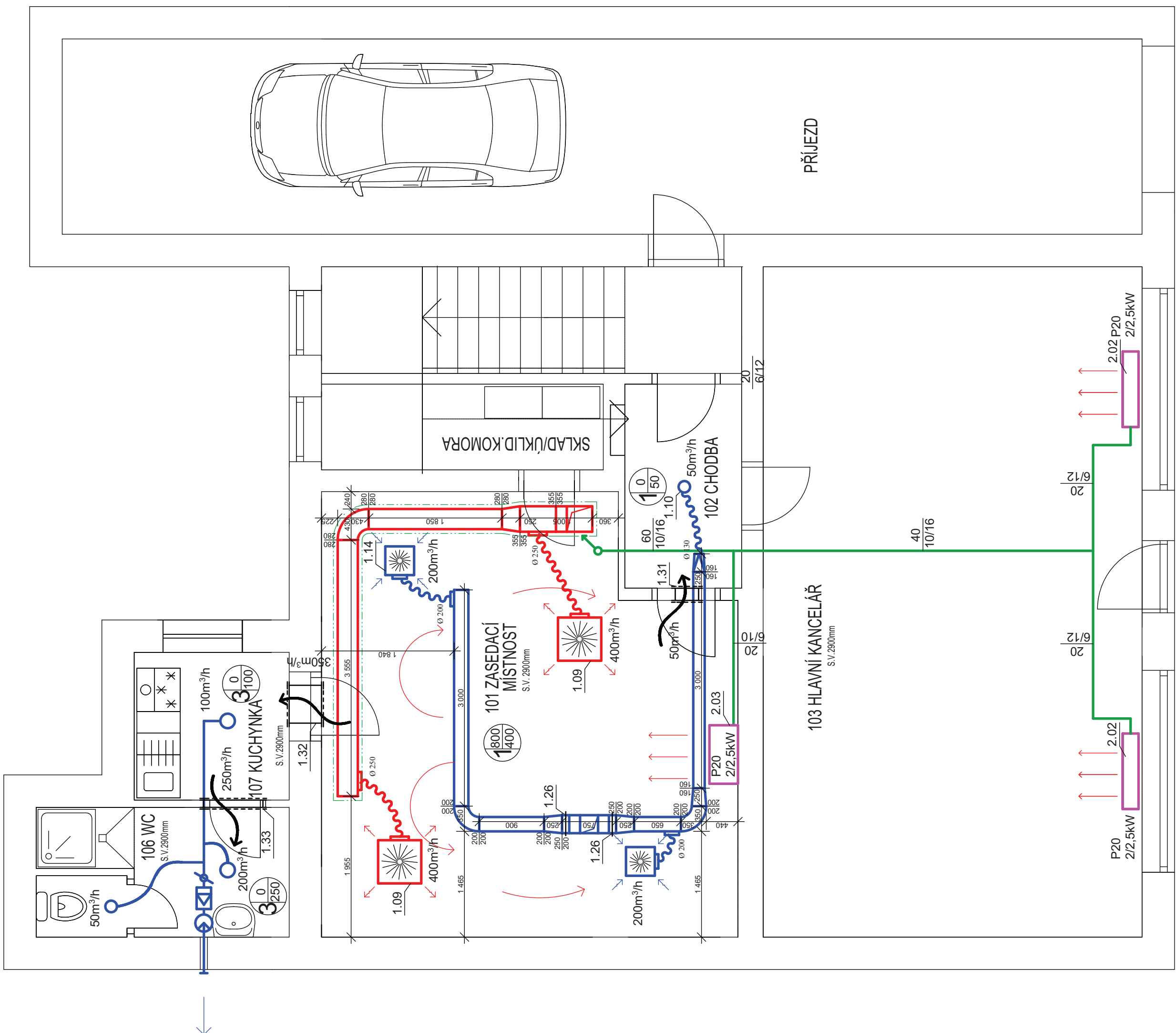
LEGENDA V7T ZÁŘÍZENÍ



* VSECHNY MISTNOSTI JSOU SE SADROKARTONOVYM PODHLEDEM

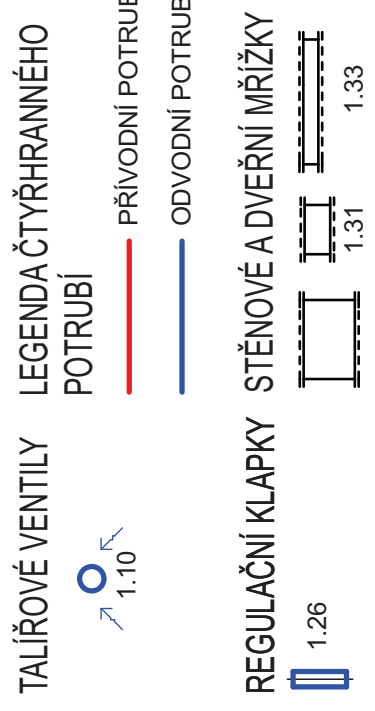
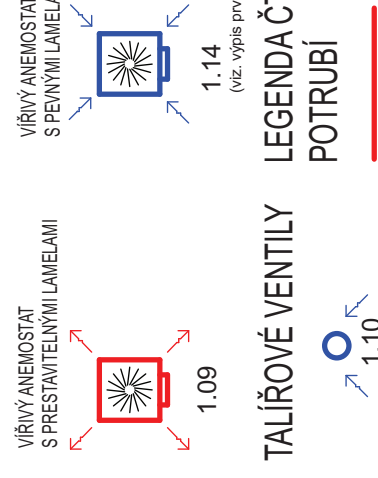


8



LEGENDA VZT ZAŘÍZENÍ

ANEMOSTATY



TEPELNÁ IZOLACE

REGULAČNÍ KLAPKY

STĚNOVÉ A DVĚRVNÍ MŘÍŽKY

LEGENDA ČTYŘHRAHNÉHO POTRUBÍ

PŘIVODNÍ POTRUBÍ

PMFY VNITŘNÍ KAZETOVÁ JEDNOTKA

PFFY PARAPETNÍ JEDNOTKA

ODVOD KONDENZÁTU

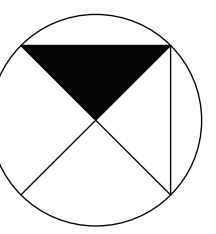
ROZVOD CHLADIVA

PŘIVOD VZDUCHU (m³/h)

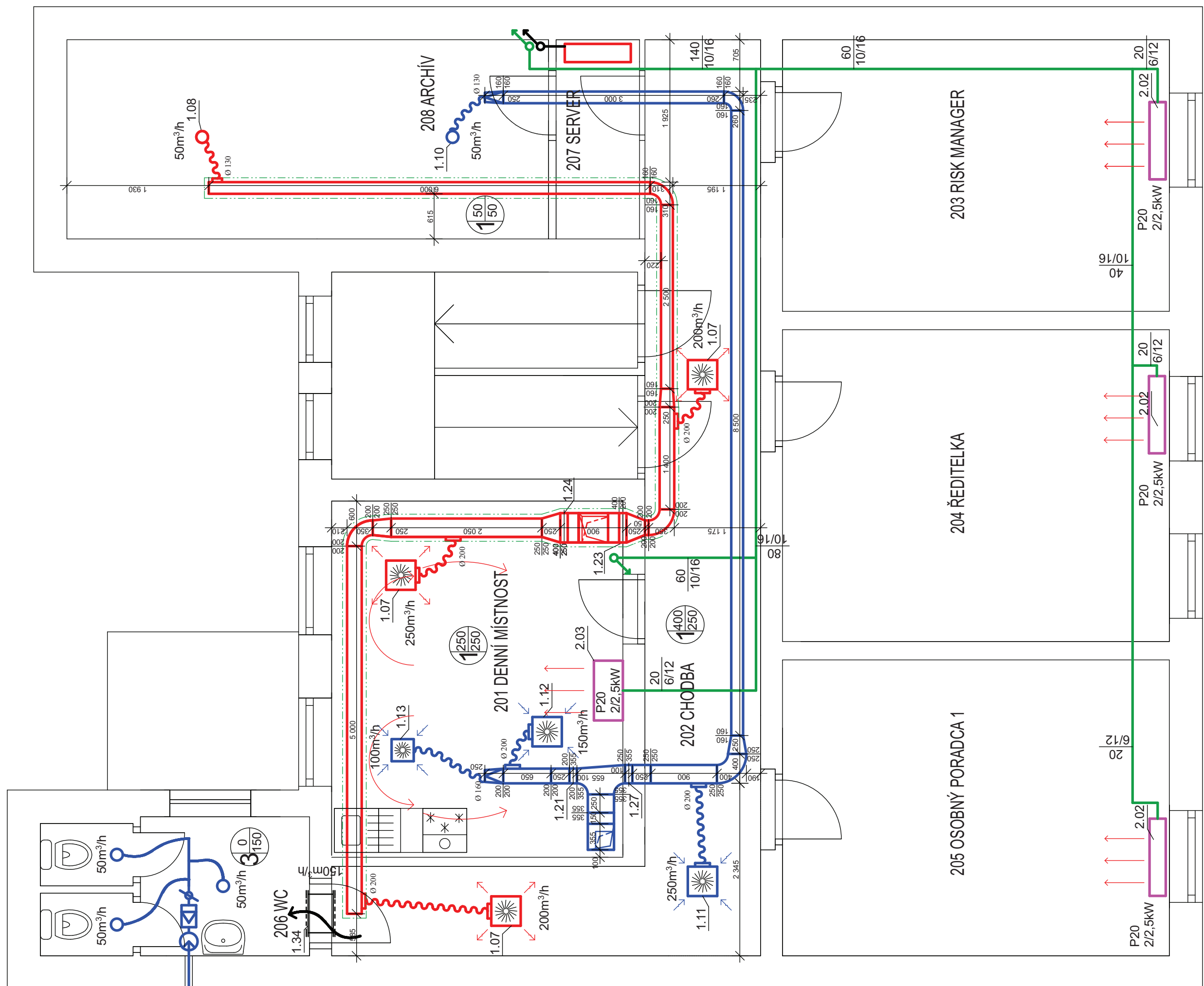
ODVOD VZDUCHU (m³/h)

ČÍSLO VZT ZAŘÍZENÍ

*VŠECHNY MÍSTNOSTI JSOU SE SÁDKOKARTONOVÝM PODHLEDEM

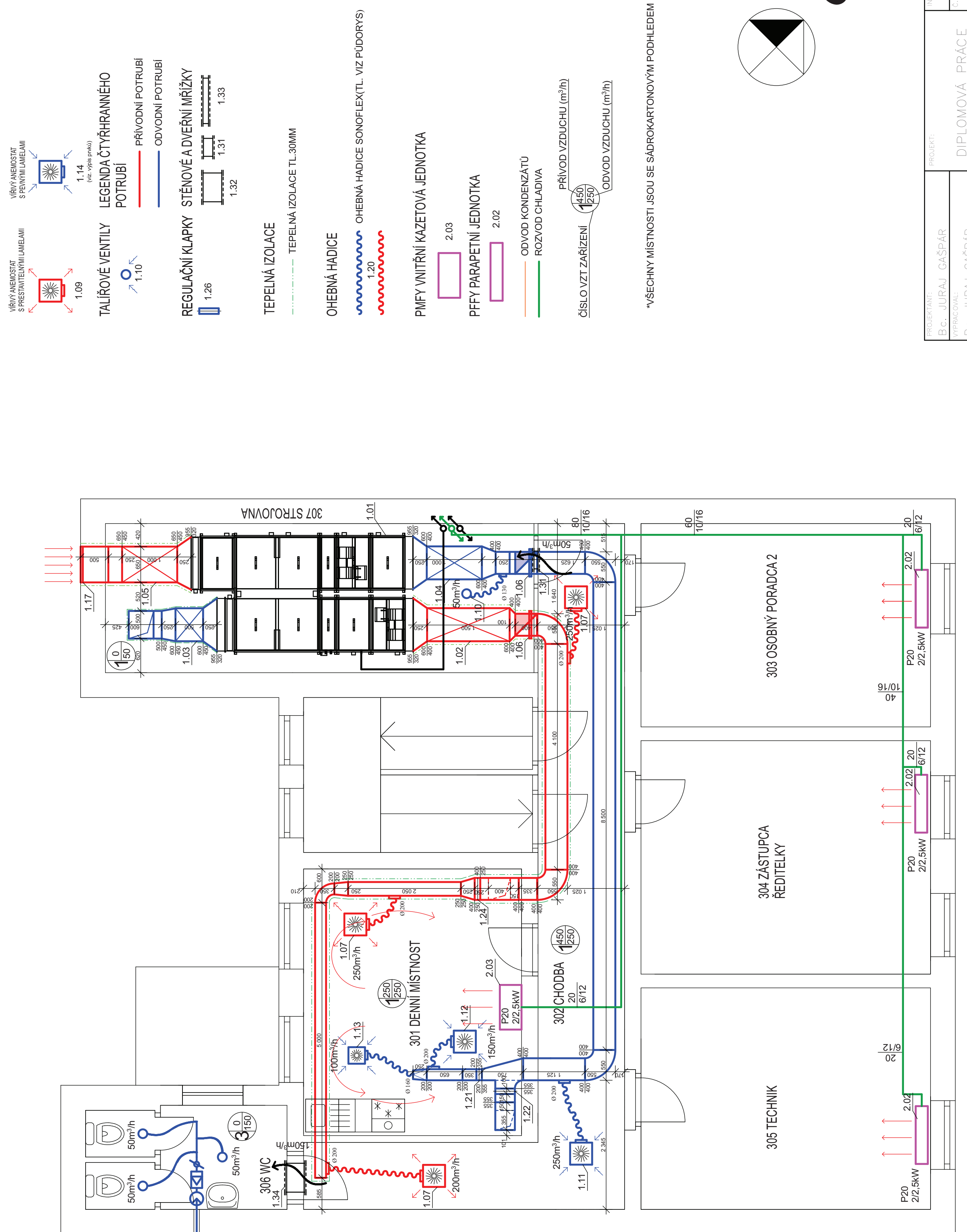


S



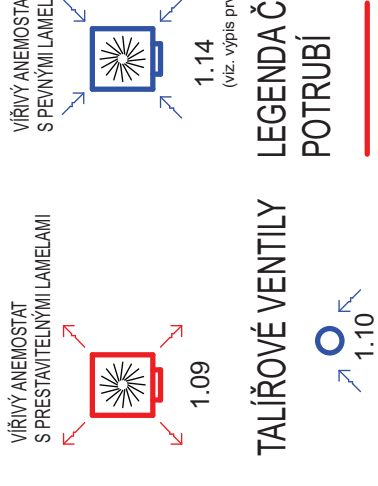
| | | | |
|-------------------------------|-----------------------------|---------------------|---------|
| PROJEKTANT: | Bc. JURAJ GAŠPÁR | INVESTOR: | |
| VÝPRAVOVÁ: | Bc. JURAJ GAŠPÁR | Č. ZAKÁZKY: | |
| REZULTÁT: | doc. Ing. ALEŠ RUBINA Ph.D. | STATUS Dokumentace: | |
| FORMAT: | Pobočka BANKY | MĚRKO: | 1/50 |
| Jazyk: | PUDORYS 2NP | VÝKRES Č.: | 1 |
| VYSOKÉ UČENÍ TECHNICKÉ V BRNĚ | 2. varianta | C. DOKUMENTACE: | |
| FAKULTA STAVEBNÍ | | DATUM: | ZS 2012 |
| | | POČET A4: | 4 |

LEGENDA VZT ZÁŘÍZENÍ



LEGENDA VZT ZAŘÍZENÍ

ANEMOSTATY



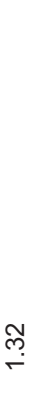
TALÍŘOVÉ VENTILY



PŘIVODNÍ POTRUBÍ

ODVODNÍ POTRUBÍ

LEGENDA ČTYŘHRAVNÉHO
POTRUBÍ



REGULAČNÍ KLAPKY



STĚNOVÉ A DVĚRNÍ MŘÍŽKY



TEPELNÁ IZOLACE



TEPELNÁ IZOLACE TL.30MM

OHEBNÁ HADICE



OHEBNÁ HADICE SONOFLEX(TL. VIZ PŮDORYS)



PMFV VNITŘNÍ KAZETOVÁ JEDNOTKA



ODVOD KONDENZÁTU

ROZVOD CHLADIVÁ

PŘIVOD VZDUCHU (m³/h)



ODVOD VZDUCHU (m³/h)



ČÍSLO VZT ZAŘÍZENÍ

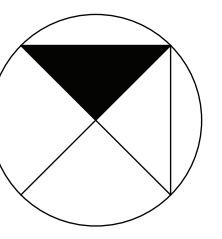


PŘIVOD VZDUCHU (m³/h)



ODVOD VZDUCHU (m³/h)

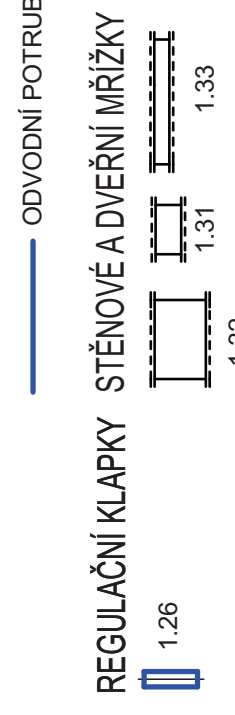
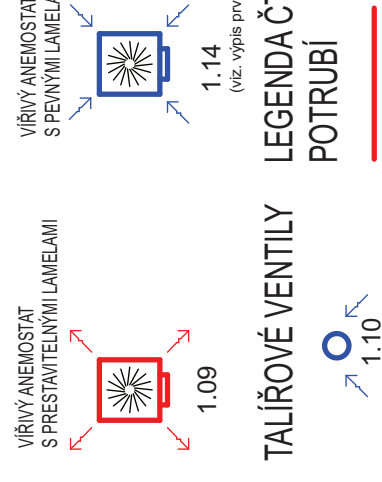
*VŠECHNY MÍSTNOSTI JSOU SE SÁDKOKARTONOVÝM PODHLÍDEDEM



| | | | |
|-------------|-----------------------------|---------------------|-------------------------------|
| PROJEKTANT: | Bc. JURAJ GAŠPÁR | PROJEKT: | |
| VÝPRAZOVAL: | Bc. JURAJ GAŠPÁR | DIPLOMOVÁ PRÁCE | |
| REZULTUJÍ: | doc. Ing. ALEŠ RUBINA Ph.D. | STATUS Dokumentace: | |
| | | PODOČKA BANKY | MĚRKO: 1:50 |
| | | PŮDORYS střecha | VÝKRES Č.: 1 |
| | | 2. varianta | C. DOKUMENTACE: |
| | | | JAZYK: CZ 2012 |
| | | | FORMAT: A2 |
| | | | POČET A4: |
| | | | CS 4 |
| | | | VYSOKÉ UČENÍ TECHNICKÉ V BRNĚ |
| | | | FAKULTA STAVEBNÍ |

LEGENDA VZT ZAŘÍZENÍ

ANEMOSTATY



TEPELNÁ IZOLACE
— — — — TEPELNÁ IZOLACE TL.30MM

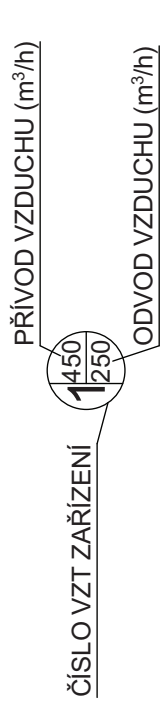
OHEBNÁ HADICE



PMFY VNITŘNÍ KAZETOVÁ JEDNOTKA

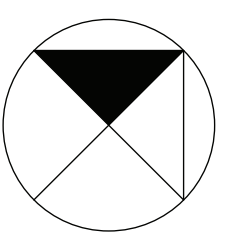


ODVOD KONDENZÁTU
ROZVOD CHLADIVA

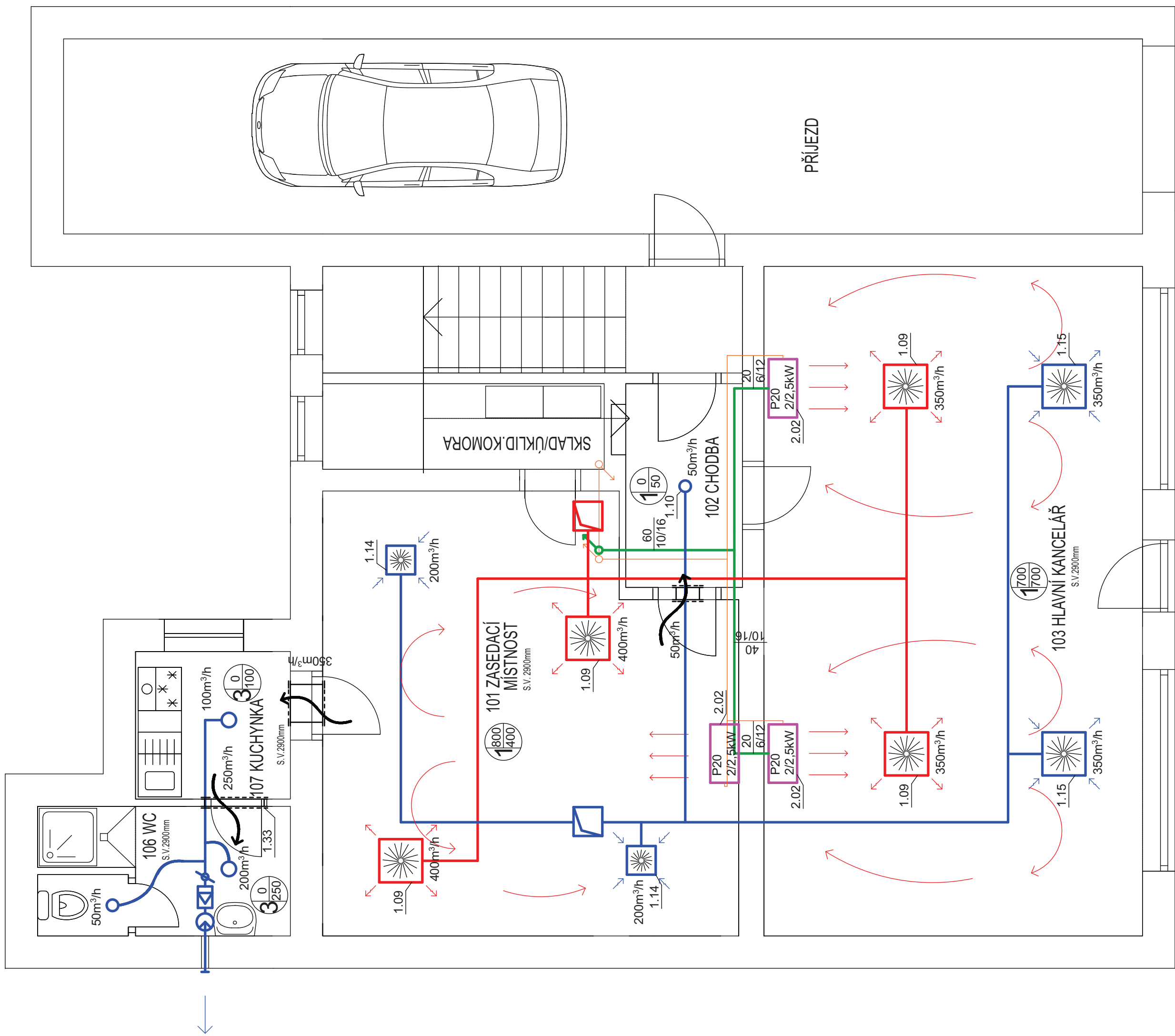


ČÍSLO VZT ZAŘÍZENÍ
PŘIVOD VZDUCHU (m³/h)
ODVOD VZDUCHU (m³/h)

*VŠECHNY MÍSTNOSTI JSOU SE SÁDKOKARTONOVÝM PODHLEDEM

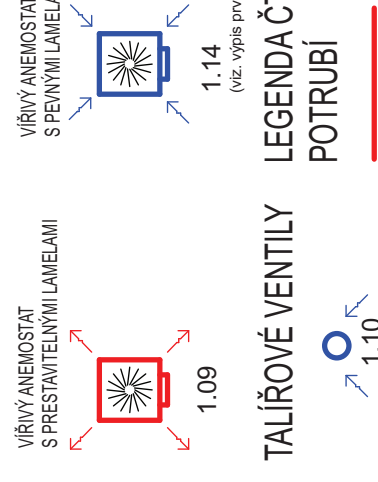


| | | | |
|-------------|-----------------------------|-------------------------------|--------------|
| PROJEKTANT: | Bc. JURAJ GAŠPÁR | PROJEKT: | |
| VÝPRAVOVÁ: | Bc. JURAJ GAŠPÁR | DIPLOMOVÁ PRÁCE | |
| REZULTÁT: | doc. Ing. ALEŠ RUBINA Ph.D. | STATUS Dokumentace: | |
| | | MĚRKO: | 1.50 |
| | | C. DOKUMENTACE: | TYKRES Č.: 1 |
| | | JAZYK: | Czech |
| | | FORMAT: | A2 |
| | | DATUM: | ZS 2012 |
| | | FAKULTA: | STAVEBNÍ |
| | | VYSOKÉ UČENÍ TECHNICKÉ V BRNĚ | |
| | | POČET A4: | 4 |



LEGENDA VZT ZAŘÍZENÍ

ANEMOSTATY



TALÍŘOVÉ VENTILY
LEGENDA ČTYŘHŘANNÉHO
POTRUBÍ
PŘIVODNÍ POTRUBÍ
ODVODNÍ POTRUBÍ

REGULAČNÍ KLAPKY
STĚNOVÉ A DVĚRVNÍ MŘÍŽKY
TEPELNÁ IZOLACE
LEGENDA ČTYŘHŘANNÉHO
POTRUBÍ
PŘIVODNÍ POTRUBÍ
ODVODNÍ POTRUBÍ

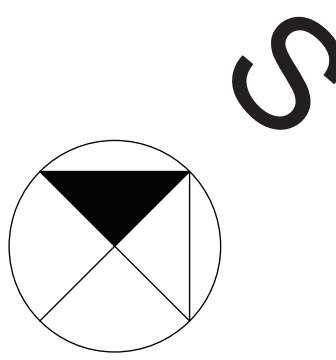
TEPELNÁ IZOLACE
LEGENDA ČTYŘHŘANNÉHO
POTRUBÍ
PŘIVODNÍ POTRUBÍ
ODVODNÍ POTRUBÍ

OHEBNÁ HADICE
REGULACE
LEGENDA ČTYŘHŘANNÉHO
POTRUBÍ
PŘIVODNÍ POTRUBÍ
ODVODNÍ POTRUBÍ

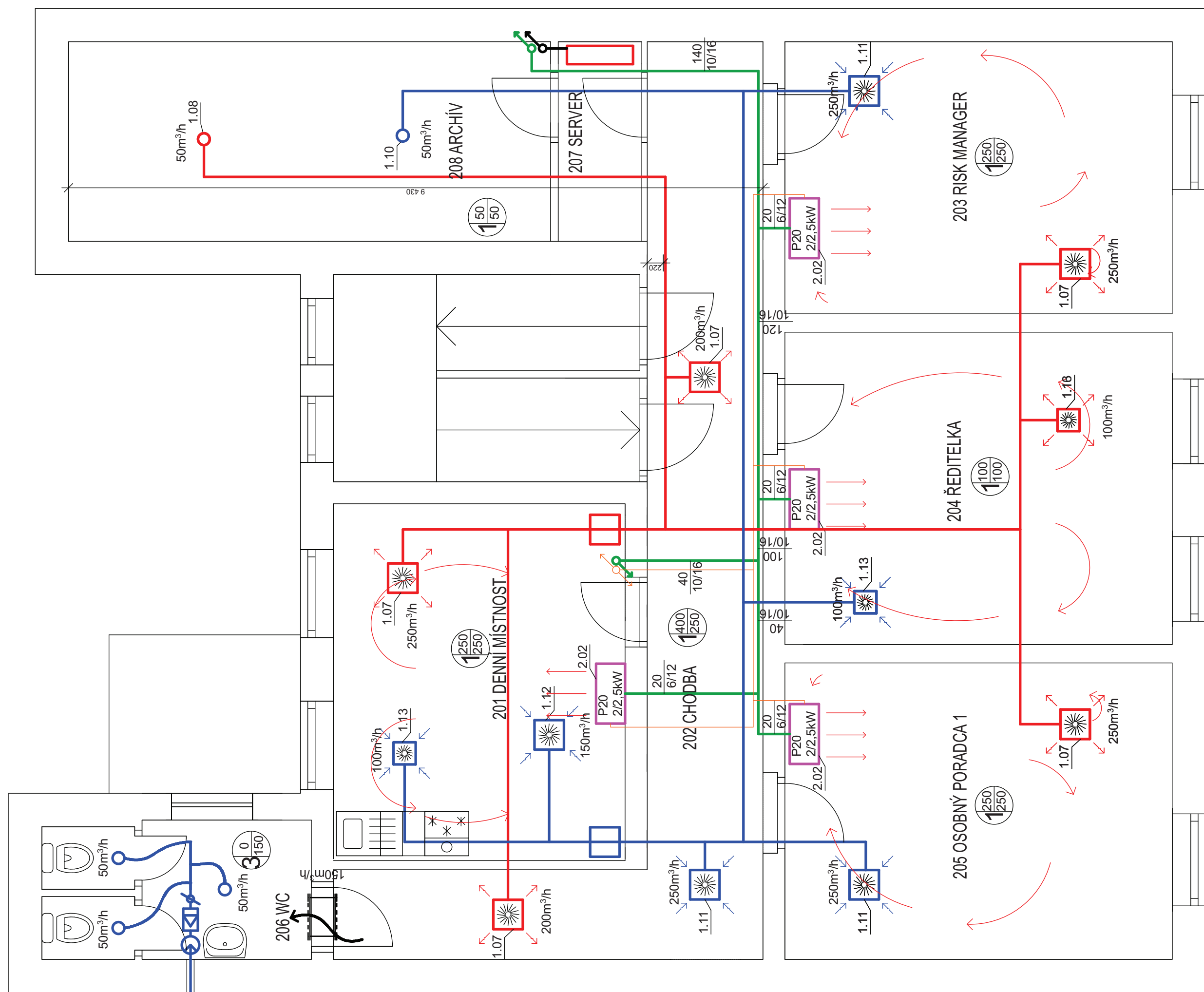
PMFY VNITŘNÍ KAZETOVÁ JEDNOTKA
OHEBNÁ HADICE SONOFLEX TL. 30MM
TEPELNÁ IZOLACE
LEGENDA ČTYŘHŘANNÉHO
POTRUBÍ
PŘIVODNÍ POTRUBÍ
ODVODNÍ POTRUBÍ

PMFY VNITŘNÍ KAZETOVÁ JEDNOTKA
OHEBNÁ HADICE SONOFLEX TL. 30MM
TEPELNÁ IZOLACE
LEGENDA ČTYŘHŘANNÉHO
POTRUBÍ
PŘIVODNÍ POTRUBÍ
ODVODNÍ POTRUBÍ

*VŠECHNY MÍSTNOSTI JSOU SE SÁDKOKARTONOVÝM PODHLEDEM

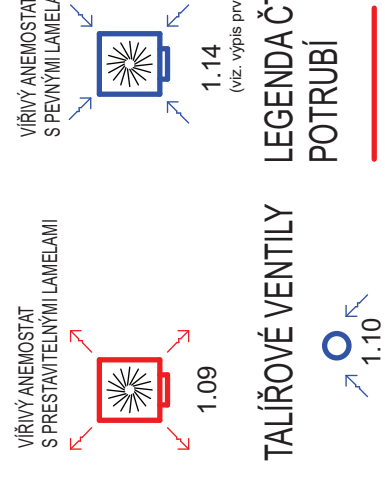


| | | | |
|-------------|-----------------------------|-------------------------------|---------|
| PROJEKTANT: | Bc. JURAJ GAŠPÁR | PROJEKT: | |
| VÝPRAVOVÁ: | Bc. JURAJ GAŠPÁR | Č. ZAKÁZKY: | |
| REZULTU: | doc. Ing. ALEŠ RUBINA Ph.D. | STATUS Dokumentace: | |
| | | MERINKO: | 1.50 |
| | | Č. DOKUMENTACE: | 1 |
| | | Jazyk: | Czech |
| | | FORMAT: | A2 |
| | | DATUM: | ZS 2012 |
| | | POČET A4: | 4 |
| | | VYSOKÉ UČENÍ TECHNICKÉ V BRNĚ | |
| | | FAKULTA STAVEBNÍ | |



LEGENDA VZT ZAŘÍZENÍ

ANEMOSTATY



TALÍŘOVÉ VENTILY

POTRUBÍ

PŘIVODNÍ POTRUBÍ

ODVODNÍ POTRUBÍ

LEGENDA ČTYŘHŘANNÉHO
POTRUBÍ

TEPELNÁ IZOLACE

REGULAČNÍ KLAPKY

STĚNOVÉ A DVĚRVNÍ MŘÍŽKY

1.26

1.31

1.33

1.32

LEGENDA ČTYŘHŘANNÉHO
POTRUBÍ

PŘIVODNÍ POTRUBÍ

ODVODNÍ POTRUBÍ

TEPELNÁ IZOLACE

OHEBNÁ HADICE

1.20

OHEBNÁ HADICE SONOFLEX TL. 30MM

2.02

PMFY VNITŘNÍ KAZETOVÁ JEDNOTKA

1.07

1.12

1.13

1.14

1.15

1.16

1.17

1.18

1.19

1.20

1.21

1.22

1.23

1.24

1.25

1.26

1.27

1.28

1.29

1.30

1.31

1.32

1.33

1.34

1.35

1.36

1.37

1.38

1.39

1.40

1.41

1.42

1.43

1.44

1.45

1.46

1.47

1.48

1.49

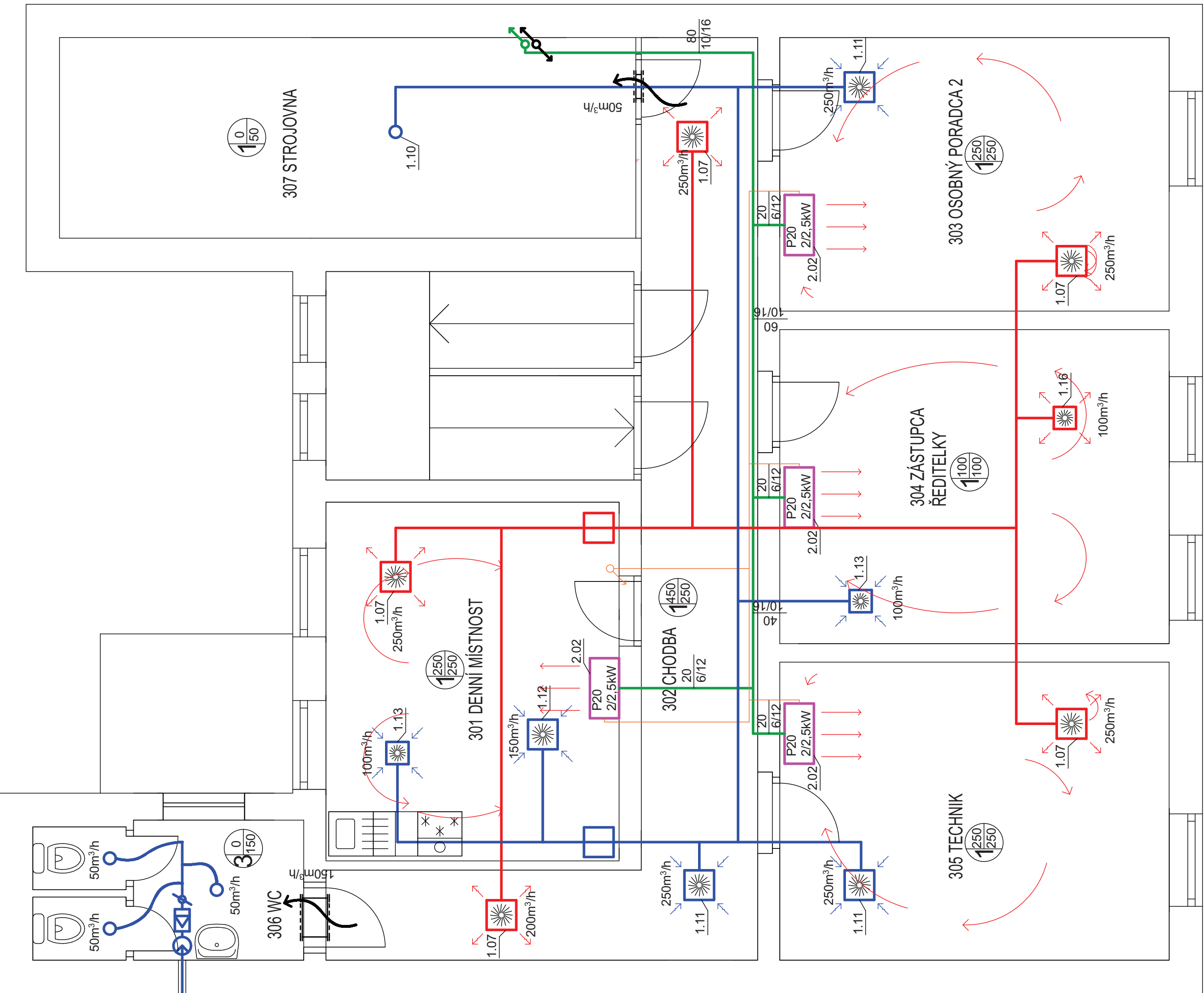
1.50

1.51

1.52

1.53

1.54

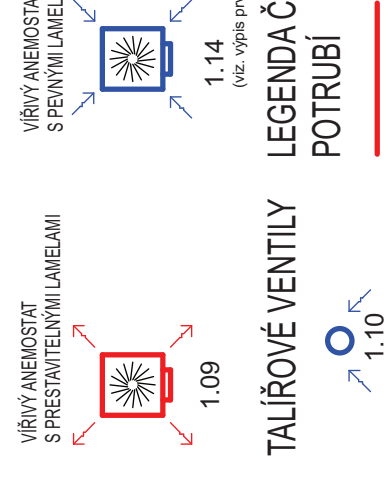


| | | | |
|-------------------------------|-----------------------------|------------------|---------|
| PROJEKTANT: | Bc. JURAJ GAŠPÁR | PROJEKT: | |
| VÝPRAVOVÁ: | Bc. JURAJ GAŠPÁR | DIPLOMOVÁ PRÁCE | |
| REZULTU: | doc. Ing. ALEŠ RUBINA Ph.D. | | |
| PROJEKTANT: | POBOČKA BANKY | MĚRKO: | 1.50 |
| VÝPRAVÁ: | PŮDORYS 3NP | C. DOKUMENTACE: | |
| REZULTU: | 3. varianta | Jazyk: | ČESKÝ |
| FORMAT: | A2 | DATUM: | ZS 2012 |
| POČET A4: | 4 | C S | |
| VYSOKÉ UČENÍ TECHNICKÉ V BRNĚ | | FAKULTA STAVEBNÍ | |

S

LEGENDA VZT ZAŘÍZENÍ

ANEMOSTATY



TALÍŘOVÉ VENTILY

POTRUBÍ

PŘIVODNÍ POTRUBÍ

ODVODNÍ POTRUBÍ

LEGENDA ČTYŘHŘANNÉHO
POTRUBÍ

PŘIVODNÍ POTRUBÍ

ODVODNÍ POTRUBÍ

TEPELNÁ IZOLACE

— TEPELNÁ IZOLACE TL.30MM

OHEBNÁ HADICE



LEGENDA ČTYŘHŘANNÉHO
POTRUBÍ

PŘIVODNÍ POTRUBÍ

ODVODNÍ POTRUBÍ

STĚNOVÉ A DVĚRVNÍ MŘÍŽKY

PŘIVODNÍ POTRUBÍ

ODVODNÍ POTRUBÍ

REGULAČNÍ KLAPKY

PŘIVODNÍ POTRUBÍ

ODVODNÍ POTRUBÍ

PMFV VNITŘNÍ KAZETOVÁ JEDNOTKA

PŘIVODNÍ POTRUBÍ

ODVODNÍ POTRUBÍ

PMFV VNITŘNÍ KAZETOVÁ JEDNOTKA

PŘIVODNÍ POTRUBÍ

ODVODNÍ POTRUBÍ

PŘIVOD VZDUCHU (m³/h)

ODVOD VZDUCHU (m³/h)

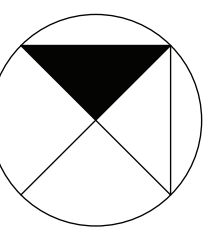
PŘIVOD VZDUCHU (m³/h)

ODVOD VZDUCHU (m³/h)

PŘIVOD VZDUCHU (m³/h)

ODVOD VZDUCHU (m³/h)

*VŠECHNY MÍSTNOSTI JSOU SE SÁDKOKARTONOVÝM PODHLEDEM



S

| | | | |
|-------------------------------|-----------------------------|---------------------|---------------|
| PROJEKTANT: | Bc. JURAJ GAŠPÁR | PROJEKT: | |
| VÝPRAZOVAL: | Bc. JURAJ GAŠPÁR | DIPLOMOVÁ PRÁCE | |
| REZULTUJÍCÍ: | doc. Ing. ALEŠ RUBINA Ph.D. | STATUS Dokumentace: | |
| | | PODOČKA BANKY | MERITKO: 1:50 |
| | | PŮDORYS střechy | VÝKRES Č.: 1 |
| VYSOKÉ UČENÍ TECHNICKÉ V BRNĚ | 3. varianta | C. DOKUMENTACE: | JAZYK: CS |
| FAKULTA STAVEBNÍ | | FORMAT: A2 | POČET A4: 4 |
| | | DATUM: 25/2/2012 | |

